

UNIVERSIDADE ESTADUAL DE CAMPINAS  
FACULDADE DE ENGENHARIA DE ALIMENTOS E AGRÍCOLA

ANÁLISE DE QUALIDADE DE MISTURAS PROTÉICAS PELO  
AMINOGRAMA CARACTERÍSTICO E MÉTODOS ESTATÍSTICOS

EUNICE AKEMI KUMAGAI

Tese apresentada à Faculdade de Engenharia de Alimentos e Agrícola para obtenção do grau de Mestre em Ciências de Alimentos.

Prof. Dr. JAIME AMAYA-FARFÁN  
Orientador

1983

UNICAMP  
BIBLIOTECA CENTRAL

Aos meus pais, irmãos e ao Áureo

AGRADECIMENTOS

Ao Prof. Dr. JAIME AMAYA-FARFÁN pela sua constante e valiosa orientação durante todo o desenvolvimento deste trabalho.

A Faculdade de Engenharia de Alimentos e Agrícola pelas facilidades concedidas para a execução do trabalho.

Ao CNPq pelo auxílio financeiro.

A Profa. MARIA LÚCIA SETINA pela elaboração dos trabalhos de computação eletrônica.

Aos Professores Dr. VALDEMIRO CARLOS SGARBIERI e Dr. EMÍLIO S. CONTRERAS GUZMÁN por terem gentilmente permitido o uso do Laboratório de Bioquímica Nutricional e Nutrição Experimental e do Laboratório de Serviços de Alimentação, respectivamente.

Aos demais amigos e colegas pelo estímulo e colaboração recebidos para a realização deste trabalho.

## ÍNDICE GERAL

Assunto	Página
ÍNDICE DE TABELAS	viii
ABSTRACT	ix
RESUMO	xii
INTRODUÇÃO	1
REVISÃO BIBLIOGRÁFICA	3
MATERIAIS E MÉTODOS	25
- Materiais	25
- Métodos	25
-Determinação da composição química	26
-Construção das Misturas-Padrão	28
1. Misturas-padrão de leite-soja	28
2. Misturas-padrão I de carne-soja	29
3. Misturas-padrão II de carne-soja	29
4. Misturas-padrão III de carne-soja	30

Assunto	Página
- Detérminação de aminoácidos totais	30
1. Preparo da amostra	31
2. Aminoácidos padrões	32
3. Cálculos	33
- Análise estatística	33
1. Equação de regressão. método manual.	33
2. Análise computadorizada	34
2.1. Análise de variância multivariada.	34
2.2. Análise discriminante	35
3. Outros testes estatísticos	36
 RESULTADOS E DISCUSSÃO	 38
- Composição química	38
- Componentes das misturas-padrão	38
- Produtos lácteos	40
- Produtos cárneos	40
- Caracterização das proteínas pelos perfis de aminoácidos	46
- Análise estatística	66
- Equação de regressão (Método manual)	66
1. Produtos lácteos	66
2. Produtos cárneos	69

Assunto	Página
-Análise computadorizada	71
1. Análise de variância multivariada (MANOVA)	71
1.1. MANOVA dos produtos lácteos	71
1.2. MANOVA dos produtos cárneos	74
2. Análise discriminante	77
2.1. Dos produtos lácteos	77
2.2. Dos produtos cárneos	80
CONCLUSÕES	84
REFERÊNCIAS BIBLIOGRÁFICAS	86
ANEXOS (ÍNDICE DE ANEXOS)	101

ÍNDICE DE TABELAS

TABELA Nº	ASSUNTO	PÁGINA
1	Composição química das matérias-primas.	39
2	Composição química dos produtos lácteos.	41
3	Composição química dos produtos cárneos.	42
4	Umidade dos embutidos e o regulamento.	44
5	Curva-padrão leite-soja.	47
6	Curva-padrão I de carne-soja.	50
7	Curva-padrão II de carne-soja.	53
8	Curva-padrão III de carne-soja.	55
9	Composição aminoacídica dos produtos lácteos.	58
10	Composição aminoacídica dos produtos cárneos.	61
11	Composição aminoacídica das carnes industriais.	65
12	Resultados dos produtos lácteos.	67
13	Resultados dos produtos cárneos.	70
14	Valores F univariado (leite-soja).	72
15	Valores de discriminação "overall" (leite-soja).	73
16	Valores F univariado (carne-soja).	75
17	Valores de discriminação "overall" (carne-soja).	76

ABSTRACT

The present is a study of the amino acid profiles of proteins aiming at the quality assurance of binary protein mixtures of either animal or vegetable origin found in milk and meat products for human consumption.

A number of commercial milk (pre-mixes for bottle formulas, milk-shakes and milk substitutes) and meat (sausages, mortadelas, etc.) products were sampled for analysis. Standard curves were prepared in which groups were defined as the various mixtures of milk-soy and meat-soy proteins and sub-groups were sets of four amino acids (variables) that best characterized each protein source. The data (4 replicates) were statistically analyzed essentially as follows:

a. Regression Equation (Manual procedure).

As a function of protein composition, each relevant amino acid generated a regression equation, which served to calculate the percent of milk or meat protein in the mixture. Since a number of percent values is obtained equal the number of existing sub-groups, the median value was used for every product.

b. Multivariate Analysis of Variance and Discriminant Analysis with the aid of a computer.

For this purpose, the MANOVA program in Fortran-10 language and the DISCRIMINANT program in SPSS (Statistical Package for Social Sciences) language were used. The Discriminant analysis furnished protein percentages in terms of scores for each one of the several sub-groups, from where the medians were obtained.

The precision of the two procedures, assessed by comparing the experimentally obtained with the expected values, was deemed satisfactory within the pre-defined intervals. Especially due to the assignment of statistical weights to variables by the computer, the Discriminant Analysis seemed like the method of choice. However, for the purpose of routine quality assessment in Brasil, the Regression Equation procedure appears to suffice, considering its simplicity.

RESUMO

Este trabalho tratou do estudo dos perfis aminoacídicos das proteínas visando a análise qualitativa e quantitativa de misturas protéicas binárias de origem animal e vegetal encontradas em produtos cárneos e formulações lácteas para consumo humano.

Para tanto, foi coletado um número de amostras comerciais de produtos lácteos (premixes para mamadeiras, vitaminas e substitutos do leite em pó) e cárneos (salsichas, mortadelas, etc.). Foram levantadas também curvas-padrão com as composições aminoacídicas, em quadruplicata, de misturas gradativas de leite-soja e carne-soja, as quais foram chamadas de grupos. Como variáveis foram considerados os aminoácidos individuais e, como subgrupos, os conjuntos de quatro variáveis. Foram escolhidos os aminoácidos que melhor caracterizavam as fontes e os dados (composições aminoacídicas) submetidos a análise estatística que constou essencialmente de:

- a) Equação de Regressão (método manual).

Foi encontrada uma equação de regressão para cada aminoácido separadamente e com esta equação calculou-se a porcentagem de pro-

teína de leite ou de carne nos produtos lácteos e cárneos respectivamente. Cada subgrupo gerou um teor de proteína referência para cada produto, de onde foi determinada a mediana representativa.

b) Análise de Variância Multivariada e Análise Discriminante com Auxílio do Computador.

Para a análise de variância multivariada foi utilizado o programa MANOVA em linguagem Fortran 10. O programa DISCRIMINANT em linguagem SPSS utilizado na análise discriminante forneceu entre outros dados, os "scores" (produzidos pela função discriminante de cada subgrupo) para os diversos grupos das curvas-padrão e amostras. As amostras foram enquadradas nos grupos correspondentes através de comparação visual dos "scores" e então determinadas as medianas.

A exatidão dos métodos testados, a julgar pelos resultados observados e pelos esperados foi satisfatória, visto que ambos permitiram a discriminação dentro dos intervalos preestabelecidos. Existe uma certa superioridade da análise discriminante sobre o método da equação de regressão quanto à exatidão dos resultados, uma vez que a análise discriminante assinala um peso estatístico para cada um dos aminoácidos. No entanto, visando o controle rotineiro da pureza de produtos no Brasil, poder-se-á optar pela equação de regressão considerando-se a sua maior simplicidade e os resultados obtidos.

## INTRODUÇÃO

Durante os últimos anos, tem-se dado importância à introdução de produtos não convencionais e subprodutos do abate na fabricação de derivados de carne, assim como produtos de origem vegetal em produtos lácteos, com o fim de aumentar a disponibilidade de alimentos protéicos para consumo humano. Apesar destes substitutos baratearem o custo ao consumidor, eles podem alterar adversamente as propriedades funcionais, inclusive palatabilidade e até o valor nutritivo do produto quando acrescentados além das proporções recomendadas. Além disso, hoje em dia é quase impossível fiscalizar a rotulação e pureza de tais produtos devido à falta de métodos quantitativos de avaliação.

Para informar o consumidor sobre a natureza do produto adquirido, o analista requer técnicas específicas para determinar as proporções exatas de proteínas de origem animal e/ou vegetal presentes. Considerável esforço tem sido feito na pesquisa para análise qualitativa e quantitativa dessas proteínas. Porém, os métodos publicados têm uma aplicação limitada, devido principalmente ao tipo de processamento das matérias-primas e tratamentos utilizados.

dos na fabricação dos produtos.

Existe o consenso de que a composição em aminoácidos de cada tipo de proteína pode ser utilizada para a análise qualitativa e quantitativa de misturas protéicas, uma vez que cada proteína tem um perfil de aminoácidos característico.

A presente pesquisa teve como objetivo estabelecer padrões de identidade na composição em aminoácidos de misturas protéicas binárias (de origem animal e vegetal) usadas na fabricação de produtos cárneos e na elaboração de formulações "lácteas" para crianças e adultos por meio de método químico-estatístico. Esses dados poderão ser empregados na determinação da qualidade de uma série de produtos industrializados quanto ao teor de proteína de origem animal e/ou vegetal.

### REVISÃO BIBLIOGRÁFICA

A necessidade do estabelecimento de técnicas para avaliação confiável de matérias-primas e produtos alimentícios comercializados no Brasil é amplamente reconhecida. Por um lado a indústria deseja padronizar seus produtos evitando as concorrências desleais e por outro, órgãos de fiscalização estão à procura de meios analíticos para garantir a qualidade dos produtos levados ao consumidor.

A qualidade da proteína sob o ponto de vista nutricional é uma propriedade um tanto complexa. Ela depende de:

- a) o perfil aminoacídico, ou seja do balanço dos aminoácidos essenciais e dos não essenciais;
- b) a digestibilidade dessa proteína, isto é, da maior ou menor facilidade com que ela libera os seus aminoácidos;
- c) a presença de fatores antinutricionais como fitatos que dificultam a absorção de minerais, inibidores de amilase, de proteases e até oligossacarídeos que interferem na absorção grosso-intestinal.

Dentro do conceito clássico existem proteinas de qualidade ou va-

lor nutritivo inferior como as do milho; as de qualidade intermediária como as do trigo e a soja; e as de qualidade superior como as de origem animal (leite, ovo, carne, etc.). Como resultado natural, os preços dessas fontes protéicas variam de acordo à sua qualidade e seu gosto; mesmo sem contar a diferença de preços já de corrente dos custos de produção.

O julgamento da qualidade de produtos protéicos tem merecido, por parte dos pesquisadores no mundo todo, uma atenção especial no sentido de desenvolver ou aprimorar métodos que possam melhor avaliar qualitativa e quantitativamente as proteínas de origem animal ou vegetal presentes. Sendo a proteína da soja, a mais freqüentemente usada, os procedimentos de detecção e determinação têm sido concentrados nessa proteína. Proteínas de cereais e de vegetais menos convencionais, assim como proteínas de origem animal que também têm sido utilizadas, receberam menor atenção analiticamente.

Os métodos de análise para proteína de soja publicados até hoje são baseados em princípios diversos tais como: métodos químicos, microscópicos, eletroforéticos, imunológicos e aqueles baseados na composição ou seqüência de aminoácidos. Cada método tem uma aplicação limitada, dependendo na maior parte dos casos de como a soja foi preparada e de qual o tratamento dado ao produto.

Métodos histológicos são simples e geralmente permitem apenas presunções, não fornecendo provas formais porque a estrutura natural da soja é destruída e o aspecto encontrado na análise microscópica depende dos tratamentos de transformação sobre as proteínas da soja (FROUIN, 1974). Eles podem ser usados com propósitos quantitativos, mas somente às expensas de tempo e trabalho consegue-se resultados representativos.

O método da AOAC (1975 e 1980) demonstra características morfológicas como as células "hourglass" e/ou paliçádicas no resíduo, que permanecem após extração com hidróxido de potássio. Sem dúvida, um método apenas de detecção.

Alguns pesquisadores (COOMARASWAMY & FLINT, 1973; FLINT & LEWIN, 1976; BERGERON & DURAND, 1977) demonstraram a presença de carboidratos da soja em comestíveis que continham farinha de soja através de técnicas de coloração com ácido periódico Schiff. Como o método baseia-se na identificação da soja através da sua morfologia (células paliçádicas, "hourglass" e células da aleurona e cotilédone) não pode ser aplicado quando a soja está na forma de isolado protéico.

Um método muito rápido, ainda que qualitativo, (OLSMAN, 1979) é determinar a presença de cristais de oxalato de cálcio nas células do cotilédone da soja, os que podem ser vistos em luz polarizada.

rizada como corpos poligonais verdes.

FLINT & MEECH (1978) usando métodos histológicos corados por azul de toluidina e a técnica "estereológica" avaliaram farinha de soja texturizada com um desvio padrão de 1,85% a um nível de 45% de adição em produtos cárneos. O método "estereológico" fornece resultados em termos de volume em frações de volume. Apesar do preparo das amostras neste método não ser difícil, o exame microscópico exige uma maior especialização na leitura. Pela aplicação de técnica de coloração apropriada e sobreposição de grades no campo de visão, é possível realizar uma determinação quantitativa correta de proteína de soja texturizada em produtos cárneos (níveis de concentração  $\geq 5\%$ ). Com a coloração por azul de toluidina, que identifica os diferentes componentes pela variação da cor adquirida (azul a rosa), é possível determinar o teor de soja texturizada. Por exemplo, os carboidratos provenientes da parede celular do vegetal coram-se em púrpura pelo fenômeno de metacromasia. No entanto, esta metodologia é restrita aos produtos estruturalmente definidos.

BERGERON & DURAND (1977) reportaram resultados satisfatórios do método histológico com carne fresca, aquecida ou putreficada contendo farinha, concentrados ou isolados de soja a um nível de adição de 1% de proteína de soja.

Os métodos imunológicos e eletroforéticos baseados nas características fisico-químicas das proteínas são muito mais sensíveis e específicos, de eficiência satisfatória, porém são limitados pelo tipo de processamento do produto. Os métodos eletroforéticos requerem uma solubilização completa das proteínas para sua subsequente separação. Com o aquecimento, as proteínas desnaturam e geralmente perdem sua solubilidade em água ou soluções tampões diluídas.

HERRMANN e colaboradores (1977a) discutiram os problemas das reações sorológicas para detectar proteínas estranhas em produtos cárneos aquecidos. O uso de extratos muito gordurosos ou soros velhos podem provocar reações de precipitação não específicas. Pode existir problemas na quantificação quando não se considera que os extratos de produtos cárneos contêm diferentes frações protéicas, cada qual com diferentes tamanhos moleculares e diferentes deslocamentos, o que dificulta a correlação da concentração do antígeno com a distância entre a linha de precipitação e a perfuração contendo o imuno-soro. Uma outra razão da dificuldade de interpretação dos resultados é que a posição da linha de precipitação no gel se altera mesmo após 48 horas. Os mesmos problemas ocorrem também na interpretação de imunoelétroforese quantitativa.

LLEWELLYN & SAWYER (1977a) relataram fortes reações cruzadas entre colça, amendoim, ervilhas e feijões e anti-soros de iso-

lado protéico de soja não aquecido e aquecido ( $121^{\circ}\text{C}$  por trinta minutos) utilizando o método por imunodifusão dupla em placas de acordo com Ouchterlony, o que indica uma limitação desta técnica, mesmo para uma análise qualitativa.

Vários pesquisadores têm trabalhado visando aprimorar os métodos imunoquímicos para detecção e quantificação de soja em produtos cárneos que sofreram tratamento térmico (KAMM, 1970; KOH, 1978; POLI *et alii*, 1979).

KAMM (1970) aplicou a técnica imunoelétroforética de Laurell para quantificação de proteína de soja em produtos cárneos. A sensibilidade do método é de 0,1% ou 0,5 µg de glicina e faz uma medida seletiva dessa fração termo-estável. Permite a realização de aproximadamente sessenta amostras em uma simples corrida elétroforética, mas este método falha quando a globulina bruta da soja é aquecida a  $125^{\circ}\text{C}$  por trinta minutos.

KOH (1978) utilizando o método de imunoelétroforese em foguete, indicou que pode-se atingir uma boa estimativa da quantidade de "Promine D" (produto comercial de soja) na presença de carne bovina. Após tratamento térmico, ele extrai as proteínas sob condições desnaturantes (uréia 10 M e 2-mercaptopropano 2%) que são então removidos por diálise. A proteína renaturada é utilizada para produção de soro que por sua vez pode ser usado para ensaiar an-

tígenos renaturados. Os experimentos conduzidos ... (LLEWELLYN & SAWYER, 1977a) têm demonstrado que o anti-soro preparado com proteína de soja pré-aquecida é mais adequado para uso na detecção de soja em produtos aquecidos. Enquanto as proteínas animais sofrem uma relevante desnaturação à temperatura de esterilização comercial ( $125^{\circ}\text{C}$  por 25 minutos) com uma consequente perda total da reatividade imunológica, as proteínas vegetais são mais resistentes, sendo capazes de apresentar sítios antigênicos originais ainda ativos, como confirmado por POLI *et alii* (1979).

GUY & WILLCOX (1977) relataram que a degradação parcial da proteína ou divisão em fragmentos estáveis produzidos por aquecimento do produto a  $120^{\circ}\text{C}$  por 50 minutos resulta na perda da antigenicidade. Acoplando o fragmento de proteína ou subunidade de 38500 daltons com albumina humana para imunização, produz anticorpos que dão imunorreação com o fragmento da proteína da soja, extraída de uma lata de carne bastante aquecida.

O uso de eletroforese cruzada com imunofluorescência indireta na detecção de proteína de soja em produtos cárneos aquecidos (POLI *et alii*, 1979) permitiu a obtenção de resultados mais sensíveis e em menor tempo (aproximadamente três horas) comparados a outros procedimentos imunológicos tais como as técnicas de imunodifusão radial, bidimensional ou de eletroimunodifusão, que revelam

proteína de soja em aproximadamente vinte e quatro horas nas mesmas concentrações (adições  $\geq 2,5\%$ ) e usando somente anti-soro preparado de proteína de soja aquecida.

A eletroforese tem permitido análise de proteína de soja na presença de proteína de carne por meio de solubilização seguida de separação em um campo elétrico sobre diferentes meios de suporte. Dentre estes meios o gel de poliacrilamida é preferido pela maioria dos pesquisadores (PARSONS & LAWRIE, 1972; SPELL, 1972; GUY *et al.*, 1973; TATEO, 1974; LEE *et alii*, 1976; LLEWELLYN & FLAHERT, 1976; GUY & WILLCOX, 1977; HOMAYOUNFAR, 1977; HOFMANN, 1977; VÁLAS-GELLEY, 1977; BRENNNA *et al.*, 1980) apesar de que o gel de amido (OLSMAN *et al.*, 1969) e membranas de acetato de celulose (GIL & HIDSKES, 1973) tenham sido usados. Entre os processos de extrações utilizados temos aqueles que empregam apenas a uréia (PARSONS & LAWRIE, 1972; VÁLAS-GELLEY, 1977), uréia e 2-mercaptopetanol (GUY *et al.*, 1973; TATEO, 1974; GUY & WILLCOX, 1977; RICHARDSON, 1978) e dodecilsulfato de sódio (LEE *et alii*, 1975; LEE *et alii*, 1976; HOFMANN, 1977; BRENNNA *et al.*, 1980).

Com a adição de 1 a 4% de soja em conservas alimentícias a base de carne, aparecem duas bandas perfeitamente identificáveis na eletroforese em gel de poliacrilamida, enquanto que adições superiores a 5% já apresentam quatro bandas características. Com

produtos crus ou simplesmente pasteurizados são perfeitamente detectáveis adições de mais de 1% de soja (HOMAYOUNFAR, 1977).

Um método quantitativo para determinar o conteúdo de proteína de soja em misturas de soja-carne frescas ou cozidas foi desenvolvido por LEE e colaboradores (1975) usando a eletroforese em gel de poliacrilamida com pré-gel ("stacking") e SDS. O método aplicável a farinhas, concentrados e isolados de soja é capaz de determinar níveis de proteína de soja dentro de  $\pm 2\%$  do conteúdo real. Os mesmos resultados são obtidos se o produto contém outras fontes protéicas animais como leite em pó, caseína e clara de ovo (LEE et alii, 1976).

O uso de SDS na eletroforese em gel de poliacrilamida muda as condições de migração da proteína fazendo com que somente o peso molecular determine a sua mobilidade. A sensibilidade do método eletroforético em gel de poliacrilamida na presença de SDS permite identificar a soja mesmo quando presente em níveis extremamente baixos como 0,002 a 0,005 mg de soja (BRENNER et al., 1980).

HOFMANN (1977) identificou e determinou as proteínas de carne, soja, clara de ovo e leite com eletroforese em gel de poliacrilamida em presença de SDS. As amostras cruas, quando comparadas com aquelas aquecidas a  $100^{\circ}\text{C}$  por trinta minutos, apresentaram bandas coradas mais intensamente, indicando o desaparecimento quan-

titativo das proteínas mais termolábeis.

A determinação de proteínas miofibrilares actina e mio-sina, obtidas mediante eletroforese de distintas suspensões de carnes, correlacionadas com as concentrações do total de proteínas de cada suspensão tem sido também estudada (FLORES, 1980). Os resultados foram satisfatórios com suspensões de carne crua, mas quando submetidas a tratamento térmico, surgiram problemas devido à diminuição da intensidade das bandas de proteínas no eletroforetograma.

Utilizando dois métodos de eletroforese bi-dimensional em gel, CHIKUNI e colaboradores (1979) concluíram que a eletroforese contendo uréia 8 M na primeira dimensão e SDS na segunda, permitiu detecção e determinação de proteína de soja presente a concentrações menores que 10% em salsichas. Farinha de soja adicionada a um nível de 0,5% poderia ser detectada e determinada quantitativamente.

Comparando resultados obtidos através dos métodos de imunodifusão e eletroforese para detecção de isolado proteíco de soja em misturas cárneas, BELJAARS & OLSMAN (1977) obtiveram resultados mais satisfatórios com a imunodifusão do que com o método eletroforético, sempre que o produto cárneo não fosse aquecido a temperaturas superiores a 100°C.

Métodos eletroforéticos têm sido igualmente aplicados ao

estudo de misturas lácteas. KIM & PARK (1971) comparando a proteína do leite com aquela do leite de soja por eletroforese em gel de poliacrilamida, encontraram que o leite de vaca tem seis bandas de proteína e o de soja nove bandas. Na mistura de leite de vaca com o de soja, há uma banda que possui uma maior mobilidade que a  $\kappa$ -caseína, mas menor do que a da  $\gamma$ -caseína, detectável mesmo com apenas 2% de leite de soja no leite de vaca.

SHIGA e colaboradores (1978) avaliaram os métodos de determinação de aminoácidos, cromatografia gasosa e eletroforese em gel de poliacrilamida (com ou sem SDS) na detecção e quantificação dos níveis de proteína de soja em misturas com leite ou queijo. Segundo os autores, o método eletroforético foi o mais útil, podendo determinar limites maiores que 5% de proteína de soja em misturas de leite-soja.

Um estudo da separação de misturas comerciais de proteína de soja e soro de leite por eletroforese e focalização isoelétrica foi realizado por BADUI & JOSEPHSON (1974). Eles concluíram que tanto o método eletroforético em gel de amido na presença de uréia, como a focalização isoelétrica também contendo uréia não conseguiram resolver simultaneamente a globulina da soja, a proteína do soro e a caseína. Através de uma combinação dos resultados destes métodos porém, seria possível a identificação de proteínas em misturas complexas.

Procedimentos mais sofisticados foram estudados, tais como a técnica de focalização isoelétrica (FLAHERT, 1975; LLEWELLYN & FLAHERT, 1976; LLEWELLYN & SAWYER, 1977b) e a cromatografia líquida de alta pressão (FLAHERT, 1975; LLEWELLYN & SAWYER, 1977). LLEWELLYN & FLAHERT (1976) relataram que com baixos níveis de adição de isolado protéico (<5% do peso da salsicha fresca), a focalização isoelétrica pode ser considerada semiquantitativa e que a níveis mais elevados (>5% do peso da salsicha fresca) foi possível melhor quantificação. Porém esta técnica não pode ser aplicada para análise de produtos que sofreram extensivo tratamento térmico durante o processamento. LLEWELLYN & SAWYER (1977b) relataram que 5% do peso da salsicha fresca de isolado protéico de soja poderia ser determinado por focalização isoelétrica com uma exatidão relativa de  $\pm 20\%$  (isto é,  $5 \pm 1\%$ ), porém abaixo desse nível, os resultados eram consideravelmente menos exatos. LLEWELLYN (1977) não foi bem sucedido na determinação do conteúdo de soja por focalização isoelétrica com produtos enlatados e assados que tivessem sofrido forte aquecimento.

LLEWELLYN & SAWYER (1977b) estudaram a aplicação e limitação da cromatografia líquida de alta eficiência na estimação de proteína de soja em produtos cárneos, conseguindo uma exatidão de

±15%. Um problema técnico é o da curta vida útil das colunas, devido à precipitação interna com conseqüente perda de resolução. A análise de produtos enlatados ou assados não foi bem sucedida devido à baixa extração de soja termicamente desnaturada com o tampão acetato, sendo este o mais eficiente entre vários solventes compatíveis com a resina (troca aniónica fraca) utilizada.

Uma alternativa estudada para resolver o problema causado pela desnaturação é a hidrólise parcial e exame dos fragmentos da proteína (BAILEY, 1976; BAILEY *et alii*, 1978; LLEWELLYN *et alii*, 1978). BAILEY (1976) analisou extratos de produtos cárneos tratados com tripsina em analisador automático de troca catiônica para aminoácidos para avaliar o teor de proteína de soja em misturas. Este método não depende da qualidade dos materiais, se é inicialmente cozido ou cru, se inclui ou não amido na mistura. No entanto, as proteínas do leite e da clara de ovo produzem um pico grande de eluição igual ao da soja selecionado como marcador desta proteína. A presença de caseína nos produtos cárneos fornece resultados errôneos como verificado por OLSMAN (1979).

Devido ao rápido aumento de pressão na coluna de troca catiônica pela técnica descrita por BAILEY (1976), causado possivelmente pelo bloqueamento por grandes peptídeos ou proteínas não

digeridas, LLEWELLYN e colaboradores (1978) introduziram uma etapa de ultrafiltração prévia do extrato obtendo o pico marcador de soja com tempo de retenção menor do que sem a ultrafiltração. BAILEY e colaboradores (1978) encontraram que o pico escolhido como marcador da proteína de soja consistia de um componente principal e pelo menos sete outros menores (característicos da fração 11S da proteína de soja).

Apesar de vários métodos terem sido propostos para a detecção e determinação de proteínas não-cárneas, suas aplicações são limitadas porque os mesmos são orientados para a identificação de proteínas não-cárneas específicas. Porém quando mais de um tipo de proteína não-cárnea está presente, vários métodos seriam necessários para caracterizá-las, avaliando assim o conteúdo de carne. Se, entretanto, fosse calculado o conteúdo de carne diretamente pela avaliação da proteína miofibrilar presente, a análise dos produtos cárneos poderia ser consideravelmente simplificada.

Um método para caracterização e diferenciação de amostras protéicas e misturas de aminoácidos foi aplicado para alimentos protéicos (ARAÚJO-NETO *et alii*, 1979). O método consiste em hidrólise das amostras, cromatografia circular parcial em papel, e quantificação espectrofotométrica dos sete subgrupos de aminoáci-

dos formados. De acordo com critérios de identidade ou diferença previamente estabelecidos, os coeficientes de correlação mostraram que amostras diferentes foram diferenciadas pelo método em 90% dos casos tratados.

A hidrólise de carne e estimação dos aminoácidos 3-metilistidina e N-ε-metilisina que fornecem um índice do conteúdo de carne magra dos produtos, tem sido descrita (RANGELEY & LAWRIE, 1976; POULTER *et al.*, 1977; RANGELEY & LAWRIE, 1977; MURRAY & LYSAGHT, 1978; POULTER & LAWRIE, 1980a; POULTER & LAWRIE, 1980b). O conteúdo em carne é calculado diretamente pela determinação de proteína miofibrilar presente e pode ser realizada mesmo com aquelas que tenham sofrido extenso processo térmico.

Foi encontrada uma correlação satisfatória entre o teor de 3-metilistidina e a porcentagem de carne em misturas submetidas a condições de esterilização comercial (HIBBERT & LAWRIE, 1972). O aminoácido 3-metilistidina não é detectado em produtos fabricados de proteínas não-cárneas, enquanto que o N-ε-metilisina é encontrado em algumas delas (RANGELEY & LAWRIE, 1977) e ainda, o primeiro aminoácido apresenta menor variação entre amostras do que o segundo (RANGELEY & LAWRIE, 1976).

Desde que a adição de tecido conjuntivo e/ou certos ti-

pos de subprodutos, leva o método da 3-metilistidina fornecer vale res inferiores àqueles obtidos por outros métodos, POULTER & LAWRIE (1980b) apresentaram uma fórmula para calcular o conteúdo de carne livre de gordura utilizando o índice de 3-metilistidina para proteína muscular e o conteúdo de tecido conjuntivo.

No preparo das amostras para análise de 3-metilistidina, foi estabelecida a necessidade de remover o nitrogênio hidrossolúvel, incluindo o nitrogênio não protéico através de um processo de lavagem. Isto porque algumas espécies de carnes como por exemplo, a carne de porco, contém 3-metilistidina solúvel (na forma de dipeptídeo de 3-metilistidina e  $\beta$ -alanina). Esta lavagem prévia permite que os níveis de 3-metilistidina da carne de porco sejam similares àqueles encontrados na carne bovina e ovina (RANGELEY & LAWRIE, 1976).

HERRMANN e colaboradores (1977b) determinaram a proteína muscular em produtos cárneos por um método direto, baseado na separação de plasma, colágeno, compostos nitrogenados não protéicos e outras proteínas não-cárneas. As proporções de proteína muscular não dissolvidas foram determinadas diretamente e apresentadas em relação ao conteúdo total de proteína muscular no produto cárneo, por meio de um fator convencionado. Uma comparação dos valores ob

tidos por meio da determinação direta da proteína muscular com os valores nominais de um laboratório tecnológico de carne mostrou erros absolutos menores que  $\pm 0,2$ .

KHAN & COWEN (1977) desenvolveram dois métodos diferentes de medir a quantidade de proteína bovina em misturas protéicas de carne-vegetal não cozidas. Estes métodos são baseados na estimação de creatina e no conteúdo de proteína extraível em tampão fosfato-iodeto de potássio. Os produtos de degradação da fosfocreatina determinados como creatina estão presentes em quantidades bastante constantes na carne bovina, mas ausente em proteínas vegetais. O conteúdo de proteína extraível em tampão fosfato-iodeto de potássio é bastante elevado em carne bovina, mas muito baixa em proteínas vegetais texturizadas. Foram obtidos resultados reproduzíveis dentro de  $\pm 5\%$  pelo método da creatina e dentro de  $\pm 7\%$  pelo método do nitrogênio extraível. A utilização simultânea dos dois métodos possibilita a verificação de adulteração das misturas com creatina exógena.

Certas substâncias têm sido usadas tanto para detectar a presença de proteína de soja, como para estimar sua concentração por meio de métodos químicos. Entre essas substâncias temos: oli-

gossacarídeos (rafinose, estaquiose e verbascose), pentosas, hemicelulose e fibra bruta, saponinas, canavanina, fitina ou ácido fítico, manganês e magnésio (OLSMAN, 1979). Além da especificidade destes métodos ser geralmente baixa, a concentração dos compostos indicadores em produtos de soja de diferentes origens pode variar consideravelmente. Algumas destas substâncias podem também ocorrer em materiais cárneos e não-cárneos.

Por questões de controle do uso e rotulagem de isolado protéico de soja em salsichas nos Estados Unidos, as normas de inspeção de carnes estabelecem a adição de dióxido de titânio alimentar numa concentração específica (0,1%) para isolado de soja. Então, nesse país existe a possibilidade de se usar  $TiO_2$  para avaliação do teor de proteína de soja no produto cárneo (NORMAN, 1978).

FORMO e colaboradores (1974) revelaram que os constituintes: cinza, hemicelulose, estaquiose, fósforo, potássio, cobre e zinco não são índices adequados de conteúdo de farinha de soja texturizada, nas análises de misturas de carne bovina moída e farinha de soja texturizada. Entretanto, magnésio, manganês e fibra são mais adequados, sendo o primeiro o índice mais preciso.

Outra substância proposta na detecção de proteína de soja em produtos cárneos é o aminoácido canavanina (ácido 4-guanido-

xi-2-aminobutírico) que ocorre na soja. Os extratos etanólicos das amostras foram eluídos de uma coluna de Dowex com HCl e o eluado seco em tampão citrato de sódio 0,2N, separado em analisador de aminoácidos e então submetidos a cromatografia em camada delgada em placas de celulose. A canavanina foi detectada em todas as sojas e produtos soja-carne. O método porém possui baixa sensibilidade (FISCHER *et al.*, 1976).

GAFFNEY e colaboradores (1979) determinaram a proporção dos isótopos C<sub>13</sub> - C<sub>12</sub> em misturas de farinha de soja desengordurada e carne bovina ou suína desengordurada com o objetivo de quantificar a soja presente nessas misturas. O uso dessa técnica parece permitir a medida de quantidades relativas de proteínas de soja com erros esperados de aproximadamente 10%. Os autores alertaram sobre a limitação do método na diferenciação entre proteínas de soja e proteínas de carne proveniente de animais alimentados com soja, trigo, aveia, cevada e batatas (vegetais do sistema fotossintético C<sub>3</sub>).

A utilização do conteúdo de açúcares para estimar e quantificar proteína de soja em misturas de carne-soja foi estudada (CUNNINGHAM *et al.*, 1979; MORRISEY *et al.*, 1982). O método proposto por CUNNINGHAM e colaboradores (1979) não é específico para um

açúcar em particular e por isso perde a sensibilidade devido a quantidade significante de glicogênio muscular. O método de MORRISEY e colaboradores (1982) determina o total de galactose mais arabinose usando galactose desidrogenase. Estes açúcares são constituintes próprios da soja e não do músculo. O método é capaz de detectar quantidades menores que 0,2% de farinha de soja ou concentrados e menos que 2% de isolado protéico de soja em produtos cárneos.

FREDHOLM (1967) descreveu um método aperfeiçoado para detectar somente pentoses e pentosanas adicionadas aos produtos cárneos. O mesmo pode ser utilizado para a detecção de farinha de soja, como por exemplo em salsichas, uma vez que a farinha de soja contém 5% ou mais de pentosanas.

Utilizando espectrofotometria de fluorescência ELDRIDGE & HOLMES (1979) mediram a adição de farinha de soja em misturas de carne-soja a um nível de  $30 \pm 2,4\%$ . Segundo os próprios autores, uma possível fonte de erro na análise pode provir de carnes estocadas por longos períodos. Posteriormente o mesmo procedimento foi considerado inaplicável a produtos cozidos, devido a formação de materiais fluorescentes adicionais durante o cozimento (ELDRIDGE, 1981).

A composição em aminoácidos pode ser utilizada para a análise qualitativa e quantitativa de misturas de várias proteínas, uma vez que cada proteína tem um perfil de aminoácido caractístico. SHELDICK (1971) mencionou a possibilidade de se usar programas de computação para a análise de misturas de duas ou mais proteínas. Uma das vantagens deste método seria a facilidade com que poderiam ser testadas a presença de proteínas adicionais. Se se suspeita que a mistura contém mais que duas ou três proteínas específicas, estas podem ser incluídas no cálculo. Se por engano for incluída uma proteína que não está realmente presente na mistura, a mesma aparecerá em porcentagem calculada muito pequena (usualmente menor que 1%) ou negativa.

Baseado na comparação computadorizada ("computer matching") do perfil de aminoácidos através de uma regressão múltipla, tem-se a vantagem de se obter uma visão completa da composição proteica da mistura com um só procedimento. LINDQVIST e colaboradores (1975), utilizando os perfis de aminoácidos, estudaram a composição de uma mistura de leite-soro de leite-soja. O procedimento descrito inclui uma regressão múltipla que permite a comparação do perfil aminoacídico de uma amostra composta com o perfil de substâncias simples arranjadas em um banco de dados. Este banco de

dados inclui a maioria das proteínas de origem animal e vegetal de interesse, o que permite um programa de computação que selecione automaticamente aquelas proteínas cujo perfil melhor correspondem ao da amostra e calcule a proporção de proteínas contidas na mistura. O procedimento é aplicável mesmo às misturas cujas proteínas tenham sido alteradas por desnaturação ou degradação enzimática. Eses autores preparam uma mistura contendo 54% de proteína de leite, 36% de proteína de soro e 10% de proteína de soja. Apesar a análise de aminoácidos da mistura e uma análise de regressão múltipla com computador, eles concluíram que sua mistura continha 50% de proteína de leite, 37% de proteína de soro e 13% de proteína de soja. O erro máximo absoluto foi de 4% ou 7,4% do valor determinado.

OLSMAN (1979) calculou a composição de dois produtos cárneos, cada um contendo quatro ingredientes protéicos através da avaliação por computador dos perfis de aminoácidos. Os resultados desse autor (apresentado apenas em forma gráfica) dão a idéia de um sucesso parcial do método dependendo dos aminoácidos escolhidos na elaboração dos cálculos.

## MATERIAIS E MÉTODOS

### MATERIAIS

As amostras de carne industrial, texturizados de soja, embutidos e misturas lácteas foram cedidas por frigoríficos, abatedouros, fabricantes e indústrias formuladoras. Outras amostras de produtos cárneos foram obtidas de estabelecimentos comerciais em Campinas, São Paulo.

A salsicha "A" tipo frankfurt e a mortadela "G" eram enlatadas, enquanto que as demais salsichas "B", "C", "D", "E" e "F", de tipo não especificado (tipo frankfurt ou tipo viena), eram embaladas a vácuo.

### MÉTODOS

Os embutidos foram removidos dos involucros e assim como

as amostras de carne fresca, foram moídos três vezes num moedor de carne, homogeneizando bem após cada moagem. As amostras não utilizadas prontamente foram mantidas a -20°C.

- Determinação da Composição Química

Para a determinação da composição química (cinza, umidade, proteína, gordura e amido) das amostras tanto dos produtos comerciais como das matérias-primas, foram utilizados os métodos recomendados pela AOAC (1980) a exceção das determinações de proteínas e dos lípidos totais. Todas as determinações foram realizadas em duplicatas:

- Determinação de umidade: método nº14084;
- Determinação de cinza: método nº7009;
- Determinação de amido: método nº24057;
- Determinação de proteínas: ( $N \times 6,25$ ) pelo método semimicro-Kjeldahl utilizando uma mistura de sulfato de cobre (II), sulfato de potássio e óxido de titânio como catalisador;
- Determinação de gorduras totais pelo método de extração de BLIGH & DYER (1959) adaptado como descrito a seguir:

1. Foram pesados com exatidão e colocados em tubos Pyrex (Nº9825, tampa de rosca) em torno de 5,0g de amostra finamente moída.
2. Foram agregados 30 mL de uma mistura metanol/clorofórmio/água preparada previamente como segue:

metanol	2
clorofórmio	1
água destilada	0,8

subtraindo dessa quantidade de água a água contida na amostra.

3. Foram tampados e homogeneizados (Homogeneizador PHOENIX modelo HS 22 por sessenta minutos).
4. Foram acrescentados 7,5 mL de clorofórmio e 7,5 mL de água destilada e agitados por sessenta minutos em homogeneizador. Aqui deve apresentar-se a separação das fases (clorofórmio no fundo, amostra no meio e água na superfície). Caso não aconteça isso, deve ser acrescentado um pouco de cloreto de sódio.
5. Foram filtrados através de algodão em funis de vidro pequenos recebendo o filtrado em provetas de 100 mL. O tubo e o funil foram lavados duas vezes com 7,5 mL de clo-

fórmio cada vez e anotados os volumes da fase clorofórmica.

6. Foram retiradas as fases aquosas (superior) da proveta com aspirador.
7. O menisco de água e o resto de umidade foram eliminados com uma colher de sulfato de sódio anidro e agitados sem perder líquido.
8. Foram filtrados em funil de vidro pequeno e papel comum recebendo o filtrado em tubo Pyrex. Foram tampados imediatamente para evitar a evaporação. O extrato deve ficar completamente cristalino.
9. Foram pipetados 5,0 mL de cada extrato límpido em placas de Petri já de peso conhecido.
10. As placas foram deixadas na estufa a 60°C durante toda a noite e pesadas no dia seguinte.
11. Foram calculados os pesos das gorduras e as respectivas porcentagens.

- Construção das Misturas-Padrão

1. Misturas-Padrão de Leite-Soja

As misturas-padrão foram construídas misturando-se quantidades de farinha de soja texturizada ao leite desnatado em pó para a obtenção de concentrações de 0, 20, 40, 60, 80 e 100% de farinha de soja texturizada nas misturas. Todas as misturas-padrão foram desengorduradas, secas e hidrolisadas para a determinação de aminoácidos, do mesmo modo como foi feito para as amostras.

## 2. Misturas-Padrão I de Carne-Soja

Estas misturas-padrão foram construídas misturando-se quantidades de farinha de soja texturizada à carne industrial I para concentrações de 0, 4, 8, 12, 16, 24 e 100 g de soja por 100 g de mistura.

## 3. Misturas-Padrão II de Carne-Soja

Foram construídas misturando-se quantidades de soja texturizada hidratada e moída à carne industrial II para a obtenção de concentrações de 0, 20, 40, 60, 80 e 100 g de soja texturizada hidratada por 100 g de mistura.

#### 4. Misturas-Padrão III de Carne-Soja

Misturou-se quantidades de farinha de soja texturizada à carne industrial II para a obtenção de concentrações de 0, 4, 8, 12, 16, 24 e 100 g de farinha de soja texturizada por 100 g de mistura.

#### - DETERMINAÇÃO DE AMINOÁCIDOS TOTAIS

As determinações de aminoácidos totais foram realizadas em analisador automático Beckman 119-CL com as seguintes características de operação:

Coluna de vidro: 6 x 460 mm

Comprimento da resina: 220 mm

Tipo de resina: W - 3H (Beckman)

Tampões citrato de sódio:

pH 3,25; 0,20 N Na<sup>+</sup>, contendo 1% de 2-propanol,  
pH 3,95; 0,40 N Na<sup>+</sup>,  
pH 6,40; 1,00 N Na<sup>+</sup>.

Taxas de fluxo: tampões ~ 44 mL/h

ninidrina - 22 mL/h

Temperatura da coluna: inferior a 50°C

superior a 65°C

Tempo de análise: noventa e dois minutos incluindo a limpeza  
e readaptação da coluna.

#### 1. Preparo da Amostra para Determinação dos Aminoácidos

O procedimento de hidrólise e análise automática foi rea  
lizado em amostras desengorduradas e secas (método de BLIGH & DYER  
adaptado), seguindo basicamente o método recomendado por SPACKMAN  
e colaboradores (1958). As modificações introduzidas são aquelas  
já testadas e as sugeridas pelo fabricante (BECKMAN Instruments,  
Palo Alto, CA, USA, 1977).

Foram pesadas amostras finamente moídas, com quatro repe  
tições, contendo entre 50 e 80 mg de proteína em tubo Pyrex (nº  
9825, de 12 x 150 mm), acrescentou-se aproximadamente 35 mL de áci  
do clorídrico 6N de modo a minimizar o ar residual no tubo e tam  
pou-se posteriormente o tubo com tampa provida de arruela de Teflon.  
A hidrólise foi realizada em estufa a 110°C por vinte e duas horas.  
Após o tempo de hidrólise ter-se completado, as amostras foram es

friadas e filtradas em funil de vidro sinterizado super fino, completando-se o volume para 100 mL. Deste volume retirou-se uma alíquota de 10 mL, a qual foi evaporada em sistema de rotoevaporador com bomba de vácuo e banho-maria a 50-55°C da seguinte forma: uma primeira evaporação do ácido foi seguida de duas evaporações após acréscimo de 10 mL de água destilada cada vez. O material hidrolisado seco foi dissolvido em 5 - 8 mL de tampão citrato de sódio (0,20 N em Na<sup>+</sup>; pH 2,2), filtrado através de membrana Millipore (tamanho de poro de 0,2 µm). Alíquotas de 100 µL foram analisadas.

## 2. Aminoácidos Padrões

Foi utilizada uma mistura de aminoácidos de calibração (Beckman Instruments) contendo 0,05 µmol dos seguintes aminoácidos: ácido L-aspártico (Asp), L-treonina (Thr), L-serina (Ser), ácido L-glutâmico (Glu), L-prolina (Pro), glicina (Gly), L-alanina (Ala), L-valina (Val), L-metionina (Met), L-isoleucina (Ile), L-leucina (Leu), L-tirosina (Tyr), L-fenilalanina (Phe), L-histidina (His), L-lisina (Lys), sulfato de amônia (NH<sub>3</sub><sup>+</sup>), L-arginina (Arg) e 0,025 µmol de L-cistina (Cys). Asparagina e glutamina foram determinadas como ácido aspártico e glutâmico respectivamente. O triptofa-

no não foi considerado nos cromatogramas devido ao processo de hidrólise ácida. Para a quantificação, todas as análises foram monitoradas pela mistura-padrão.

### 3. Cálculos

A quantificação dos aminoácidos totais foi feita considerando-se o peso molecular dos aminoácidos condensados, ou seja, na forma protéica. Os valores foram normalizados para um total de 100. Foram selecionados através de observação visual aqueles aminoácidos que melhor caracterizaram as diversas fontes protéicas. Para a análise computadorizada, os teores de aminoácidos foram divididos por cem.

## - ANÁLISE ESTATÍSTICA

### 1. Regressão. Método Manual

Com a média aritmética dos valores dos aminoácidos selecionados por melhor caracterizarem as fontes protéicas nas curvas-

padrão, foi encontrada uma equação de regressão para cada aminoácido separadamente. Com esta equação, calculou-se a porcentagem de proteína de leite ou de carne nos produtos lácteos e cárneos respectivamente, assim como a média aritmética desses valores de proteína para cada subgrupo, sendo então determinada a mediana para cada curva-padrão. Como variável foi considerada cada aminoácido tomado individualmente e como subgrupo o conjunto de quatro variáveis. Como grupos foram consideradas as misturas contendo quantidades gradativas de soja adicionada (misturas-padrão).

## 2. Análise Computadorizada

Os dados foram tratados estatisticamente através de análise de variância multivariada e análise discriminante. As variáveis, subgrupos e grupos foram aqueles definidos no item anterior.

### 2.1. Análise de Variância Multivariada

Esta análise foi efetuada com a ajuda do programa MANOVA (COOLEY & LOHNES, 1971), para computador em linguagem Fortran 10. O programa efetuou todos os cálculos necessários para que se pu-

desse testar tanto a hipótese de igualdade de dispersão entre os grupos quanto a hipótese de igualdade de médias. Forneceu os valores de vetores de médias e desvios padrão para cada grupo e para o total amostral; as matrizes das somas de quadrados e produtos cruzados "dentro dos grupos" e "entre os grupos" e a matriz de somas de quadrados totais. Foram ainda computados testes F univariados para as médias e as estatísticas M de Box e Lambda de Wilks utilizadas nos testes de igualdade de dispersão e igualdade de médias, respectivamente, além dos valores das F multivariadas para ambos os testes. Uma listagem do programa pode ser encontrada no ANEXO I.

## 2.2. Análise Discriminante

Foi utilizado o subprograma DISCRIMINANT da SPSS (Statistical Package for the Social Sciences, 1976); uma listagem do mesmo pode ser encontrada no ANEXO II. Foram obtidos os vetores de médias para cada grupo, os de desvios padrão, os valores de Lambda de Wilks, as razões F para cada variável e a matriz de covariância total. O computador obteve também as funções discriminantes derivadas juntamente com os valores correspondentes a cada autovalor, correlação canônica, os valores de Lambda de Wilks depois

de cada função ter sido derivada, a conversão destes valores para  $\chi^2$ , graus de liberdade e significância. Foram fornecidos ainda os "scores" ou valores produzidos por cada função discriminante derivada e a análise da porcentagem de acertos que as mesmas geraram. Com esta última obtém-se uma idéia do quanto próximo da realidade as funções discriminantes apresentadas podem classificar os dados originais. O programa também configura graficamente os valores das variáveis classificadas segundo as duas funções discriminantes mais importantes. Comparou-se manualmente os "scores" dos grupos das curvas-padrão com os "scores" obtidos para as amostras objetivando o enquadramento das mesmas nos grupos correspondentes, obtendo-se assim o conteúdo em gramas de proteína de leite por 100 gramas de proteína total e o conteúdo em gramas de proteína de carne por 100 gramas de proteína total para cada um dos trinta subgrupos resultantes. Dos valores de cada subgrupo foi determinada a mediana.

### 3. Outros Testes Estatísticos

Com o objetivo de se ter uma idéia da precisão dos resultados das determinações de aminoácidos obtidos no analisador de

aminoácidos, foi calculada a média aritmética do coeficiente de variação de quatro repetições completas de quarenta e sete amostras estudadas.

Outro teste realizado foi o teste de Duncan (GOMES, 1982) a fim de se verificar diferenças entre amostras de carne industrial de diferentes procedências quanto ao teor de alguns aminoácidos tomados individualmente.

## RESULTADOS E DISCUSSÃO

### COMPOSIÇÃO QUÍMICA

#### - Componentes das Misturas-Padrão

Os resultados dos teores de umidade, cinza, proteína e gordura das matérias-primas utilizadas para construção das misturas-padrão são apresentados na TABELA 1.

As carnes industriais são misturas variáveis de partes do dianteiro do animal destinadas à fabricação de embutidos e outros produtos. Na literatura consultada não foi encontrada a composição centesimal dessas carnes, embora os teores de umidade e proteína aqui determinados tenham concordado com o intervalo de valores citados por PRICE & SCHWEIGERT (1971), de algumas partes específicas que entram na sua composição.

A composição do leite desnatado em pó aproximou-se daque la citada por ALAIS (1971) exceto pelo teor de proteína, tendo sido um pouco abaixo do esperado segundo este autor.

TABELA 1 - Composição química (umidade, cinza, gordura e proteína) das matérias-primas utilizadas para construção das misturas-padrão.

	Carne industrial I	Carne industrial II	Leite desnatado em pó.	Farinha soja texturizada	Soja texturizada hidratada
Umidade (%)	73,04 (0,778)	74,92 (0,276)	2,00 (0,092)	2,20 (0,474)	78,60 (0,177)
Cinza (%)	0,77 (0,000)	0,70 (0,042)	6,82 (0,141)	5,90 (0,021)	0,98 (0,007)
Gordura (%)	6,69 (1,100)	8,10 (0,021)	1,32 (0,141)	2,09 (0,014)	0,70 (0,049)
Proteína (%)	19,71 (0,184)	14,38 (0,177)	29,91 (0,665)	52,44 (0,262)	13,71 (1,032)

(desvio padrão)

A composição da farinha de soja texturizada apresentada na TABELA 1 concordou com os valores publicados por SMITH & CIRCLE (1972).

### - Produtos Lácteos

Esses produtos são formulações a base de soja e leite planejados para lactentes, crianças e nutrizes visando a substituição parcial ou total do leite.

A composição química dos produtos lácteos desidratados estudados é apresentada na TABELA 2 para efeitos de controle. Os conteúdos de proteína, gordura, cinza e umidade encontrados, que variam de acordo ao tipo de produto, foram considerados normais.

### - Produtos Cárneos

Pelos dados da TABELA 3 ficou clara a existência de larga variação entre as marcas quanto aos teores de umidade, proteína, gordura, amido e cinza. A porcentagem média de proteína variou com a marca da salsicha de cerca de 8 até 16%.

O teor de umidade nas salsichas embaladas a vácuo variou de 40,88 a 57,46% enquanto que a salsicha "A", um produto frankfurt enlatado, apresentou 72,20% de umidade. A adição de água na formulação de embutidos é regulamentada pela DIPOA (DIPOA- BRASIL,

TABELA 2 - Composição química (umidade, cinza, gordura e proteína) dos produtos lácteos <sup>(a)</sup> analisados.

	A (GH <sub>3</sub> )	B (MO <sub>2</sub> )	C	D	E	F	G
Umidade (%)	1,74 (0,049)	1,28 (0,014)	1,63 (0,212)	3,00 (0,007)	2,31 (0,042)	2,30 (0,021)	2,07 (0,014)
Cinza (%)	2,47 (0,014)	2,14 (0,000)	4,54 (0,028)	5,96 (0,106)	3,15 (0,113)	3,28 (0,021)	2,46 (0,028)
Gordura (%)	16,61 (0,297)	7,37 (0,141)	20,22 (0,848)	25,34 (0,672)	13,82 (0,318)	10,92 (0,311)	14,84 (0,163)
Proteína (%)	15,14 (0,403)	13,64 (0,714)	28,80 (0,566)	26,82 (0,170)	15,91 (1,202)	11,42 (0,431)	10,29 (0,410)

(desvio padrão)

<sup>(a)</sup> Produtos de duas indústrias. Os nomes genéricos de C-G foram omitidos

TABELA 3 - Composição química (umidade, cinza, gordura, proteína e amido) dos produtos cárneos analisados

	Salsicha A	Salsicha P	Salsicha C	Salsicha D	Salsicha E	Salsicha F	Mortadela G	Mortadela H	Hambúrguer I	Almondegas J
Umidade (%)	72,20 (0,127)	50,86 (0,698)	57,46 (0,233)	40,88 (0,474)	41,27 (0,679)	42,56 (0,028)	56,74 (0,021)	47,10 (0,127)	28,59 (0,127)	39,97 (0,226)
Cinza (%)	3,39 (0,071)	2,90 (0,191)	2,32 (0,141)	3,63 (0,099)	2,63 (0,085)	2,90 (0,311)	3,55 (0,141)	3,34 (0,007)	2,30 (0,290)	2,28 (0,266)
Gordura (%)	9,38 (0,007)	30,60 (0,113)	15,36 (0,148)	18,34 (0,516)	16,01 (0,028)	19,75 (0,198)	24,70 (0,042)	18,10 (0,431)	12,40 (0,680)	17,49 (0,693)
Proteína (%)	10,97 (0,212)	12,37 (0,212)	11,30 (0,382)	14,55 (0,354)	8,35 (0,141)	12,96 (0,481)	10,14 (0,056)	9,67 (0,212)	15,90 (0,856)	14,46 (0,233)
Amido (%)	2,91 (0,085)	1,56 (0,085)	7,96 (0,000)	1,36 (0,085)	9,34 (0,092)	2,04 (0,092)	5,02 (0,000)	9,62 (0,163)	0,09 (0,014)	1,04 (0,015)

(desvio padrão)

Ministério da Agricultura, 1962) a um máximo de 10%. Este regulamento especifica que o cálculo da água adicionada seja feito sobre a relação de 3,5 de água para 1 de proteína. É possível calcular-se a água adicionada utilizando-se da fórmula:

$$(\% \text{ umidade}) \geq 3,5 \times (\% \text{ proteína}) + 10 \quad (\text{HSU et alii, 1977})$$

Nesta fórmula permite-se a proporção de 3,5 de água para 1 proteína na matéria-prima e a adição de 10% de água na formulação. A fórmula aplicada às médias dos teores de umidade e proteína encontrados indicaram que duas das marcas de salsicha ("C" e "E") apresentaram um excesso de água adicionada (TABELA 4). A legislação não leva em conta a porcentagem de água adicionada da salsicha enlatada "A".

As médias encontradas para o teor de gordura variaram de aproximadamente 15 até 31% nas salsichas embaladas a vácuo, sendo o mais baixo (cerca de 9%) na salsicha enlatada "A". Estes valores situam-se abaixo dos relatados por HSU e colaboradores (1977) para salsichas.

A presença de amido em salsichas pode indicar a adição de condimentos, farinhas vegetais ou de cereal e produtos similares (CIA & TAKAHASHI, 1978). O emprego de fécula tem muita aceitação devido a seu baixo custo e grande poder de absorção e retenção

TABELA 4 - Porcentagem de umidade dos embutidos em relação ao regulamento.

Produto	Umidade %	$3,5 \times \% \text{ Proteína} + 10$
Salsicha A	72,20	48,36 <sup>(a)</sup>
Salsicha B	50,86	53,30
Salsicha C	57,45	49,55
Salsicha D	40,88	60,92
Salsicha E	41,27	39,22
Salsicha F	42,56	55,36
Mortadela G	56,74	45,49 <sup>(a)</sup>
Mortadela H	47,10	43,85

(a) o regulamento não leva em conta a porcentagem de água adicionada.

de água através da gelificação. Obteve-se para a salsicha "A" teor acima dos 2% permitidos pela DIPOA (DIPOA - BRASIL, Ministério da Agricultura, 1962) e para as salsichas "C" e "E" um excesso marcante de amido, cujos teores atingiram quase 10%. Como a fécula não contribui para o melhoramento do nível de proteína do produto final, pode-se notar que as amostras com os mais altos teores de amido apresentaram os mais baixos níveis de proteína. Esta relação pode ser estendida também às amostras de mortadela, que por sua vez podem possuir 3% de amido a mais que as salsichas. O teor de amido na mortadela foi regulamentado pela legislação brasileira a um máximo de 5% (DIPOA - BRASIL, Ministério da Agricultura, 1962). Observa-se portanto que a mortadela "H" (com cerca de 10% de amido) encontra-se além dos teores permitidos.

As amostras de mortadela apresentaram teores de umidade de 47 e 57%. Aplicando o regulamento da DIPOA às mortadelas, pudemos observar que a amostra "H" apresentou umidade acima do máximo permitido. O regulamento não leva em conta a porcentagem de água adicionada da mortadela "G" por ser enlatada.

Os valores de 18 a 25% obtidos para a concentração de gordura em mortadela foram menores que aqueles encontrados em amostras norte-americanas, ou seja, de 24 a 33% de gordura. (KRAMLICH *et al.*, 1973).

### CARACTERIZAÇÃO DAS PROTEÍNAS PELOS PERFIS DE AMINOÁCIDOS

Com o objetivo de se ter uma idéia da precisão dos resultados das determinações de aminoácidos obtidos no analisador, foi calculada a média aritmética do coeficiente de variação de quatro repetições completas de quarenta e sete amostras estudadas. No ANEXO XIV pode-se observar baixos coeficientes de variação (3 - 6) para a maioria dos aminoácidos, valores intermediários (6 - 8) para a histidina e amônia, e um elevado coeficiente de variação, aproximadamente 15, para a cistina.

O leite desnatado em pó adicionado de farinha de soja texturizada, para a obtenção de 0, 20, 40, 60, 80 e 100% de farinha de soja nas misturas, apresentaram os perfis de aminoácidos relacionados na TABELA 5. Através de inspeção visual, o ácido aspártico, prolina, glicina, cistina, metionina e arginina apresentaram diferenças marcantes entre as fontes, melhor caracterizando-as. Por esta razão estes aminoácidos foram selecionados para posterior análise estatística manual e por computador.

Por sua vez, pelas mesmas razões acima, os aminoácidos serina, glicina, alanina, metionina e lisina foram aqueles utilizados como indicadores para o estudo estatístico das misturas de car-

TABELA 5 - Curva-padrão de leite desnatado - farinha de soja texturizada (FST) em gramas de aminoácidos condensados por 100 gramas de proteína (normalizado).

	Leite Desnatado (LD)				80% LD + 20% FST				60% LD + 40% FST			
	100% (a)		69,52% (a) + 30,48% (b)		46,11% (a) + 53,89% (b)							
Asp	8,626	8,470	7,502	7,939	9,326	8,966	10,124	9,777	9,674	9,739	10,791	11,182
Thr	4,165	4,264	4,179	4,219	4,317	4,488	4,270	4,459	4,231	4,167	4,157	4,138
Ser	5,037	5,158	4,872	5,342	5,524	5,465	5,427	5,464	5,602	5,484	5,217	4,974
Glu	22,573	21,802	22,233	22,114	21,898	21,776	22,226	22,958	21,829	21,288	22,822	22,206
Pro	7,778	8,432	9,462	9,185	7,818	7,580	7,447	7,684	6,855	6,560	6,681	6,657
Gly	1,588	1,722	1,749	1,744	2,309	2,327	2,250	2,330	2,948	2,828	2,657	2,758
Ala	2,963	2,955	3,075	3,103	3,403	3,419	3,350	3,417	3,603	3,843	3,490	3,598
Cys	0,197	0,300	0,352	0,442	0,673	0,653	0,455	0,443	0,778	0,697	0,493	0,467
Val	5,962	6,021	6,441	6,124	5,340	5,536	5,719	5,480	5,110	5,163	5,571	5,623
Met	2,454	2,326	2,400	2,471	2,105	2,042	1,910	1,854	1,755	1,774	1,663	1,544
Ile	4,849	4,889	4,945	4,669	3,947	4,304	4,372	4,381	3,874	4,010	4,274	4,909
Leu	9,446	8,872	9,460	9,093	8,878	8,847	8,852	8,514	8,622	8,746	8,156	8,136
Tyr	4,646	4,757	4,390	4,599	4,300	4,369	4,134	4,145	4,241	4,216	4,048	4,129
Phe	4,599	4,710	4,990	4,973	4,835	4,809	4,902	4,808	5,090	5,138	4,878	4,937
His	2,682	2,471	2,554	2,444	2,489	2,383	2,289	2,239	2,677	2,639	1,957	2,234
Lys	7,288	7,463	6,426	6,531	6,491	6,623	6,183	6,201	5,734	6,113	6,080	5,826
NH <sub>3</sub>	2,004	2,209	1,889	1,886	1,866	1,917	2,011	1,906	1,840	1,991	2,085	1,958
Arg	3,101	3,176	3,081	3,122	4,481	4,496	4,080	3,938	5,538	5,602	4,979	4,721

(a) Indica porcentagem de proteína de leite desnatado

(b) Indica porcentagem de proteína de soja

Continuação TABELA 5

	40% LD + 60% FST				20% LD + 80% FST				Farinha Soja Texturizada (FST)			
	27,54% <sup>(a)</sup> + 72,46% <sup>(b)</sup>				12,48% <sup>(a)</sup> + 87,52% <sup>(b)</sup>				0% <sup>(a)</sup>			
Asp	10,129	9,912	11,594	11,235	11,391	10,918	11,629	12,600	11,308	11,430	13,027	12,013
Thr	4,152	3,936	4,170	4,101	3,749	3,653	4,096	4,187	3,998	4,055	4,057	4,179
Ser	5,435	5,115	5,278	5,274	5,459	5,354	5,335	5,328	5,372	5,508	4,907	5,145
Glu	21,170	20,654	22,482	22,376	21,642	20,906	21,934	21,609	21,016	21,076	20,852	22,229
Pro	5,964	6,191	5,966	5,883	5,186	5,566	4,818	5,242	4,700	4,620	4,930	4,152
Gly	3,150	3,126	3,251	3,060	3,362	3,443	3,359	3,450	3,897	3,920	3,670	3,680
Ala	3,627	3,674	3,919	3,744	3,837	3,974	3,836	3,922	4,055	4,072	3,831	3,902
Cys	0,891	0,754	0,670	0,774	0,787	0,729	0,594	0,805	0,837	0,848	0,739	0,636
Val	4,848	4,986	5,257	5,068	4,348	4,726	5,312	5,238	4,289	4,413	4,553	5,106
Met	1,362	1,426	1,337	1,457	1,090	0,984	1,174	1,095	0,978	0,856	1,026	0,962
Ile	4,225	4,520	4,019	4,064	4,272	4,237	4,320	4,123	4,243	4,126	4,422	4,664
Ieu	8,119	8,634	8,147	8,237	8,019	8,549	8,168	7,568	7,968	8,016	7,633	7,713
Tyr	4,033	3,982	3,857	4,160	3,603	3,514	3,642	3,420	3,555	3,317	3,389	3,336
Phe	5,348	5,349	5,088	5,411	5,170	5,469	5,076	5,470	5,288	5,365	5,397	5,041
His	2,628	2,665	2,038	1,865	2,630	2,572	2,383	1,994	2,340	2,519	2,279	2,719
Lys	6,198	6,191	5,294	5,418	6,454	6,123	5,737	5,633	6,466	6,558	6,408	5,656
NH <sub>3</sub>	2,055	2,030	1,890	2,039	2,046	2,129	2,170	2,009	2,016	1,991	2,152	2,182
Arg	6,664	6,854	5,741	5,633	6,955	7,152	6,417	6,304	7,672	7,309	6,727	6,684

(a) Indica porcentagem de proteína de leite desnatado

(b) Indica porcentagem de proteína de soja

ne-soja, como pode ser verificado nas TABELAS 6, 7 e 8.

Nas TABELAS 9 e 10 estão relacionadas as composições em aminoácidos dos produtos lácteos e cárneos analisados e na TABELA 11 as das carnes utilizadas industrialmente na fabricação dos embutidos.

Através do teste de Duncan (GOMES, 1982) obteve-se que a carne industrial I difere estatisticamente da carne industrial II pelos aminoácidos lisina, alanina, glicina e prolina ao nível de 1% e pelo aminoácido leucina ao nível de 5%. A carne industrial II difere da carne industrial III pelo conteúdo de glicina, lisina e prolina ao nível de 1% e pelo conteúdo de leucina ao nível de 5%. A carne industrial I por sua vez, não apresentou diferença da carne industrial III quanto aos teores de lisina, leucina, alanina, glicina e prolina ao nível de 5%. As diferenças observadas entre as carnes industriais, alertaram quanto à possível importância que o tipo de carne utilizado possa ter na construção das misturas-padrão.

TABELA 6 - Curva padrão I - Carne industrial I - Farinha de soja texturizada em gramas de aminoácidos condensados por 100 gramas de proteína (normalizado) ..

	Carne Industrial I (CI)				96% CI + 4% FST				92% CI + 8% FST			
	100% (a)		90,01% (a) + 9,99% (b)		81,19% (a) + 18,81% (b)							
Asp	8,536	9,378	10,357	10,594	9,912	9,480	10,246	9,746	9,897	8,606	10,736	9,476
Thr	4,054	4,280	4,219	4,735	4,434	4,310	4,264	4,388	4,553	3,803	4,360	3,920
Ser	4,172	4,132	3,744	3,830	4,388	4,340	4,510	4,309	4,674	4,266	4,400	3,910
Glu	16,598	17,058	17,634	15,664	17,279	16,766	17,668	18,076	17,896	16,973	18,348	16,855
Pro	6,495	5,371	5,588	5,725	5,686	5,800	5,623	5,674	5,589	6,209	5,592	5,945
Gly	9,551	7,469	8,200	7,764	7,480	8,060	8,137	7,321	7,232	8,259	7,405	8,061
Ala	6,831	6,413	6,675	6,662	6,340	6,176	6,430	5,764	6,291	6,386	5,972	6,289
Cys	0,608	0,702	0,475	0,449	0,485	0,508	0,407	0,698	0,466	0,616	0,497	0,574
Val	3,979	4,180	4,604	4,994	4,428	4,435	4,646	4,661	4,430	4,687	4,636	4,856
Met	2,179	2,109	2,069	2,177	2,197	2,163	2,062	2,332	2,158	2,080	2,021	2,091
Ile	3,487	3,779	4,160	3,927	3,754	3,838	3,504	3,748	3,552	3,813	3,900	4,097
Leu	7,463	7,966	7,821	8,084	7,733	7,750	7,404	8,075	7,860	7,824	7,560	7,951
Tyr	3,016	3,267	2,644	2,908	3,377	3,182	3,022	3,152	3,209	3,293	3,140	3,196
Phe	3,818	4,072	3,768	3,853	4,090	4,213	4,160	3,992	4,243	4,217	4,113	4,364
His	2,284	2,378	2,190	2,240	2,317	2,689	2,005	2,294	2,311	2,252	2,109	2,408
Lys	8,119	8,679	7,650	7,907	7,605	7,396	7,830	7,692	6,900	7,549	6,987	7,548
NH <sub>3</sub>	1,287	1,356	1,438	1,470	1,306	1,368	1,335	1,335	1,366	1,395	1,389	1,413
Arg	7,520	7,408	6,764	7,017	7,187	7,526	6,746	6,742	7,370	7,770	6,836	7,044

(a) Indica porcentagem de proteína de carne

(b) Indica porcentagem de proteína de soja

Continuação TABELA 6

	88% CI + 12% FST				84% CI + 16% FST			
	73,38%	(a)	+ 26,62%	(b)	66,37%	(a)	+ 33,63%	(b)
Asp	9,868	10,098	11,148	11,466	9,635	10,307	11,098	10,286
Thr	4,287	4,561	4,188	4,701	4,102	4,067	4,144	4,176
Ser	4,831	4,723	4,228	4,625	4,521	4,865	4,647	4,329
Glu	17,909	18,485	18,297	18,492	18,234	18,389	19,393	18,428
Pro	5,364	5,213	5,406	5,179	5,333	5,187	4,954	5,177
Gly	6,070	6,112	6,780	6,290	6,101	6,253	5,990	6,402
Ala	5,621	5,814	6,212	5,673	5,678	5,783	5,144	5,593
Cys	0,621	0,724	0,522	0,514	0,740	0,719	0,530	0,697
Val	4,528	4,750	4,772	4,698	4,500	4,567	4,892	4,857
Met	2,084	2,051	1,902	1,873	1,937	1,854	2,074	1,924
Ile	3,706	3,600	4,006	3,944	3,819	3,782	3,905	4,011
Leu	8,109	7,947	7,046	7,069	8,057	8,240	7,595	7,764
Tyr	3,518	3,448	3,169	3,186	3,431	3,490	3,243	3,212
Phe	4,456	4,396	4,445	4,256	4,695	4,500	4,332	4,335
His	2,625	2,439	2,191	2,435	2,376	2,166	2,536	2,254
Lys	7,185	6,948	7,436	7,615	7,643	6,969	7,282	8,006
NH <sub>3</sub>	1,565	1,552	1,402	1,517	1,589	1,467	1,507	1,524
Arg	7,652	7,139	6,851	6,465	7,609	7,399	6,732	7,023

(a) Indica porcentagem de proteína de carne

(b) Indica porcentagem de proteína de soja

continuação TABELA 6

	76% CI + 24% FST 54,35% (a) + 45,65% (b)				Farinha Soja Texturizada (FST) 0% (a)			
Asp	10,358	11,287	11,488	11,094	11,308	11,430	13,027	12,013
Thr	4,156	4,237	4,628	4,094	3,998	4,055	4,057	4,179
Ser	4,904	5,171	4,834	4,477	5,372	5,508	4,907	5,145
Glu	18,670	19,039	19,279	19,894	21,016	21,076	20,852	22,229
Pro	5,151	4,711	4,675	5,439	4,700	4,620	4,930	4,152
Gly	5,931	5,508	5,086	5,565	3,897	3,920	3,670	3,680
Ala	5,176	5,465	5,131	4,931	4,055	4,072	3,831	3,902
Cys	0,614	0,614	0,506	0,668	0,837	0,848	0,739	0,636
Val	4,860	4,764	5,096	4,762	4,289	4,413	4,553	5,106
Met	1,706	1,804	1,680	1,858	0,978	0,856	1,026	0,962
Ile	3,864	3,764	4,245	3,851	4,243	4,126	4,422	4,664
Leu	8,256	8,259	7,842	8,030	7,968	8,016	7,633	7,713
Tyr	3,284	2,683	3,048	3,238	3,555	3,317	3,389	3,336
Phe	4,593	4,786	4,534	4,432	5,288	5,365	5,397	5,041
His	2,150	2,087	2,506	2,338	2,340	2,519	2,279	2,719
Lys	7,173	6,728	7,353	6,922	6,466	6,558	6,408	5,656
NH <sub>3</sub>	1,768	1,705	1,703	1,493	2,016	1,991	2,152	2,182
Ary	7,385	7,386	6,366	6,913	7,672	7,309	6,727	6,684

(a) indica porcentagem de proteína de carne

(b) indica porcentagem de proteína de soja

TABELA 7 - Curva padrão II de Carne industrial II - Soja texturizada hidratada (STH) em gramas de aminoácidos condensados por 100 gramas de proteína (normalizado)

	Carne Industrial II (CI)				80% CI + 20% STH				60% CI + 40% STH			
	100% (a)		80,76% (a) + 19,24% (b)		61,16% (a) + 38,84% (b)							
Asp	9,392	9,210	10,432	10,822	10,196	9,918	10,995	10,854	10,500	10,561	9,675	10,512
Thr	4,526	4,471	4,855	5,197	4,529	4,636	4,275	4,772	4,587	4,504	3,763	4,216
Ser	3,832	4,027	3,901	4,147	4,360	4,182	4,048	4,110	4,564	4,449	3,886	4,366
Glu	16,808	17,468	17,806	18,217	17,943	17,424	17,201	18,538	18,459	18,205	17,330	18,435
Pro	4,362	4,731	4,246	4,315	4,685	4,958	4,388	3,989	4,617	4,898	4,410	4,470
Gly	5,199	6,067	4,645	4,473	5,274	5,807	5,054	4,890	4,635	4,978	4,934	4,722
Ala	5,752	5,997	5,875	5,656	5,386	5,525	5,481	5,427	5,004	5,180	5,080	5,257
Cys	0,619	0,633	0,565	0,689	0,592	0,590	0,592	0,553	0,684	0,583	0,745	0,711
Val	4,831	4,580	4,970	4,780	4,655	4,637	5,305	4,926	4,503	4,410	4,914	4,957
Met	2,641	2,404	2,730	2,776	2,431	2,507	2,624	2,258	2,119	1,969	2,336	2,290
Ile	4,609	4,476	4,333	3,898	4,132	3,958	4,628	4,479	3,916	3,909	4,599	4,106
Leu	8,765	7,940	8,438	8,574	8,300	8,577	8,519	9,009	8,681	8,665	8,645	7,802
Tyr	3,584	3,536	3,520	3,507	3,700	3,564	3,444	3,496	3,647	3,520	3,888	3,531
Phe	4,302	4,258	4,229	4,223	4,357	4,472	4,392	4,459	4,747	4,609	4,876	4,789
His	2,660	2,607	2,284	1,963	2,466	2,412	2,677	2,362	2,474	2,426	2,692	2,629
Lys	9,561	9,308	9,464	8,845	8,664	8,295	8,127	7,653	8,009	8,398	8,465	7,841
NH <sub>3</sub>	1,452	1,195	1,408	1,270	1,382	1,326	1,382	1,571	1,489	1,462	1,773	1,662
Arg	7,104	7,091	6,298	6,586	6,949	7,210	6,870	6,656	7,367	7,275	7,987	7,705

(a) Indica porcentagem de proteína de carne

(b) Indica porcentagem de proteína de soja

Continuação TABELA 7

	40% CI + 60% STH 41,13% (a) + 58,87% (b)				20% CI + 80% STH 20,79% (a) + 79,20% (b)				SOJA TEXTURIZADA HIDRATADA (STH) 0% (d)			
Asp	11,188	10,747	9,994	12,555	11,441	11,686	10,639	11,848	11,564	11,492	13,000	12,804
Thr	4,024	4,321	3,692	4,044	4,191	4,266	3,846	3,869	4,006	3,880	4,272	4,482
Ser	4,909	4,502	4,633	4,956	4,900	4,940	5,107	4,823	5,400	5,071	5,054	5,044
Glu	18,611	19,005	19,097	18,704	19,253	19,292	19,807	19,098	19,630	19,274	21,261	21,486
Pro	4,878	4,957	4,802	4,728	5,147	5,102	4,974	4,728	4,745	5,015	4,881	5,061
Gly	4,285	4,860	4,613	4,219	4,307	4,244	4,257	4,079	3,679	3,829	3,594	3,757
Ala	4,892	4,596	5,402	4,935	4,297	4,220	4,790	4,470	4,180	4,035	3,976	4,294
Cys	0,616	0,644	0,700	0,768	0,818	0,788	0,684	0,692	0,654	0,741	0,596	0,743
Val	4,895	4,870	4,936	5,018	4,457	4,471	4,944	4,819	4,837	4,891	5,083	4,898
Met	1,683	1,735	1,588	1,735	1,330	1,360	1,400	1,524	0,982	0,918	0,874	1,021
Ile	4,643	4,489	4,439	4,461	3,863	3,962	4,596	4,240	4,684	4,593	4,421	4,618
Leu	8,348	8,422	8,454	8,187	8,225	8,324	8,995	8,216	8,236	8,233	8,209	7,997
Tyr	3,487	3,289	3,360	3,592	3,701	3,406	3,455	3,493	3,339	3,404	3,254	2,953
Phe	5,038	4,948	5,126	4,741	5,114	5,418	5,211	5,186	5,818	5,711	5,059	5,125
His	2,465	2,412	2,279	2,316	2,277	2,194	2,298	2,467	2,384	2,452	1,986	1,803
Lys	7,059	7,205	7,366	6,808	7,256	7,140	6,696	6,714	6,417	6,829	5,588	5,340
NH <sub>3</sub>	1,821	1,781	1,878	1,516	1,855	1,812	1,911	1,985	2,239	2,194	2,311	2,185
Arg	7,155	7,220	7,640	6,715	7,568	7,375	6,389	7,749	7,203	7,438	6,581	6,390

(a) Indica porcentagem de proteína de carne

(b) Indica porcentagem de proteína de soja

TABELA 8 - Curva padrão III de carne industrial II - farinha de soja texturizada (FST) em gramas de aminoácidos condensados por 100 gramas de proteína (normalizado)

	Carne Industrial II (CI)				96% CI + 4% FST				92% CI + 8% FST			
	100% (a)		86,79% (a) + 13,21% (b)		75,90% (a) + 24,10% (b)							
Asp	9,392	9,210	10,432	10,882	9,621	9,684	10,280	10,172	9,902	10,600	10,695	10,806
Thr	4,526	4,471	4,855	5,197	4,744	4,738	4,781	4,975	4,391	4,510	4,483	4,330
Ser	3,832	4,027	3,901	4,147	4,083	4,122	4,282	4,507	4,392	4,538	4,380	4,335
Glu	16,808	17,468	17,806	18,217	17,901	17,756	18,268	18,972	17,384	18,215	19,672	19,170
Pro	4,362	4,731	4,246	4,315	4,663	4,722	4,282	3,814	5,142	4,689	3,703	4,335
Gly	5,199	6,067	4,645	4,473	4,810	5,011	5,294	4,911	5,639	5,340	4,322	4,623
Ala	5,752	5,997	5,875	5,656	5,546	5,334	5,584	5,556	5,482	5,705	5,309	5,343
Cys	0,619	0,633	0,565	0,689	0,521	0,614	0,510	0,583	0,613	0,670	0,469	0,472
Val	4,831	4,580	4,970	4,780	4,723	4,638	5,056	5,026	4,630	4,691	5,443	5,267
Met	2,641	2,404	2,730	2,776	2,459	2,604	2,317	2,368	2,190	2,238	2,065	2,107
Ile	4,609	4,476	4,333	3,898	4,186	4,112	4,302	4,340	3,940	4,171	4,561	4,590
Leu	8,765	7,940	8,408	8,574	8,488	8,774	8,675	8,730	8,688	8,274	8,765	8,822
Tyr	3,584	3,536	3,520	3,507	3,597	3,533	3,378	3,412	3,405	3,419	3,426	3,222
Phe	4,302	4,258	4,229	4,223	4,663	4,511	4,310	4,103	4,571	4,438	4,445	4,145
His	2,660	2,607	2,284	1,963	2,506	2,507	2,592	2,574	2,457	2,578	2,496	2,734
Lys	9,561	9,308	9,464	8,845	8,845	8,687	8,282	7,998	8,325	7,730	7,809	7,784
NH <sub>3</sub>	1,452	1,195	1,408	1,270	1,348	1,325	1,438	1,502	1,374	1,418	1,634	1,551
Arg	7,104	7,091	6,298	6,586	7,296	7,327	6,368	6,455	7,475	6,773	6,323	6,364

(a) Indica porcentagem de proteína de carne

(b) Indica porcentagem de proteína de soja

Continuação TABELA 8

	88% CI + 12% FST				84% CI + 16% FST			
	66,79% <sup>(a)</sup> + 33,21% <sup>(b)</sup>		59,01% <sup>(a)</sup> + 40,99% <sup>(b)</sup>		60,09% <sup>(a)</sup> + 39,91% <sup>(b)</sup>		59,01% <sup>(a)</sup> + 40,99% <sup>(b)</sup>	
Asp	10,075	9,987	10,640	11,105	10,091	10,500	10,078	10,785
Thr	4,278	4,293	4,215	4,338	4,210	4,011	4,119	4,635
Ser	4,462	4,419	4,230	4,048	4,411	4,504	4,202	4,724
Glu	18,554	18,500	19,690	19,964	18,646	19,214	19,074	19,988
Pro	4,765	4,642	4,396	3,909	5,202	4,811	4,304	3,933
Gly	5,348	5,028	4,578	4,276	4,990	4,979	4,574	4,716
Ala	5,454	5,495	5,213	5,094	5,211	5,168	5,078	5,175
Cys	0,637	0,532	0,385	0,362	0,637	0,642	0,530	0,482
Val	4,779	4,612	5,187	5,195	4,695	4,659	5,433	5,266
Met	2,142	2,149	2,075	1,948	1,760	1,773	1,812	1,928
Ile	4,302	4,404	4,603	4,695	4,573	4,431	4,434	4,267
Leu	7,874	8,577	8,984	8,776	8,137	8,359	9,084	8,347
Tyr	3,377	3,452	3,406	3,231	3,445	3,348	3,501	3,318
Phe	4,693	4,709	4,405	4,377	4,702	4,737	4,648	4,367
His	2,710	2,720	2,244	2,731	2,739	2,549	2,715	2,337
Lys	7,857	7,921	7,705	7,694	7,869	7,647	8,057	7,331
NH <sub>3</sub>	1,548	1,554	1,650	1,748	1,606	1,618	1,846	1,744
Arg	7,143	7,006	6,394	6,509	7,073	7,048	6,780	6,656

(a) Indica porcentagem da proteína de carne

(b) Indica porcentagem da proteína de soja

Continuação TABELA 8

	76% CI + 24% FST				Farinha soja texturizada (FST)			
	46,49% <sup>(a)</sup>		+ 53,51% <sup>(b)</sup>		0%		(a)	
Asp	10,798	11,407	10,699	11,670	11,308	11,430	13,027	12,013
Thr	4,340	4,366	3,823	4,173	3,998	4,055	4,057	4,179
Ser	4,528	4,529	4,232	4,774	5,372	5,508	4,907	5,145
Glu	18,980	18,873	19,220	20,573	21,016	21,076	20,852	22,229
Pro	4,788	4,883	4,511	3,961	4,700	4,620	4,930	4,152
Gly	4,798	4,582	4,454	4,016	3,897	3,920	3,670	3,680
Ala	4,772	4,716	4,718	4,888	4,055	4,072	3,831	3,902
Cys	0,622	0,720	0,552	0,520	0,837	0,848	0,739	0,636
Val	4,532	4,477	5,424	5,221	4,289	4,413	4,553	5,106
Met	1,819	1,825	1,824	1,765	0,978	0,856	1,026	0,962
Ile	3,926	3,963	4,628	4,407	4,243	4,126	4,422	4,664
Leu	8,430	8,466	8,584	8,101	7,968	8,016	7,633	7,713
Tyr	3,342	3,424	3,406	3,376	3,555	3,317	3,389	3,336
Phe	4,924	4,866	4,695	4,618	5,288	5,365	5,397	5,041
His	2,432	2,578	2,708	2,262	2,340	2,519	2,279	2,719
Lys	7,907	7,814	7,707	7,101	6,466	6,558	6,408	5,656
NH <sub>3</sub>	1,615	1,649	1,926	1,913	2,016	1,911	2,152	2,182
Arg	7,444	7,061	6,889	6,658	7,672	7,309	6,727	6,684

(a) Indica porcentagem de proteína de carne

(b) Indica porcentagem de proteína de soja

TABELA 9 - Composição dos produtos lácteos em gramas de aminoácidos condensados por 100 gramas de proteína (normalizado)

	A ( $\text{CH}_3$ )				B ( $\text{CO}_2$ )				C			
Asp	10,245	10,588	10,554	10,809	11,128	10,606	11,630	9,891	12,312	12,848	11,526	12,348
Thr	3,983	3,955	4,231	4,232	3,648	3,929	4,111	3,972	3,899	3,643	3,501	3,852
Ser	5,764	5,787	5,172	5,577	4,843	5,046	5,318	4,701	5,134	4,855	4,906	5,144
Glu	21,693	21,726	21,342	22,135	20,970	20,903	22,143	21,582	20,686	20,803	21,989	21,524
Pro	6,327	6,427	6,971	6,506	6,243	6,060	5,660	5,812	4,735	4,695	4,824	4,465
Gly	3,008	2,842	3,154	2,984	3,406	3,201	3,226	3,211	3,673	3,704	3,640	3,842
Ala	4,026	3,998	3,674	3,801	3,758	3,773	3,641	3,943	3,970	4,232	3,910	3,935
Cys	0,598	0,594	0,444	0,515	0,479	0,493	0,557	0,625	0,556	0,552	0,802	0,718
Val	5,502	5,472	5,537	5,524	5,075	5,020	5,356	5,338	4,692	4,742	4,820	4,749
Met	1,543	1,534	1,524	1,661	1,235	1,238	1,395	1,357	1,103	1,017	1,106	1,076
Ile	3,972	3,945	4,550	4,517	4,596	4,499	4,153	4,644	4,426	4,315	4,405	4,037
Leu	8,866	8,884	8,623	8,430	9,122	8,740	8,457	9,148	8,034	8,124	7,890	8,073
Tyr	3,147	3,061	2,929	3,172	2,851	3,063	3,219	3,039	3,543	3,383	3,643	3,541
Phe	5,320	5,285	5,153	5,203	5,220	5,589	5,128	5,072	5,377	5,186	5,306	5,184
His	2,173	1,962	2,488	2,268	2,296	2,231	2,246	2,428	1,948	2,036	2,303	2,327
Lys	6,184	6,225	6,251	5,636	6,929	7,219	6,294	6,522	6,323	6,180	6,317	6,223
NH <sub>3</sub>	2,066	2,082	1,991	1,963	2,172	2,099	1,834	2,428	2,190	2,173	1,955	1,944
Arg	5,583	5,631	5,412	5,068	6,029	6,290	5,632	6,286	7,489	7,510	7,156	7,018

Continuação TABELA 9

	D				E			
Asp	9,302	9,046	9,808	9,303	10,507	10,147	10,939	10,876
Thr	4,124	3,758	4,004	4,075	4,043	3,873	4,445	3,848
Ser	5,322	5,166	5,235	5,336	5,179	5,295	5,258	4,929
Glu	20,821	20,656	23,327	22,490	20,180	20,408	22,090	22,246
Pro	7,303	7,540	7,410	7,464	6,611	6,745	6,095	6,417
Gly	2,441	2,431	2,560	2,466	2,678	2,728	2,718	2,605
Ala	3,378	3,405	3,306	3,249	3,504	3,516	3,485	3,564
Cys	0,575	0,494	0,533	0,649	0,485	0,477	0,402	0,402
Val	5,441	5,616	5,527	5,457	5,343	5,413	5,386	5,593
Met	2,011	1,805	2,245	2,053	1,683	1,696	1,573	1,538
Ile	4,194	4,723	4,102	4,399	4,562	4,626	4,618	4,893
Leu	8,212	8,942	8,877	9,373	8,601	8,557	8,760	8,785
Tyr	4,509	4,242	4,066	4,265	3,876	3,861	3,691	3,669
Phe	5,342	5,078	4,977	4,896	5,346	5,378	4,986	4,810
His	2,692	2,619	2,242	2,263	2,736	2,712	2,512	2,329
Lys	7,213	7,245	5,523	6,022	7,018	6,917	5,709	5,938
NH <sub>3</sub>	1,893	2,002	1,741	1,704	1,868	1,982	2,116	2,418
Arg	5,226	5,232	4,516	4,538	5,779	5,671	5,214	5,141

Continuação TABELA 9

	F					G			
Asp	8,918	9,723	10,432	10,299		8,698	9,711	9,269	9,259
Thr	3,825	4,114	3,965	3,969		3,904	4,113	3,874	3,647
Ser	5,032	4,859	5,438	5,900		5,399	5,110	5,368	5,133
Glu	20,703	20,356	22,096	21,947		20,496	19,869	23,186	21,952
Pro	7,126	7,117	5,986	5,881		7,396	7,325	7,165	6,703
Gly	2,687	2,653	2,783	2,787		2,694	2,616	2,957	2,972
Ala	3,734	3,462	3,675	3,724		3,513	3,676	3,918	3,894
Cys	0,401	0,402	0,345	0,347		0,523	0,397	0,435	0,432
Val	5,717	5,427	5,473	5,480		5,378	5,571	5,802	5,584
Met	1,699	1,720	1,531	1,557		1,694	1,752	1,849	1,783
Ile	4,728	4,802	4,438	4,443		4,581	4,758	4,844	5,694
Leu	8,732	8,781	9,043	8,920		8,618	8,825	8,488	10,148
Tyr	3,957	3,953	4,017	3,900		4,433	3,788	3,646	3,627
Phe	5,403	5,328	4,830	4,838		5,321	5,118	5,128	4,814
His	2,697	2,640	2,332	2,312		2,691	2,722	2,242	2,202
Lys	7,103	7,028	6,099	6,170		7,095	7,132	5,544	5,443
NH <sub>3</sub>	2,044	2,149	2,082	2,087		2,036	1,917	1,715	1,679
Arg	5,492	5,485	5,433	5,438		5,529	5,600	4,570	5,033

TABELA 10 - Composição dos produtos cárneos em gramas de aminoácidos condensados por 100 gramas de proteína (normalizado)

	Salsicha A				Salsicha B				Salsicha C			
Asp	9,984	10,457	10,857	11,114	10,761	9,809	8,703	9,225	10,317	10,597	10,187	11,672
Thr	3,886	3,848	4,536	4,624	4,525	4,015	3,813	4,197	3,902	4,176	4,183	4,464
Ser	4,000	4,194	5,300	4,950	4,060	4,214	3,658	4,098	4,461	4,493	4,456	5,124
Glu	15,924	16,675	18,525	17,610	17,372	17,468	16,516	16,616	19,148	18,582	18,826	19,730
Pro	6,232	5,995	6,061	5,777	4,842	5,007	5,552	4,788	5,045	5,326	4,971	4,747
Gly	7,172	6,806	6,700	7,475	6,266	6,767	6,816	6,062	5,445	5,546	5,659	5,158
Ala	5,576	5,760	5,413	5,609	6,175	5,605	6,155	5,858	5,199	5,546	5,357	5,078
Cys	0,415	0,419	0,523	0,429	0,553	0,637	0,672	0,650	0,423	0,425	0,582	0,523
Val	5,170	5,212	4,384	4,685	5,134	5,408	5,096	4,947	4,436	4,454	4,865	4,751
Met	1,850	1,867	1,897	1,875	2,447	2,456	2,771	2,877	1,984	1,887	1,810	1,874
Ile	4,316	4,351	3,828	4,120	4,144	4,068	4,134	4,200	4,212	4,082	4,283	3,934
Leu	8,691	8,071	7,457	7,833	7,943	8,158	8,027	8,210	8,276	7,967	8,258	8,344
Tyr	2,974	2,998	3,077	3,094	3,224	3,446	3,294	3,459	3,072	3,023	3,100	2,837
Phe	4,658	4,694	4,072	4,353	3,997	3,938	4,196	4,280	4,692	4,875	4,677	4,669
His	2,604	2,450	2,190	2,139	2,393	2,334	2,725	2,651	2,590	2,502	2,502	2,208
Lys	7,879	7,331	6,740	6,417	7,989	8,379	8,730	9,083	8,000	7,762	7,722	7,076
NH <sub>3</sub>	1,445	1,591	1,398	1,423	1,282	1,434	1,292	1,312	1,657	1,645	1,581	1,486
Arg	7,223	7,281	7,042	6,471	6,891	6,856	7,848	7,486	7,140	7,112	6,971	6,323

Continuação TABELA 10

	Salsicha D				Salsicha E				Salsicha F			
Asp	9,722	10,243	10,148	10,836	9,241	10,592	10,650	10,713	9,742	9,890	9,703	9,802
Thr	3,829	4,766	4,400	4,704	3,881	4,338	4,251	3,896	4,131	4,329	4,729	4,658
Ser	4,136	4,342	3,766	3,760	4,355	4,505	4,220	4,348	4,273	4,397	4,380	4,514
Glu	16,990	17,321	18,004	18,309	16,462	16,602	15,754	15,845	16,957	17,218	17,944	18,504
Pro	4,836	4,772	4,960	4,493	6,740	6,450	6,395	6,884	5,147	5,595	6,569	6,002
Gly	6,296	6,089	6,297	6,079	8,710	8,347	9,317	10,273	6,528	6,470	6,308	7,560
Ala	6,211	5,771	6,140	6,438	6,957	6,694	6,696	6,996	6,222	6,243	5,498	5,668
Cys	0,596	0,462	0,400	0,680	0,501	0,486	0,510	0,422	0,596	0,563	0,498	0,542
Val	5,672	5,160	5,572	5,131	5,106	4,998	4,920	4,954	5,281	5,381	4,510	4,493
Met	2,351	2,382	2,354	2,517	1,744	2,006	2,334	1,940	2,278	2,066	1,778	1,773
Ile	3,980	4,333	4,494	3,946	3,372	3,346	3,694	3,172	4,132	4,170	3,935	3,681
Leu	8,123	8,236	8,262	8,371	7,520	7,755	7,647	7,435	7,997	7,928	8,667	8,151
Tyr	3,288	3,239	2,974	3,041	2,920	2,319	2,686	2,541	3,230	3,291	3,403	3,162
Phe	4,422	4,251	3,988	4,101	3,952	3,851	3,717	3,836	4,430	4,000	4,727	4,506
His	2,497	2,551	2,359	2,072	2,195	2,263	2,091	2,204	2,371	2,478	2,421	2,463
Lys	8,395	8,001	7,796	7,565	7,712	7,389	7,130	6,872	8,077	7,744	7,872	7,329
NH <sub>3</sub>	1,436	1,340	1,657	1,407	1,314	1,249	1,275	1,232	1,580	1,416	1,310	1,349
Arg	7,217	6,738	6,427	6,547	7,318	6,806	6,712	6,437	7,027	6,822	5,745	5,844

Continuação TABELA 10

	Mortadela G				Mortadela H			
Asp	10,798	9,320	9,777	8,619	11,014	10,849	11,409	10,824
Thr	4,253	4,595	4,561	4,577	4,537	4,562	4,562	4,580
Ser	4,044	4,788	4,059	4,222	4,219	4,207	4,485	4,416
Glu	16,682	18,255	17,324	18,870	17,899	18,010	19,542	19,170
Pro	4,285	4,798	4,888	4,415	5,109	5,102	5,034	4,808
Gly	4,600	4,640	5,168	5,122	5,527	5,389	5,609	5,541
Ala	5,484	5,438	5,405	6,420	5,256	5,261	5,821	5,779
Cys	0,391	0,576	0,444	0,413	0,554	0,429	0,409	0,401
Val	5,411	4,690	4,645	4,412	4,795	4,838	5,089	5,010
Met	2,290	1,932	1,748	1,787	2,174	2,162	1,832	2,128
Ile	4,620	4,835	4,424	4,318	3,826	3,965	4,570	4,407
Leu	8,532	9,092	9,145	8,955	8,457	8,844	7,914	8,318
Tyr	3,281	3,424	3,285	3,645	2,764	2,300	2,102	2,715
Phe	4,874	5,010	4,883	4,881	4,520	4,590	4,513	4,444
His	3,050	2,903	3,097	2,828	2,617	2,642	2,392	2,383
Lys	9,238	8,344	8,937	9,416	8,629	8,790	7,311	7,482
NH <sub>3</sub>	1,418	1,331	1,436	1,490	1,495	1,502	1,462	1,502
Arg	6,747	6,029	6,772	5,610	6,598	6,557	5,852	6,092

Continuação TABELA 10

	Hamburguer I					Almôndegas J			
Asp	10,319	11,133	10,835	9,710		10,628	9,770	10,272	9,985
Thr	4,561	4,345	4,256	4,408		4,655	4,433	4,293	4,510
Ser	4,645	4,281	4,680	4,175		4,280	4,120	4,182	4,405
Glu	18,453	17,719	17,659	17,628		18,667	17,989	19,614	19,052
Pro	4,373	5,111	4,129	5,794		5,009	4,896	5,001	5,150
Gly	4,442	5,712	5,846	6,341		5,861	5,799	6,469	6,101
Ala	5,522	5,666	5,774	5,351		5,762	5,722	5,917	5,967
Cys	0,556	0,566	0,557	0,540		0,448	0,611	0,632	0,588
Val	5,413	5,268	4,757	4,475		5,018	5,060	4,627	4,886
Met	2,131	2,018	2,362	1,810		1,991	2,393	2,168	1,922
Ile	4,764	3,900	4,037	4,236		4,000	4,492	4,175	4,279
Leu	8,315	8,022	8,253	8,592		8,040	8,288	7,695	7,863
Tyr	3,611	3,151	3,397	3,446		3,048	3,132	3,032	3,178
Phe	4,458	4,258	4,293	4,697		4,254	4,158	4,003	4,080
His	2,428	2,357	2,397	2,527		2,430	2,569	2,174	2,134
Lys	7,839	7,986	8,239	7,940		7,680	8,018	7,546	7,608
NH <sub>3</sub>	1,515	1,434	1,474	1,652		1,533	1,610	1,446	1,529
Arg	6,653	7,072	7,0567	6,677		6,696	6,940	6,754	6,761

TABELA 11 - Composição das carnes industriais em gramas de aminoácidos condensados por 100 gramas de proteína (normalizado)

	Carne Industrial I <sup>(a)</sup>				Carne Industrial II <sup>(b)</sup>				Carne Industrial III			
Asp	8,536	9,378	10,357	10,594	9,392	9,210	10,432	10,822	10,355	9,575	10,244	9,390
Thr	4,054	4,280	4,219	4,735	4,526	4,471	4,855	4,197	4,828	4,371	4,343	4,317
Ser	4,172	4,132	3,744	3,830	3,832	4,027	3,901	4,147	3,977	3,960	4,006	3,776
Glu	16,598	17,058	17,634	15,664	16,808	17,468	17,806	18,217	17,422	17,399	17,286	16,689
Pro	6,495	5,371	5,588	5,725	4,362	4,731	4,246	4,315	4,878	5,476	5,883	6,700
Gly	9,551	7,469	8,200	7,764	5,199	6,067	4,645	4,473	6,803	7,456	8,275	9,022
Ala	6,831	6,413	6,675	6,662	5,752	5,997	5,875	5,656	6,183	6,430	6,687	6,647
Cys	0,608	0,702	0,475	0,449	0,619	0,633	0,565	0,689	0,526	0,542	0,538	0,472
Val	3,979	4,180	4,604	4,994	4,831	4,580	4,970	4,780	5,163	4,940	4,802	4,635
Met	2,179	2,109	2,069	2,177	2,641	2,404	2,730	2,776	2,254	2,216	2,012	2,160
Ile	3,487	3,779	4,160	3,927	4,609	4,476	4,333	3,898	3,989	4,255	4,026	4,016
Leu	7,463	7,966	7,821	8,084	8,765	7,940	8,438	8,574	8,124	8,077	7,646	7,636
Tyr	3,016	3,267	2,644	2,908	3,584	3,536	3,520	3,507	3,111	2,936	2,735	2,980
Phe	3,818	4,072	3,768	3,853	4,302	4,256	4,229	4,223	4,028	4,010	3,742	4,062
His	2,284	2,378	2,190	2,240	2,660	2,607	2,284	1,963	2,242	2,194	1,923	1,906
Lys	8,119	8,679	7,650	7,907	9,561	9,308	9,464	8,845	7,920	7,833	7,520	7,261
NH <sub>3</sub>	1,287	1,356	1,438	1,470	1,452	1,195	1,408	1,270	1,426	1,436	1,391	1,382
Arg	7,520	7,408	6,764	7,017	7,104	7,091	6,298	6,586	6,770	6,894	6,940	6,948

(a) A composição em aminoácidos é a mesma que aparece na TABELA 6

(b) A composição em aminoácidos é a mesma que aparece na TABELA 7

## ANÁLISE ESTATÍSTICA

### - Equação de Regressão (Método Manual)

#### 1. Produtos Lácteos

Segundo a fórmula original (Legião Brasileira de Assistência, 1976), o produto lácteo "A" deveria conter 6g de farinha de soja texturizada e 32g de leite integral por cada 100g de formulação. Isto significa que, se for considerado 25,8% o conteúdo de proteína para o leite integral em pó (WATT & MERRILL, 1950) e 52,44% para a farinha de soja texturizada (TABELA 1, p. 39), o produto deveria conter 72,41% de leite e 27,59% de soja na base protéica. Observando a primeira coluna da TABELA 12 porém, podemos constatar o resultado de 44,92% de proteína de leite ao invés de 72,41%.

Já o produto "B" deveria conter 2,2% de farinha de soja texturizada e 28% de leite integral em pó (Legião Brasileira de Assistência, 1976). Utilizando os mesmos valores referência de proteína usados acima (25,8% para o leite integral e 52,44% para a farinha de soja), os cálculos estimaram um teor de 85,32% de leite e 14,68% de farinha de soja texturizada na base protéica. Mediante o enquadramento do produto

TABELA 12 - Medianas das porcentagens de proteína de leite nos produtos lácteos <sup>(a)</sup>.

Produtos	Equação de Regressão (Método Manual)				Análise Discriminante	Esperado <sup>(d)</sup> (fórmula original)
	Com cisti na (qua- druplica- ta) %	Sem cisti na (qua- druplica- ta) %	Com cisti na (dupli- cata) %	Sem cisti na (dupli- cata) %		
A(GH <sub>3</sub> )	44,92	40,47	41,79	40,02	(27,54) - 45,11 <sup>(b)</sup>	72,41
B(MO <sub>2</sub> )	34,70	26,92	35,36	26,13	12,48 - 27,54 <sup>(c)</sup>	85,32
C	18,50	2,21	14,39	0,49	0,00	0,00
D	63,50	64,92	62,85	62,85	(46,11) - 69,52 <sup>(b)</sup>	N.D.
E	51,22	43,80	50,74	44,95	46,11	N.D.
F	57,87	48,01	60,22	55,15	46,11 - (69,52) <sup>(b)</sup>	N.D.
G	59,70	56,48	60,61	57,40	46,11 - (69,52) <sup>(b)</sup>	N.D.

<sup>(a)</sup> Os dados primários que originaram estas medianas aparecem nos ANEXOS VIII, IX e X.

<sup>(b)</sup> Os "scores" das amostras situavam-se entre os "scores" de dois grupos da curva-padrão, com maior tendência ao valor sem parênteses.

<sup>(c)</sup> O "score" da amostra situava-se entre os "scores" de dois grupos da curva-padrão,

<sup>(d)</sup> Nível de proteína de leite que o produto deveria possuir de acordo ao proposto na formulação original.

N.D. indica não disponibilidade do valor através da literatura ou do fabricante.

"B" na equação de regressão pode-se igualmente verificar que o teor de proteína de leite está em torno de 34,70% da proteína total.

Uma grande diferença pode ser notada entre o conteúdo de leite esperado e o conteúdo encontrado através da equação de regressão para os produtos lácteos "A" e "B" (TABELA 12). Essa discrepância poderia ser atribuída a alterações na composição original introduzidas pela indústria com o intuito de reduzir os custos de produção, naturalmente amparada na dificuldade técnica de se detectar tal alteração.

Já para o produto lácteo "C", um produto à base de extraído de soja em pó, como consta na sua embalagem, foi obtido um teor de proteína de leite de 18,50%; sem dúvida uma superestimação do conteúdo de leite, porém mais próximo do esperado em relação aos valores obtidos para os produtos "A" e "B" (TABELA 12).

Não foi possível conferir os resultados obtidos para os produtos "D", "E", "F" e "G" por não dispormos das informações confidenciais dos fabricantes. É interessante ressaltar, porém, que os produtos "F" e "G" são produtos basicamente idênticos na sua formulação, diferenciando-se apenas no sabor. Portanto, não foi surpreendente o fato da equação de regressão ter lançado valores semelhantes para os mesmos.

## 2. Produtos Cárneos

As medianas dos valores da composição em gramas de proteína de carne por 100 gramas de proteína total encontradas por meio de cada curva-padrão utilizando o método manual, estão apresentadas na TABELA 13.

Segundo informação do fabricante, a salsicha "C" deveria conter 52,13% e a mortadela "H" 76,50% de proteína de carne respectivamente. Porém, através da equação de regressão obteve-se os seguintes valores: 63,07; 65,89 e 67,88% na determinação do conteúdo de proteína de carne da salsicha "C" usando as curvas-padrão I, II e III respectivamente. Isto significa erros absolutos de 10,94; 13,76 e 15,75% para essa salsicha. Para a mortadela "H" obteve-se 73,12; 77,05 e 79,63% de proteína de carne, contra o esperado de 76,50%, que significam erros absolutos de 3,38; 0,55 e 3,13% através das curvas-padrão I, II e III respectivamente.

TABELA 13 - Mediana dos valores obtidos para os produtos cárneos em gramas de proteína de carne por 100 gramas de proteína total<sup>(a)}</sup>.

Produto	Equação de Regressão						Análise Discriminante			Esperado	
	(quadruplicata)			(duplicata)			Curva-padrão (d)				
	Curva-padrão <sup>(d)</sup>			Curva-padrão <sup>(d)</sup>			I	II	III		
	I	II	III	I	II	III					
Salsicha A	65,59	66,41	67,54	79,19	72,48	74,61	66,37	61,16	66,79	-	
Salsicha B	85,79	93,33	95,82	85,45	87,81	90,10	100,00	80,76	100,00	-	
Salsicha C	63,07	65,89	67,88	71,50	70,85	73,34	66,37	61,16	59,01	52,13	
Salsicha D	86,09	85,14	87,85	84,73	86,09	88,14	100,00	80,76	100,00	-	
Salsicha E	85,68	74,26	76,30	85,99	74,57	76,72	73,38 - 81,19 <sup>(b)</sup>	61,16	100,00		
Salsicha F	79,36	77,61	79,95	85,05	81,66	83,72	(90,01)-100,00 <sup>(c)</sup>	80,76	100,00	-	
Mortadela G	72,38	76,91	81,19	68,14	69,87	73,38	81,19	80,76	86,79	-	
Mortadela H	73,12	77,05	79,63	72,63	79,60	83,09	73,38 - 81,19 <sup>(b)</sup>	61,16	66,79	76,50	
Hamburguer I	73,54	76,59	78,56	70,99	71,06	75,63	73,38	61,16	66,79	-	
Almôndegas J	77,84	79,32	81,50	78,56	80,26	82,44	73,38	61,16	75,90	-	

(a) Os dados que originaram estas medianas são apresentados nos ANEXOS XI, XII e XIII.

(b) Os "scores" das amostras situavam-se entre os "scores" de dois grupos da curva-padrão, podendo a média aritmética dos valores ser usada como valor único.

(c) O "score" da amostra situava-se entre os "scores" de dois grupos da curva-padrão, com maior tendência ao valor sem parênteses.

(d) Os romanos I e III referem-se a curvas diferentes levantadas com carnes industriais de origens diferentes (I e II) mais farinha de soja texturizada seca, enquanto que II refere-se a curva com carne industrial II mais soja texturizada hidratada.

- Análise Computadorizada

1. Análise de Variância Multivariada (MANOVA)

1.1. MANOVA dos Produtos Lácteos

Um passo preliminar na análise discriminante é a constatação ou rejeição da hipótese da igualdade das médias (níveis de proteína que caracterizam os grupos). Rejeição da hipótese de igualdade das médias significa que, evidentemente trata-se da discriminação de grupos estatisticamente diferentes.

A farinha de soja texturizada acrescentada ao leite desnatado em pó nos diversos níveis influí significativamente no perfil aminoacídico da mistura, confirmado pela rejeição da hipótese de igualdade das médias dos sete grupos para os produtos lácteos. A hipótese de igualdade de dispersão, uma condição que poderia ou não ser rejeitada sem afetar o resultado da análise discriminante, foi também rejeitada.

Comparando-se os valores do teste F univariado (TABELA 14) obteve-se a seguinte tendência decrescente do poder discriminante das variáveis tomadas individualmente: glicina, metionina, prolina, arginina, ácido aspártico e cistina.

TABELA 14 - Valores do teste F univariado nas misturas-padrão leite-soja.

Variáveis	Valores F
1 (Asp)	16,38
2 (Pro)	67,32
3 (Gly)	283,30
4 (Cys)	7,28
5 (Met)	170,71
6 (Arg)	57,94

É interessante observar que a combinação de aminoácidos (subgrupo) que apresentou o maior valor discriminante multivariado (TABELA 15) não foi necessariamente composto pelos aminoácidos que individualmente tiveram os maiores valores F univariados (TABELA 14).

TABELA 15 - Valores da discriminação "overall" nas misturas-padrão de leite-soja obtidos através da análise multivariada.

Subgrupos	Valor Discriminante "overall"
1, 2, 3, 4 (Asp, Pro, Gly, Cys)	11,79
1, 3, 4, 5 (Asp, Gly, Cys, Met)	12,92
1, 2, 4, 5 (Asp, Pro, Cys, Met)	10,29
1, 2, 3, 5 (Asp, Pro, Gly, Met)	11,86
2, 3, 4, 5 (Pro, Gly, Cys, Met)	13,44
1, 2, 3, 6 (Asp, Pro, Gly, Arg)	14,29
1, 3, 4, 6 (Asp, Gly, Cys, Arg)	15,18
1, 2, 4, 6 (Asp, Pro, Cys, Arg)	10,46
1, 2, 5, 6 (Asp, Pro, Met, Arg)	11,30
1, 3, 5, 6 (Asp, Gly, Met, Arg)	14,44
1, 4, 5, 6 (Asp, Cys, Met, Arg)	11,69
2, 3, 4, 6 (Pro, Gly, Cys, Arg)	11,39
2, 3, 5, 6 (Pro, Gly, Met, Arg)	12,35
2, 4, 5, 6 (Pro, Cys, Met, Arg)	10,10
3, 4, 5, 6 (Gly, Cys, Met, Arg)	12,20

### 1.2. MANOVA dos Produtos Cárneos

Pela análise de variância multivariada foram rejeitadas as hipóteses de igualdade de médias dos grupos e a hipótese de igualdade de dispersão entre os grupos para as três curvas-padrão de carne-soja.

Pode-se notar pelos dados da TABELA 16 que é relevante a contribuição da metionina (maiores valores de F univariado) para a diferenciação dos grupos, seguida pelos aminoácidos alanina, lisina, serina e glicina. Os valores da discriminação "overall" (TABELA 17) indicaram o subgrupo composto por glicina, alanina, metionina e lisina para as curvas-padrão I e II de carne-soja e o subgrupo serina, alanina, metionina e lisina para a curva-padrão III como aqueles de maior poder de discriminação. É interessante observar que os subgrupos de maior valor discriminante "overall" foram quase idênticos para as três curvas-padrão, notando-se apenas a troca de glicina por serina na curva III (TABELA 17). Como aconteceu na curva-padrão de leite-soja, os subgrupos com maiores valores de discriminação "overall" não foram necessariamente compostos por aqueles aminoácidos que apresentaram os maiores valores do teste F univariado.

TABELA 16 - Valores do teste F univariado nas misturas-padrão de carne-soja.

Variáveis	Valores de F		
	Curva-padrão I	Curva-padrão II	Curva-padrão III
1 (Ser)	10,72	23,52	15,93
2 (Gly)	44,08	9,83	4,34
3 (Ala)	60,69	8,08	81,72
4 (Met)	100,75	106,76	119,13
5 (Lys)	9,98	32,05	31,56

TABELA 17 - Valores da discriminação "overall" nas misturas-padrão de carne-soja obtidos através da análise multivariada.

Subgrupos	Valor Discriminante "overall"		
	Curva Pa drão I	Curva Pa drão II	Curva Pa drão III
1, 2, 3, 4, (Ser, Gly, Ala, Met)	11,30	6,53	10,64
1, 3, 4, 5 (Ser, Ala, Met, Lys)	11,11	6,71	12,43
1, 2, 4, 5 (Ser, Gly, Met, Lys)	9,81	7,98	7,86
1, 2, 3, 5 (Ser, Gly, Ala, Lys)	5,98	4,48	9,88
2, 3, 4, 5 (Gly, Ala, Met, Lys)	12,29	8,12	10,02

## 2. Análise Discriminante

Como na análise de variância multivariada foram verificadas diferenças significativas entre os grupos testados, isto é, foram rejeitadas as hipóteses de igualdade das médias, procedeu-se a análise discriminante.

### 2.1. Dos Produtos Lácteos

Foram obtidas quatro funções discriminantes para cada subgrupo para o cálculo dos "scores". Das quatro, foi escolhida como caracterizante apenas a função F-1 devido ao fato das restantes serem estatisticamente insignificantes não trazendo maiores contribuições de importância teórica ou prática (ANEXO XV). O critério utilizado para a escolha foi a análise da porcentagem relativa do autovalor associado à função, isto é, escolheu-se aquela função que melhor explicava os dados analisados. Esse critério foi ainda confirmado pelos valores de Lambda de Wilks, que é uma medida inversa do poder de discriminação das variáveis originais.

O gráfico com os grupos classificados segundo as duas primeiras funções discriminantes fornecido pelo computador, confir-

mou a tendência de agrupamento ou a forte discriminação entre os grupos (ANEXO IV).

Comparando-se os "scores" obtidos para os grupos da curva-padrão e para as amostras e calculando-se a mediana dos valores encontrados pelos vários subgrupos para cada amostra, foram obtidas as composições em gramas de proteína de leite por 100 gramas de proteína total apresentada na TABELA 12 (p. 67).

Na análise discriminante observou-se diferenças nos teores de proteína de leite para os produtos "A" e "B" com relação aos teores esperados, já verificados através da equação de regressão e caberia aqui o mesmo comentário quanto à fabricação dos produtos. Para a amostra "C" foi obtido o conteúdo de 0% de proteína de leite pela análise discriminante através de dez dos quinze subgrupos utilizados (ANEXO X). Constatou-se pois, a concordância entre o conteúdo esperado (declarado na embalagem) e o conteúdo encontrado experimentalmente.

As medianas das porcentagens de proteína de leite nos produtos lácteos encontrados através da equação de regressão (método manual) mostraram uma superestimação, para os produtos "B", "C" e "E", em relação aos valores obtidos pela análise discriminante (TABELA 12, p. 67). As diferenças, que puderam ser observadas nas

medianas obtidas pelos dois métodos eram de se esperar, uma vez que através da equação de regressão não foram considerados os pesos de relevância de cada aminoácido. Por exemplo, o aminoácido cistina mostrou o mais baixo valor de F univariado (TABELA 14, p. 72), devido ao erro típico inherente na quantificação deste aminoácido e, portanto, a sua contribuição foi relativamente baixa na discriminação dos grupos dentre os aminoácidos na análise discriminante. No entanto, a contribuição da cistina foi automaticamente igual a dos outros aminoácidos caracterizantes no método da equação de regressão. Devido a esse fato, foi de interesse recalcular as medianas da TABELA 12 (p. 67), excluindo todos os subgrupos contendo a cistina; isto é, reduzindo o número de subgrupos de quinze para cinco (cinco aminoácidos combinados de quatro em quatro). Os resultados dessa nova estimativa aparecem nas colunas segunda e quarta da TABELA 12 (p. 67).

Em geral, podemos observar que quando a cistina foi incluída, o teste superestimou o teor de proteína de leite na formulação. Assim, incluindo a cistina, foi obtido um teor de 18,50% de proteína de leite para o produto "C" (produto sem proteína de leite). No entanto, excluindo a cistina dos cálculos, o conteúdo de proteína de leite encontrado no produto "C" foi abaixado para

2,21%. Outro resultado em consequência da exclusão do aminoácido cistina, foi o fato de apenas um ou dois subgrupos gerarem as medianas para os diversos produtos. Isto significa que os subgrupos não eliminados são função de classes de proteína envolvidas numa mistura e as representam mais do que quaisquer outros componentes que caracterizam produtos diferentes.

## 2.2. Dos Produtos Cárneos

Das quatro funções discriminantes disponíveis, foram escolhidas as funções F-1 das três curvas-padrão seguindo o mesmo critério usado com a curva-padrão para leite-soja (ANEXOS XVI, XVII e XVIII).

Os "scores" obtidos para os grupos das curvas-padrão foram comparados com os das amostras e subsequentemente determinadas as medianas, fornecendo as composições em gramas de proteína de carne por 100 gramas de proteína total apresentadas na TABELA 13 (p. 70).

Os teores de 66,37; 61,16 e 59,01% de proteína de carne encontrados através da análise discriminante para a salsicha "C" produziram erros absolutos de 14,24; 9,03 e 6,88% para as curvas-

padrão I, II e III respectivamente, quando comparados com o valor esperado de 52,13% de proteína de carne. No caso da mortadela "H", esse tipo de comparação foi dificultado por não se ter obtido valores discretos, e sim um intervalo de valores.

Comparando os resultados obtidos através das curvas-padrão I, II e III, constatou-se uma maior divergência entre aqueles provenientes da análise discriminante do que os provenientes da equação de regressão. Isto é, o teor de proteína de carne lançado pela equação de regressão para cada produto, não pareceu depender muito da curva-padrão utilizada. No entanto, os resultados lançados pela análise discriminante apresentaram uma maior variação entre si.

É interessante observar também que os valores encontrados por curvas (I e III) levantadas com duas carnes diferentes não foram muito discrepantes, embora existam diferenças significativas (nível de 1 e 5%) de alguns dos aminoácidos caracterizantes dessas carnes. Isto representaria uma vantagem prática seja qual for o método estatístico utilizado.

As diferenças encontradas nos teores de proteína de carne lançados através das curvas II e III, onde a única diferença foi a forma da soja acrescentada, não se esperaria que fossem devidas

às matérias-primas utilizadas e sim à metodologia estatística seguida.

A diferença nos teores de proteína de carne dos produtos encontrados através da curva-padrão II em relação àqueles obtidos pelas curvas-padrão I e III (TABELA 13, p.70) pode ser devida a dois fatores:

1. o emprego de um intervalo mais adequado para as amostras nas curvas I e III; e
2. o uso de incrementos maiores entre os diferentes grupos que geraram a curva II (ver Capítulo MATERIAIS E MÉTODOS, p.28).

Nos gráficos com os grupos classificados segundo as duas primeiras funções discriminantes, fornecidos pelo computador, pode-se observar a discriminação existente entre os grupos ou misturas de carne e soja. Essa discriminação foi aparentemente maior nas curvas onde os intervalos entre grupos foram maiores como no caso das misturas de leite-soja e carne-soja texturizada hidratada (ANEXOS IV e VI). O contrário pode ser observado nas curvas I e III de carne-soja (ANEXOS V e VII).

Comparando os resultados obtidos pelos dois métodos, o método da equação de regressão (manual) e o da análise discriminan-

te (computadorizado), poder-se-ia sugerir que a análise discriminante seria o método de escolha devido aos pesos estatísticos atribuídos às variáveis (onde as variáveis de maior poder caracterizante e menor erro intrínseco estão associadas a maiores pesos). É conveniente porém apreciar mais detalhadamente os resultados da equação de regressão, especialmente após observar os baixos pesos assinalados pelo computador à cistina. A eliminação deste aminoácido sulfurado do conjunto de variáveis no método manual aumentou consideravelmente a acurácia e simplicidade do mesmo.

O método da equação de regressão aplicado à análise de misturas protéicas poderia ser simplificado ainda mais reduzindo-se o número de determinações químicas. Esta possibilidade foi testada para todas as amostras tomando-se aleatoriamente duas das quatro replicatas. Os resultados são apresentados nas TABELAS 12. (p. 67) e 13 (p. 70) (duplicata).

### CONCLUSÕES

Através do presente método químico-estatístico será possível certificar a pureza protéica de produtos cárneos, lácteos e vegetais.

Este método permite também confirmação das porcentagens de soja acrescentadas a produtos cárneos, produtos lácteos e outros que porventura os órgãos de fiscalização do governo ou a própria indústria deseje fiscalizar.

O método foi desenvolvido para misturas protéicas binárias e, portanto, a aplicação do mesmo estará limitada a tais misturas. Na prática, porém, será possível aplicar este método a misturas ternárias, etc., para produtos tipo "lácteo" devido a dificuldade atual de se utilizar fontes protéicas (isto é, que contribuam significativamente na composição protéica da formulação) que não sejam ou leite ou solúveis de soja.

O método pode ser aplicado a misturas protéicas que têm sido submetidas a tratamento térmico considerável, pois a desnaturação térmica das proteínas não influí na análise.

A exatidão do método global, a julgar pelos resultados observados e pelos esperados, foi satisfatória desde que possibili<sub>tou</sub> a discriminação dos grupos dentro dos intervalos definidos. Com intervalos menores poder-se-ia esperar maior exatidão, porém seria necessário um maior número de determinações de aminoácidos para a curva-padrão. Aproveitando o mesmo programa utilizado neste método, poder-se-ia obter maior exatidão também aumentando o número de replicatas da curva-padrão e de cada amostra. Esta alternativa, porém, acarretaria a elevação do custo da análise.

Existe uma certa superioridade da Análise Discriminante sobre a Equação de Regressão com relação à exatidão dos resultados, baseando-se nos pesos estatísticos assinalados para cada um dos aminoácidos e no número de replicatas ou amostras que podem ser considerados simultaneamente. Todavia, a aplicação da Análise Discriminante implicaria custos mais elevados.

Numa primeira aproximação, visando a determinação rotineira da pureza dos produtos, determinações de aminoácidos em duplicata seriam suficientes para enquadrar uma mistura-problema na equação de regressão correspondente, simplificando assim o método e minimizando seu custo.

REFERÊNCIAS BIBLIOGRÁFICAS

ALAIS, C. Ciencia de la leche; principios de tecnica lechera.  
México, Continental, 1971. 549 p.

A.O.A.C. Official methods of analysis of the Association of  
Analytical Chemists. 12.ed. Washington, 1975.

A.O.A.C. Official methods of analysis of the Association of  
Analytical Chemists. 13.ed. Washington, 1980.

ARAÚJO-NETO, J.S.; COSTA-CARVALHO, V.L.A.; ARAÚJO, M.B.C. & PINTO,  
G.P. Application of a simple method to the characterization and  
differentiation of protein foods. Archivos Latinoamericanos de  
Nutrición, 24(3):340-353, 1979.

BADUI, S. & JOSEPHSON, R.V. Separation of commercial soybean-milk  
whey protein blends by electrophoresis and isoelectric focusing.  
Journal of Food Science, 39:1064-1065, 1974.

BAILEY, F. A novel approach to the determination of soya proteins in meat products using peptide analysis. *Journal of the Science of Food and Agriculture*, 27:827-830, 1976.

\_\_\_\_\_  
; LLEWELLYN, J.W.; HITCHCOCK, C.H.S. & DEAN, A.C. The determination of soya protein in meat products using peptide analysis and the characterization of the specific soya peptide used in the calculations. *Chemistry and Industry*, 13:477-478, 1978.

BECKMAN INSTRUMENTS. *Application notes*. 001. Hydrolizate analysis. 002. Physiological fluid analysis. Palo Alto, Spinco Division of Beckman Instruments, 1977. (Beckman 118/119 CL).

BELJAARS, P.R. & OLSMAN, W.J. Collaborative study on the detection of caseinate and soya protein isolate in meat products. *Annales de la Nutrition et de l'Alimentation*, 31:233-244, 1977.

BERGERON, M. & DURAND, P. Identification histologique des différents formes de soya dans les produits carnés. *Annales de la Nutrition et de l'Alimentation*, 31:261-270, 1977.

BLIGH, E.G. & DYER, W.J. A rapid method of total lipid extraction and purification. *Canadian Journal of Biochemistry and Physiology*, 37:911-917, 1959.

BRENNA, O.; CANTONI, C. & SONCINI, G. Note sull'identificazione della proteina di soia negli impasti carnei con elettroforesi su gel di poliacrilamide in presenza di sodio dodecilsolfato. *Industrie Alimentari*, 19(174):553-554, 1980.

CHIKUNI, K.; KOISHIKAWA, T.; NISHIO, S. & YOSHITAKE, M. Detection and quantitative determination of soy protein in sausages. *Food Science and Technology Abstracts*, 12(4):235, 1980.

CIA, G. & TAKAHASHI, G. Utilização de produtos não convencionais e subprodutos do abate em derivados de carne. In: *Curso Internacional sobre Tecnologia da Carne*, Campinas, Instituto de Tecnologia de Alimentos, 1978. p.22.1-22.8.

COOLEY, W.W. & LOHNES, P.R. *Multivariate Data Analysis*. New York, J. Wiley, 1971.

COOMARASWAMY, Y. & FLINT, F.O. The histochemical detection of soya "novel proteins" in comminuted meat products. *Analyst*, 98:542-545, 1973.

CUNNINGHAM, S.D.; DENMAN, P.J. & SANDERS, W.L. A simple and rapid method for estimation of concentration of textured soybean proteins in raw beef-soy blends. *Journal of Food Science*, 44:1326-1328, 1979.

DIPOA-BRASIL, Ministério da Agricultura. Regulamento da Inspeção Industrial e Sanitária de Produtos de Origem Animal. Brasília, 364p.

DOGUCHI, M. Preliminary report on the detection of foreign protein in adulterated milk products by means of disk electrophoresis and polarography. *Food Science and Technology Abstracts*, 5(3):152, 1973.

ELDRIDGE, A.C. Determination of soya protein in processed foods. *Journal of the American Oil Chemists' Society*, 3:483-485, 1981.

ELDRIDGE, A.C. & HOLMES, L.G. Evaluation of a fluorometric technique for quantitative determination of soy flour in meat-soy blends. *Journal of Food Science*, 44:763-764, 1979.

FISCHER, K.H.; BELITZ, H.D. & KLOOS, G. Studies on the detection of soybean protein in meat products. Detection of canavanine. *Food Science and Technology Abstracts*, 9(4):186, 1977.

FLAHERTY, B. Progress in the identification of non-meat food proteins. *Chemistry and Industry*, 12:495-497, 1975.

FLINT, F.O. & MEECH, M.V. Quantitative determination of texturized soya protein by a stereological technique. *Analyst*, 103:252-258, 1978.

\_\_\_\_\_ & LEWIN, Y.A. The histochemical demonstration of soya products in foodstuffs. *Journal of Food Technology*, 11:137-142, 1976.

FLORES, J. Control de calidad de los productos cárnicos. *Revista de Agroquímica y Tecnología de Alimentos*, 20(2):180-188, 1980.

FORMO, M.W.; HONOLD, G.R. & MacLEAN, D.B. Determination of soy products in meat-soy blends. *Journal of the Association of Official Analytical Chemists*, 57(4):841-846, 1974.

FREDHOLM, H. Detection and determination of pentoses and pentosans in meat products. A preliminary report. *Food Technology*, 21:197-198, 1967.

PROUTIN, A. Detection of soy proteins. *Journal of the American Oil Chemists' Society*, 51:188A, 1974.

GAFFNEY, J.; IRSA, A.; FRIEDMAN, L. & EMKEN, E.  $^{13}\text{C}$  -  $^{12}\text{C}$  analysis of vegetable oils, starches, proteins, and soy-meat mixtures. *Journal of Agricultural and Food Chemistry*, 27(3):475-478, 1979.

GILS, W.F. & HIDSKES, G.G. *Zeitschrift für Lebensmittel-Untersuchung und-Forschung*, 151:175, 1973. apud  
LLEWELLYN, J.W. & FLAHERTY, B. The detection and estimation of soya protein in food products by isoelectric focusing. *Journal of Food Technology*, 11:555-563, 1976.

GOMES, F.P. *Curso de Estatística Experimental.* 10.ed. São Paulo, Nobel, 1982. p.41-44.

GUY, R.C.E.; JAYARAM, R. & WILLCOX, C.J. Analysis of commercial soya additives in meat products. *Journal of the Science of Food and Agriculture,* 24:1551-1563, 1973.

\_\_\_\_\_ & WILLCOX, C.J. Analysis of soya proteins in commercial meat products by polyacrylamide gel electrophoresis of the proteins extracted in 8M - urea and 1% 2-mercaptoethanol. *Annales de la Nutrition et de l'Alimentation,* 31:193-200, 1977.

HERRMANN, C.; MERKL, C. & KOTTER, L. The problem of serological reactions for detecting foreign proteins in heated meat products. *Annales de la Nutrition et de l'Alimentation,* 31: 153-156, 1977a.

\_\_\_\_\_ ; THOMA, H. & KOTTER, L. Elimination of vegetable proteins in meat products by direct determination of muscle protein. *Annales de la Nutrition et de l'Alimentation,* 31:255-257, 1977b.

HIBBERT, I. & LAWRIE, R.A. Technical note: The identification of meat in food products. *Journal of Food Technology,* 7:333-335, 1972.

HOFMAN, K. Identification and determination of meat and foreign proteins by means of dodecyl sulphate polyacrylamide gel electrophoresis. *Annales de la Nutrition et de l'Alimentation*, 31:207-216, 1977.

HOMAYOUNFAR, H. Identification électrophorétique des protéines étrangères et en particulier des protéines de soja dans les produits alimentaires carnés frais ou en conserve. *Annales de la Nutrition et de l'Alimentation*, 31:187-192, 1977.

HSU, L.; CIAMPI, C.M.S.; DELAZARI, I.; LAZARINE, V.B.; GALVÃO, L.C.A. & FIGUEIREDO, I.B. Avaliação de qualidade de salsichas. *Boletim do Instituto de Tecnologia de Alimentos*, 53:93-107, 1977.

KAMM, L. Immunochemical quantitation of soybean protein in raw and cooked meat products. *Journal of the Association of Official Analytical Chemists*, 53(6):1248-1252, 1970.

KHAN, A.W. & COWEN, D.C. Rapid estimation of muscle proteins in beef-vegetable protein mixtures. *Journal of Agricultural and Food Chemistry*, 25(2):236-238, 1977.

KIM, Y.J. & PARK, J.L. Detection of soya bean milk in bovine milk gel-electrophoresis. *Food Science and Technology Abstracts*, 6(3):140, 1974.

KOH, T.Y. Immunochemical method for the identification and quantitation of cooked or uncooked beef and soya proteins in mixtures. *Canadian Institute of Food Science and Technology Journal*, 11(3):124-128, 1978.

KRAMLICH, W.E.; PEARSON, A.M. & TAUBER, F.W. *Processed meats*. Westport, AVI, 1973. p.137.

Legaõ Brasileira de Assistênciа. Estudo para formulação e elaboração de alimentos para grupos vulneráveis das populações marginais dos grandes centros urbanos do país. Campinas, Fundação Tropical de Pesquisas e Tecnologia, 1976.

LEE, Y.B.; RICKANSRUD, D.A.; HAGBERG, E.C. & BRISKEY, E.J. Quantitative determination of soybean protein in fresh and cooked meat-soy blends. *Journal of Food Science*, 40:380-383, 1975.

LEE, Y.B.; RICKANSRUD, D.A.; HAGBERG, E.C. & FORSYTHE, R.H. Detection of various non meat extenders in meat products. *Journal of Food Science*, 41:589-593, 1976.

LLEWELLYN, J.W.; DEAN, A.C.; SAWYER, R.; BAILEY, F.J. & HITCHCOCK, C.H.S. Technical note: The determination of meat and soya proteins in meat products by peptide analysis. *Journal of Food Technology*, 13:249-252, 1978.

\_\_\_\_\_ & FLAHERTY, B. The detection and estimation of soya protein in food products by isoelectric focusing. *Journal of Food Technology*, 11:555-563, 1976.

\_\_\_\_\_ & SAWYER, R. The application and limitation of immunochemical analysis in the estimation of soya protein in meat products. *Annales de la Nutrition et l'Alimentation*, 31:157-160, 1977a.

\_\_\_\_\_, & \_\_\_\_\_. Application and limitation of isoelectric focusing and high performance chromatography in the estimation of soya proteins in meat products. *Annales de la Nutrition et l'Alimentation*, 31:231-232, 1977b.

LINDQVIST, B.; OSTGREN, J. & LINDBERG, I. A method for the identification of denatured proteins in mixtures based on computer comparison of amino-acid patterns. *Zeitschrift für Lebensmittel-Untersuchung und-Forschung*, 159:15-22, 1975.

MORRISEY, P.A.; OLBRANTZ, K. & GREASER, M.L. A simple, sensitive enzymatic method for quantitation of soya proteins in soya-meat blends. *Meat Science*, 7:109-116, 1982.

NORMAN, G.A. Métodos rápidos para análise de carne e derivados. In: *Curso Internacional sobre Tecnologia da Carne*, Campinas, Instituto de Tecnologia de Alimentos, 1978. p.24.1-24.14.

OLSMAN, W.J. Methods for detection and determination of vegetable proteins in meat products. *Journal of the American Oil Chemists' Society*, 56:285-287, 1979.

ROUTEPEN, W.H.C. & LEEUWEN, C. van. *Zeitschrift für Lebensmittel-Untersuchung und-Forschung*, 141:253, 1969. apud LLEWELLYN, J.W. & FLAHERTY, B. The detection and estimation of soya protein in food products by isoelectric focusing. *Journal of Food Technology*, 11:555-563, 1976.

PARSONS, A.L. & LAWRIE, R.A. Quantitative identification of soya protein in fresh and heated meat products. *Journal of Food Technology*, 7:455-462, 1972.

POLI, G.; BALSARI, A.; PONTI, W.; CANTONI, C. & MASSARO, L. Crossover electrophoresis with indirect immunofluorescence in the detection of soy protein in heated products. *Journal of Food Technology*, 14:483-491, 1979.

POULTER, N.H. & LAWRIE, R.A. Rapid determination of the 3-methyl-histidine content of meat using l-fluoro-2,4-dinitrobenzene. *Meat Science*, 4:15-20, 1980a.

\_\_\_\_\_ & \_\_\_\_\_. The practical application of 3-methyl-histidine in determining the lean meat content of food products. *Meat Science*, 4:21-31, 1980b.

\_\_\_\_\_ ; RANGELEY, W.R.D. & LAWRIE, R.A. Methylaminoacids as robust unequivocal indices of lean meat in foods. *Annales de la Nutrition et l'Alimentation*, 31:245-254, 1977.

PRICE, J.F. & SCHWEIGERT, B.S. *The Science of meat and meat products.* 2.ed. San Francisco, W.H. Freeman, 1971. p.493.

RANGELEY, W.R.D. & LAWRIE, R.A. Methylaminoacids as indices in meat products. I. The development and validity of an analytical procedure. *Journal of Food Technology*, 11:143-159, 1976.

\_\_\_\_\_. & \_\_\_\_\_. Methylated aminoacids as indices in meat products. II. Further examination of protein sources and the practical application of methylaminoacids titres in predicting meat content. *Journal of Food Technology*, 12:9-27, 1977.

RICHARDSON, F.M. Separating meat and non meat proteins by disc electrophoresis. *Journal of the Association of Official Analytical Chemists*, 61(4):986-988, 1978.

SHELDRICK, B. Computer analysis of protein mixtures. *The Biochemical Journal*, 123:996, 1971.

SHIGA, K.; YOSHITAKE, M.; SATO, T. & SOMEYA, Y. Detection of soybean in milk-soybean mixed products. *Food Science and Technology Abstracts*, 11(11):166, 1979.

SKURRAY, G.R. & LYSAGHT, V.A. Rapid method for the determination of meat in food products. *Food Chemistry*, 3(2):111-114, 1978.

SMITH, A.K. & CIRCLE, S.J. *Soybeans: Chemistry and technology.* Westport, AVI, 1972. Vol.1. p.369.

SPACKMAN, D.H.; STEIN, W.H. & MOORE, S. Automatic Recording Apparatus for use in the chromatography of aminoacids. *Analytical Chemistry*, 30(3):1190-1206, 1958.

SPELL, E. Detection of milk proteins and soy proteins in meat products by means of vertical disc electrophoresis. *Food Science and Technology Abstracts*, 5(4):201, 1973.

Statistical Package for the Social Sciences: SPSS-10. Version 6.02 B. University of Pittsburgh, 1976.

TAKAHASHI, G. & CIA, G. Utilização de derivados da soja na fabricação de produtos cárneos. 1.ed. In: MIYASAKA, S. & MEDINA, J.C. eds. *A Soja no Brasil*. Campinas, 1981. p.885.

TATEO, F. La determinazione delle proteine di soia nei prodotti a base di carne: esperienze acquisite con il metodo elettroforetico di Parson-Lawrie. *La Rivista Italiana delle Sostanze Grasse*, 51:155-158, 1974.

VÄLAS-GELLEY, A. Detection of soya and milk proteins in the presence of meat proteins. *Acta Alimentaria*, 6(3):215-226, 1977.

WATT, B.K. & MERRILL, A.L. *Composition of foods: raw, processed, prepared.* Washington, United States Department of Agriculture, 1950. 147p. (Agriculture Handbook n°8).

8/  
36  
8.

ÍNDICE DE ANEXOS

ANEXO Nº	ASSUNTO	PÁGINA
I	Listagem do programa MANOVA.	102
II	Listagem do programa DISCRIMINANT.	107
III	Saída do programa MANOVA.	108
IV	Saída do programa DISCRIMINANT.	111
V	Gráfico da curva-padrão I de carne-soja.	123
VI	Gráfico da curva-padrão II de carne-soja.	124
VII	Gráfico da curva-padrão III de carne-soja.	125
VIII	Dados da equação de regressão (produtos lácteos).	126
IX	Dados da equação de regressão (produtos lácteos).	127
X	Dados da Análise discriminante (produtos lácteos).	128
XI	Dados da equação de regressão (produtos cárneos).	131
XII	Dados da equação de regressão (produtos cárneos).	132
XIII	Dados da análise discriminante (produtos cárneos).	133
XIV	Coeficientes de variação.	136
XV	Funções discriminantes (leite-soja).	137
XVI	Funções discriminantes (curva-padrão I de carne-soja).	139
XVII	Funções discriminantes (curva-padrão II de carne-soja).	140
XVIII	Funções discriminantes (curva-padrão III de carne-soja).	141



C PARA CALCULAR DAS .EX/F10 MANOVA.F10  
SUBROUTINE MATINV (A, M, DET)

C DIMENSION A(50,50)

D1 I=1,5

D1 J=1,5

D1 PVT=A(I,J)

D1 M=M- PVT \* PVT

D1 N=2,N=1,M

D1 A(I,J)=A(I,J)/ PVT

D1 L=1,5

D1 K=L+J-3,J=3

D1 A(L,J)

D1 A(L,J)=0,0

D1 S=1,I=1,M

D1 P(I-J)S=S,0

D1 A(L,I)=A(L,I)+P(I-J)\*T

D1 CONTINUE

D1 CONTINUE

D1 CONTINUE

D1 RETURN

D1 END

C Este PROGRAMA COMPUTA TESTES MULTIVARIADOS PARA H1 (IGUALDAD DE DISPENSAS) E H2 (IGUALDADE DOS CENTROS), TESTES F UNIVARIADOS PARA AS MEDIAS, ESTATÍSTICAS QUOTÍTATIVAS SELECCIONADAS E A W (DEVIACAO DOS GRUPOS) E T (TOTAL KUSTRAHL) MATRIZES REVERSIDADES PARA O PROGRAMA DE ANÁLISE DE DISCRIMINANOS. ESTAS MATRIZES SÃO DADAS NA FORMA DE TRIANGULAR SUPERIOR. O PROGRAMA PROCESSEARA ATÉ 50 VARIÁVEIS PARA QUALQUER NÚMERO DE GRUPOS.

C ESTRUTURA:

1. OS PRIMEIROS DEZ CARTÕES DE DADOS DARÃO UMA DESCRIÇÃO DO PROBLEMA EM UM TEXTO QUE SERÁ REPRODUZIDO NA SAÍDA. NÃO DEVE SE USAR A COLUNA UX.
2. CARTÃO DE CONTROLE (CARTÃO 11)
  - COLUNAS 1 = 2 M = NÚMERO DE VARIÁVEIS
  - COLUNAS 3 = 5 KG = NÚMERO DE GRUPOS
3. CARTÃO DE FORMATO (CARTÃO 12)
  - OS DADOS DE UM GRUPO DEVEREM SER PRESENTADOS POR UM CARTÃO DADO KG = NÚMERO DE CASOS DO GRUPO (COLS 1 = 5).
  - ASSIM, OS DADOS DEVEREM SER ARRANJADOS NO GRUPO E OS GRUPOS CONTADOS ANTES DO PROGRAMA PODER SER INICIADO.

A SAÍDA SERÁ NO FORMATO (10X,SE14,7 / (10X,SE14,7)), E É:

1. MEDIAS DOS GRUPOS SEGUIDAS PELAS GRANDES MEDIANAS

2. MATRIZ P

3. MATRIZ Q

4. MATRIZ INVERSA D

5. NECESSARIO O USO DA SUBROTINA MATINV

C DIMENSION A(50,50),T1T(10),B(50,50),C(50,50),  
2 I(50),U(50),V(50),X(50),D(50,50)

OPEN(UNIT=1,ACCESS='SEQUENTIAL',MODE='ASCII',DEVICE='DSK8')  
OPEN(UNIT=2,ACCESS='SEQUENTIAL',MODE='ASCII',DEVICE='DSK8')

ANEXO I

```

1  USEU(J,I,T27,ACCES=1,SEGUDUT,MODE=1,ASCII,DEVICE=1,BSKB)
2  TITEL(3,4)
3  TITEL(3,1) (3) ANALISE DE VARIANCA MULTIVARIADA)
4  DO 3 J = 1, 10
5  READ(S,5)      (TIT(K), K = 1, 16)
6  WRITE(3,1)      (TIT(K), K = 1, 16)
7  TITEL(1615)
8  READ(S,5)      N, KG
9  TITEL(12,13)
10  N = 1
11  KG = KG
12  DO 13 J = 1, 4
13  READ(S,6)      N, KG
14  TITEL(13,1) (1) ANALISE PARA   13, *VARIAVEIS E *,14,*GRUPOS*)
15  WRITE(3,3)
16  TDMAT(110,255H=====)
17  DO 7 J = 1, N
18  U(J) = 0.0
19  DO 7 K = 1, N
20  S(J,K) = 0.0
21  U(J,K) = 0.0
22  C(J,K) = 0.0
23  NK = 0.0
24  N10 = 0.0
25  N11 = 0.0
26  N12 = 0.0
27  N13 = 0.0
28  N14 = 0.0
29  N15 = 0.0
30  N16 = 0.0
31  N17 = 0.0
32  N18 = 0.0
33  N19 = 0.0
34  N20 = 0.0
35  N21 = 0.0
36  N22 = 0.0
37  N23 = 0.0
38  N24 = 0.0
39  N25 = 0.0
40  N26 = 0.0
41  N27 = 0.0
42  N28 = 0.0
43  N29 = 0.0
44  N30 = 0.0
45  N31 = 0.0
46  N32 = 0.0
47  N33 = 0.0
48  N34 = 0.0
49  N35 = 0.0
50  N36 = 0.0
51  N37 = 0.0
52  N38 = 0.0
53  N39 = 0.0
54  N40 = 0.0
55  N41 = 0.0
56  N42 = 0.0
57  N43 = 0.0
58  N44 = 0.0
59  N45 = 0.0
60  N46 = 0.0
61  N47 = 0.0
62  N48 = 0.0
63  N49 = 0.0
64  N50 = 0.0
65  N51 = 0.0
66  N52 = 0.0
67  N53 = 0.0
68  N54 = 0.0
69  N55 = 0.0
70  N56 = 0.0
71  N57 = 0.0
72  N58 = 0.0
73  N59 = 0.0
74  N60 = 0.0
75  N61 = 0.0
76  N62 = 0.0
77  N63 = 0.0
78  N64 = 0.0
79  N65 = 0.0
80  N66 = 0.0
81  N67 = 0.0
82  N68 = 0.0
83  N69 = 0.0
84  N70 = 0.0
85  N71 = 0.0
86  N72 = 0.0
87  N73 = 0.0
88  N74 = 0.0
89  N75 = 0.0
90  N76 = 0.0
91  N77 = 0.0
92  N78 = 0.0
93  N79 = 0.0
94  N80 = 0.0
95  N81 = 0.0
96  N82 = 0.0
97  N83 = 0.0
98  N84 = 0.0
99  N85 = 0.0
100  N86 = 0.0
101  N87 = 0.0
102  N88 = 0.0
103  N89 = 0.0
104  N90 = 0.0
105  N91 = 0.0
106  N92 = 0.0
107  N93 = 0.0
108  N94 = 0.0
109  N95 = 0.0
110  N96 = 0.0
111  N97 = 0.0
112  N98 = 0.0
113  N99 = 0.0
114  N100 = 0.0
115  N101 = 0.0
116  N102 = 0.0
117  N103 = 0.0
118  N104 = 0.0
119  N105 = 0.0
120  N106 = 0.0
121  N107 = 0.0
122  N108 = 0.0
123  N109 = 0.0
124  N110 = 0.0
125  N111 = 0.0
126  N112 = 0.0
127  N113 = 0.0
128  N114 = 0.0
129  N115 = 0.0
130  N116 = 0.0
131  N117 = 0.0
132  N118 = 0.0
133  N119 = 0.0
134  N120 = 0.0
135  N121 = 0.0
136  N122 = 0.0
137  N123 = 0.0
138  N124 = 0.0
139  N125 = 0.0
140  N126 = 0.0
141  N127 = 0.0
142  N128 = 0.0
143  N129 = 0.0
144  N130 = 0.0
145  N131 = 0.0
146  N132 = 0.0
147  N133 = 0.0
148  N134 = 0.0
149  N135 = 0.0
150  N136 = 0.0
151  N137 = 0.0
152  N138 = 0.0
153  N139 = 0.0
154  N140 = 0.0
155  N141 = 0.0
156  N142 = 0.0
157  N143 = 0.0
158  N144 = 0.0
159  N145 = 0.0
160  N146 = 0.0
161  N147 = 0.0
162  N148 = 0.0
163  N149 = 0.0
164  N150 = 0.0
165  N151 = 0.0
166  N152 = 0.0
167  N153 = 0.0
168  N154 = 0.0
169  N155 = 0.0
170  N156 = 0.0
171  N157 = 0.0
172  N158 = 0.0
173  N159 = 0.0
174  N160 = 0.0
175  N161 = 0.0
176  N162 = 0.0
177  N163 = 0.0
178  N164 = 0.0
179  N165 = 0.0
180  N166 = 0.0
181  N167 = 0.0
182  N168 = 0.0
183  N169 = 0.0
184  N170 = 0.0
185  N171 = 0.0
186  N172 = 0.0
187  N173 = 0.0
188  N174 = 0.0
189  N175 = 0.0
190  N176 = 0.0
191  N177 = 0.0
192  N178 = 0.0
193  N179 = 0.0
194  N180 = 0.0
195  N181 = 0.0
196  N182 = 0.0
197  N183 = 0.0
198  N184 = 0.0
199  N185 = 0.0
200  N186 = 0.0
201  N187 = 0.0
202  N188 = 0.0
203  N189 = 0.0
204  N190 = 0.0
205  N191 = 0.0
206  N192 = 0.0
207  N193 = 0.0
208  N194 = 0.0
209  N195 = 0.0
210  N196 = 0.0
211  N197 = 0.0
212  N198 = 0.0
213  N199 = 0.0
214  N200 = 0.0
215  N201 = 0.0
216  N202 = 0.0
217  N203 = 0.0
218  N204 = 0.0
219  N205 = 0.0
220  N206 = 0.0
221  N207 = 0.0
222  N208 = 0.0
223  N209 = 0.0
224  N210 = 0.0
225  N211 = 0.0
226  N212 = 0.0
227  N213 = 0.0
228  N214 = 0.0
229  N215 = 0.0
230  N216 = 0.0
231  N217 = 0.0
232  N218 = 0.0
233  N219 = 0.0
234  N220 = 0.0
235  N221 = 0.0
236  N222 = 0.0
237  N223 = 0.0
238  N224 = 0.0
239  N225 = 0.0
240  N226 = 0.0
241  N227 = 0.0
242  N228 = 0.0
243  N229 = 0.0
244  N230 = 0.0
245  N231 = 0.0
246  N232 = 0.0
247  N233 = 0.0
248  N234 = 0.0
249  N235 = 0.0
250  N236 = 0.0
251  N237 = 0.0
252  N238 = 0.0
253  N239 = 0.0
254  N240 = 0.0
255  N241 = 0.0
256  N242 = 0.0
257  N243 = 0.0
258  N244 = 0.0
259  N245 = 0.0
260  N246 = 0.0
261  N247 = 0.0
262  N248 = 0.0
263  N249 = 0.0
264  N250 = 0.0
265  N251 = 0.0
266  N252 = 0.0
267  N253 = 0.0
268  N254 = 0.0
269  N255 = 0.0
270  N256 = 0.0
271  N257 = 0.0
272  N258 = 0.0
273  N259 = 0.0
274  N260 = 0.0
275  N261 = 0.0
276  N262 = 0.0
277  N263 = 0.0
278  N264 = 0.0
279  N265 = 0.0
280  N266 = 0.0
281  N267 = 0.0
282  N268 = 0.0
283  N269 = 0.0
284  N270 = 0.0
285  N271 = 0.0
286  N272 = 0.0
287  N273 = 0.0
288  N274 = 0.0
289  N275 = 0.0
290  N276 = 0.0
291  N277 = 0.0
292  N278 = 0.0
293  N279 = 0.0
294  N280 = 0.0
295  N281 = 0.0
296  N282 = 0.0
297  N283 = 0.0
298  N284 = 0.0
299  N285 = 0.0
300  N286 = 0.0
301  N287 = 0.0
302  N288 = 0.0
303  N289 = 0.0
304  N290 = 0.0
305  N291 = 0.0
306  N292 = 0.0
307  N293 = 0.0
308  N294 = 0.0
309  N295 = 0.0
310  N296 = 0.0
311  N297 = 0.0
312  N298 = 0.0
313  N299 = 0.0
314  N300 = 0.0
315  N301 = 0.0
316  N302 = 0.0
317  N303 = 0.0
318  N304 = 0.0
319  N305 = 0.0
320  N306 = 0.0
321  N307 = 0.0
322  N308 = 0.0
323  N309 = 0.0
324  N310 = 0.0
325  N311 = 0.0
326  N312 = 0.0
327  N313 = 0.0
328  N314 = 0.0
329  N315 = 0.0
330  N316 = 0.0
331  N317 = 0.0
332  N318 = 0.0
333  N319 = 0.0
334  N320 = 0.0
335  N321 = 0.0
336  N322 = 0.0
337  N323 = 0.0
338  N324 = 0.0
339  N325 = 0.0
340  N326 = 0.0
341  N327 = 0.0
342  N328 = 0.0
343  N329 = 0.0
344  N330 = 0.0
345  N331 = 0.0
346  N332 = 0.0
347  N333 = 0.0
348  N334 = 0.0
349  N335 = 0.0
350  N336 = 0.0
351  N337 = 0.0
352  N338 = 0.0
353  N339 = 0.0
354  N340 = 0.0
355  N341 = 0.0
356  N342 = 0.0
357  N343 = 0.0
358  N344 = 0.0
359  N345 = 0.0
360  N346 = 0.0
361  N347 = 0.0
362  N348 = 0.0
363  N349 = 0.0
364  N350 = 0.0
365  N351 = 0.0
366  N352 = 0.0
367  N353 = 0.0
368  N354 = 0.0
369  N355 = 0.0
370  N356 = 0.0
371  N357 = 0.0
372  N358 = 0.0
373  N359 = 0.0
374  N360 = 0.0
375  N361 = 0.0
376  N362 = 0.0
377  N363 = 0.0
378  N364 = 0.0
379  N365 = 0.0
380  N366 = 0.0
381  N367 = 0.0
382  N368 = 0.0
383  N369 = 0.0
384  N370 = 0.0
385  N371 = 0.0
386  N372 = 0.0
387  N373 = 0.0
388  N374 = 0.0
389  N375 = 0.0
390  N376 = 0.0
391  N377 = 0.0
392  N378 = 0.0
393  N379 = 0.0
394  N380 = 0.0
395  N381 = 0.0
396  N382 = 0.0
397  N383 = 0.0
398  N384 = 0.0
399  N385 = 0.0
400  N386 = 0.0
401  N387 = 0.0
402  N388 = 0.0
403  N389 = 0.0
404  N390 = 0.0
405  N391 = 0.0
406  N392 = 0.0
407  N393 = 0.0
408  N394 = 0.0
409  N395 = 0.0
410  N396 = 0.0
411  N397 = 0.0
412  N398 = 0.0
413  N399 = 0.0
414  N400 = 0.0
415  N401 = 0.0
416  N402 = 0.0
417  N403 = 0.0
418  N404 = 0.0
419  N405 = 0.0
420  N406 = 0.0
421  N407 = 0.0
422  N408 = 0.0
423  N409 = 0.0
424  N410 = 0.0
425  N411 = 0.0
426  N412 = 0.0
427  N413 = 0.0
428  N414 = 0.0
429  N415 = 0.0
430  N416 = 0.0
431  N417 = 0.0
432  N418 = 0.0
433  N419 = 0.0
434  N420 = 0.0
435  N421 = 0.0
436  N422 = 0.0
437  N423 = 0.0
438  N424 = 0.0
439  N425 = 0.0
440  N426 = 0.0
441  N427 = 0.0
442  N428 = 0.0
443  N429 = 0.0
444  N430 = 0.0
445  N431 = 0.0
446  N432 = 0.0
447  N433 = 0.0
448  N434 = 0.0
449  N435 = 0.0
450  N436 = 0.0
451  N437 = 0.0
452  N438 = 0.0
453  N439 = 0.0
454  N440 = 0.0
455  N441 = 0.0
456  N442 = 0.0
457  N443 = 0.0
458  N444 = 0.0
459  N445 = 0.0
460  N446 = 0.0
461  N447 = 0.0
462  N448 = 0.0
463  N449 = 0.0
464  N450 = 0.0
465  N451 = 0.0
466  N452 = 0.0
467  N453 = 0.0
468  N454 = 0.0
469  N455 = 0.0
470  N456 = 0.0
471  N457 = 0.0
472  N458 = 0.0
473  N459 = 0.0
474  N460 = 0.0
475  N461 = 0.0
476  N462 = 0.0
477  N463 = 0.0
478  N464 = 0.0
479  N465 = 0.0
480  N466 = 0.0
481  N467 = 0.0
482  N468 = 0.0
483  N469 = 0.0
484  N470 = 0.0
485  N471 = 0.0
486  N472 = 0.0
487  N473 = 0.0
488  N474 = 0.0
489  N475 = 0.0
490  N476 = 0.0
491  N477 = 0.0
492  N478 = 0.0
493  N479 = 0.0
494  N480 = 0.0
495  N481 = 0.0
496  N482 = 0.0
497  N483 = 0.0
498  N484 = 0.0
499  N485 = 0.0
500  N486 = 0.0
501  N487 = 0.0
502  N488 = 0.0
503  N489 = 0.0
504  N490 = 0.0
505  N491 = 0.0
506  N492 = 0.0
507  N493 = 0.0
508  N494 = 0.0
509  N495 = 0.0
510  N496 = 0.0
511  N497 = 0.0
512  N498 = 0.0
513  N499 = 0.0
514  N500 = 0.0
515  N501 = 0.0
516  N502 = 0.0
517  N503 = 0.0
518  N504 = 0.0
519  N505 = 0.0
520  N506 = 0.0
521  N507 = 0.0
522  N508 = 0.0
523  N509 = 0.0
524  N510 = 0.0
525  N511 = 0.0
526  N512 = 0.0
527  N513 = 0.0
528  N514 = 0.0
529  N515 = 0.0
530  N516 = 0.0
531  N517 = 0.0
532  N518 = 0.0
533  N519 = 0.0
534  N520 = 0.0
535  N521 = 0.0
536  N522 = 0.0
537  N523 = 0.0
538  N524 = 0.0
539  N525 = 0.0
540  N526 = 0.0
541  N527 = 0.0
542  N528 = 0.0
543  N529 = 0.0
544  N530 = 0.0
545  N531 = 0.0
546  N532 = 0.0
547  N533 = 0.0
548  N534 = 0.0
549  N535 = 0.0
550  N536 = 0.0
551  N537 = 0.0
552  N538 = 0.0
553  N539 = 0.0
554  N540 = 0.0
555  N541 = 0.0
556  N542 = 0.0
557  N543 = 0.0
558  N544 = 0.0
559  N545 = 0.0
560  N546 = 0.0
561  N547 = 0.0
562  N548 = 0.0
563  N549 = 0.0
564  N550 = 0.0
565  N551 = 0.0
566  N552 = 0.0
567  N553 = 0.0
568  N554 = 0.0
569  N555 = 0.0
570  N556 = 0.0
571  N557 = 0.0
572  N558 = 0.0
573  N559 = 0.0
574  N560 = 0.0
575  N561 = 0.0
576  N562 = 0.0
577  N563 = 0.0
578  N564 = 0.0
579  N565 = 0.0
580  N566 = 0.0
581  N567 = 0.0
582  N568 = 0.0
583  N569 = 0.0
584  N570 = 0.0
585  N571 = 0.0
586  N572 = 0.0
587  N573 = 0.0
588  N574 = 0.0
589  N575 = 0.0
590  N576 = 0.0
591  N577 = 0.0
592  N578 = 0.0
593  N579 = 0.0
594  N580 = 0.0
595  N581 = 0.0
596  N582 = 0.0
597  N583 = 0.0
598  N584 = 0.0
599  N585 = 0.0
600  N586 = 0.0
601  N587 = 0.0
602  N588 = 0.0
603  N589 = 0.0
604  N590 = 0.0
605  N591 = 0.0
606  N592 = 0.0
607  N593 = 0.0
608  N594 = 0.0
609  N595 = 0.0
610  N596 = 0.0
611  N597 = 0.0
612  N598 = 0.0
613  N599 = 0.0
614  N600 = 0.0
615  N601 = 0.0
616  N602 = 0.0
617  N603 = 0.0
618  N604 = 0.0
619  N605 = 0.0
620  N606 = 0.0
621  N607 = 0.0
622  N608 = 0.0
623  N609 = 0.0
624  N610 = 0.0
625  N611 = 0.0
626  N612 = 0.0
627  N613 = 0.0
628  N614 = 0.0
629  N615 = 0.0
630  N616 = 0.0
631  N617 = 0.0
632  N618 = 0.0
633  N619 = 0.0
634  N620 = 0.0
635  N621 = 0.0
636  N622 = 0.0
637  N623 = 0.0
638  N624 = 0.0
639  N625 = 0.0
640  N626 = 0.0
641  N627 = 0.0
642  N628 = 0.0
643  N629 = 0.0
644  N630 = 0.0
645  N631 = 0.0
646  N632 = 0.0
647  N633 = 0.0
648  N634 = 0.0
649  N635 = 0.0
650  N636 = 0.0
651  N637 = 0.0
652  N638 = 0.0
653  N639 = 0.0
654  N640 = 0.0
655  N641 = 0.0
656  N642 = 0.0
657  N643 = 0.0
658  N644 = 0.0
659  N645 = 0.0
660  N646 = 0.0
661  N647 = 0.0
662  N648 = 0.0
663  N649 = 0.0
664  N650 = 0.0
665  N651 = 0.0
666  N652 = 0.0
667  N653 = 0.0
668  N654 = 0.0
669  N655 = 0.0
670  N656 = 0.0
671  N657 = 0.0
672  N658 = 0.0
673  N659 = 0.0
674  N660 = 0.0
675  N661 = 0.0
676  N662 = 0.0
677  N663 = 0.0
678  N664 = 0.0
679  N665 = 0.0
680  N666 = 0.0
681  N667 = 0.0
682  N668 = 0.0
683  N669 = 0.0
684  N670 = 0.0
685  N671 = 0.0
686  N672 = 0.0
687  N673 = 0.0
688  N674 = 0.0
689  N675 = 0.0
690  N676 = 0.0
691  N677 = 0.0
692  N678 = 0.0
693  N679 = 0.0
694  N680 = 0.0
695  N681 = 0.0
696  N682 = 0.0
697  N683 = 0.0
698  N684 = 0.0
699  N685 = 0.0
700  N686 = 0.0
701  N687 = 0.0
702  N688 = 0.0
703  N689 = 0.0
704  N690 = 0.0
705  N691 = 0.0
706  N692 = 0.0
707  N693 = 0.0
708  N694 = 0.0
709  N695 = 0.0
710  N696 = 0.0
711  N697 = 0.0
712  N698 = 0.0
713  N699 = 0.0
714  N700 = 0.0
715  N701 = 0.0
716  N702 = 0.0
717  N703 = 0.0
718  N704 = 0.0
719  N705 = 0.0
720  N706 = 0.0
721  N707 = 0.0
722  N708 = 0.0
723  N709 = 0.0
724  N710 = 0.0
725  N711 = 0.0
726  N712 = 0.0
727  N713 = 0.0
728  N714 = 0.0
729  N715 = 0.0
730  N716 = 0.0
731  N717 = 0.0
732  N718 = 0.0
733  N719 = 0.0
734  N720 = 0.0
735  N721 = 0.0
736  N722 = 0.0
737  N723 = 0.0
738  N724 = 0.0
739  N725 = 0.0
740  N726 = 0.0
741  N727 = 0.0
742  N728 = 0.0
743  N729 = 0.0
744  N730 = 0.0
745  N731 = 0.0
746  N732 = 0.0
747  N733 = 0.0
748  N734 = 0.0
749  N735 = 0.0
750  N736 = 0.0
751  N737 = 0.0
752  N738 = 0.0
753  N739 = 0.0
754  N740 = 0.0
755  N741 = 0.0
756  N742 = 0.0
757  N743 = 0.0
758  N744 = 0.0
759  N745 = 0.0
760  N746 = 0.0
761  N747 = 0.0
762  N748 = 0.0
763  N749 = 0.0
764  N750 = 0.0
765  N751 = 0.0
766  N752 = 0.0
767  N753 = 0.0
768  N754 = 0.0
769  N755 = 0.0
770  N756 = 0.0
771  N757 = 0.0
772  N758 = 0.0
773  N759 = 0.0
774  N760 = 0.0
775  N761 = 0.0
776  N762 = 0.0
777  N763 = 0.0
778  N764 = 0.0
779  N765 = 0.0
780  N766 = 0.0
781  N767 = 0.0
782  N768 = 0.0
783  N769 = 0.0
784  N770 = 0.0
785  N771 = 0.0
786  N772 = 0.0
787  N773 = 0.0
788  N774 = 0.0
789  N775 = 0.0
790  N776 = 0.0
791  N777 = 0.0
792  N778 = 0.0
793  N779 = 0.0
794  N780 = 0.0
795  N781 = 0.0
796  N782 = 0.0
797  N783 = 0.0
798  N784 = 0.0
799  N785 = 0.0
800  N786 = 0.0
801  N787 = 0.0
802  N788 = 0.0
803  N789 = 0.0
804  N790 = 0.0
805  N791 = 0.0
806  N792 = 0.0
807  N793 = 0.0
808  N794 = 0.0
809  N795 = 0.0
810  N796 = 0.0
811  N797 = 0.0
812  N798 = 0.0
813  N799 = 0.0
814  N800 = 0.0
815  N801 = 0.0
816  N802 = 0.0
817  N803 = 0.0
818  N804 = 0.0
819  N805 = 0.0
820  N806 = 0.0
821  N
```

```

30 FUMAT(61, DINHAI), EXE 9014, T = (100, 9014, 7)
*HAI(3,17)
31 FUMAT(17, INDIFUSOIS PADROES )
C
32 *HAI(3,16)      (V(J), J = 1, N)
33 CALL MATINV(A, N, DET)
34 *HAI(3,19)      DET
35 FUMAT(19, DIFERENCIANTE DISPERSAO = 614, 4)
36 M1 = M1 + ((ENG = 1, ) * ALUG (DET))
37 FAIS = FAIS + (1, / (ENG = 1, ))
38 GAI3 = GAI3 + (1, / ((ENG = 1, ) ** 2, ))
39 *HAI(3,9)

C
40 EN = N
41 DO 20 J = 1, N
42 DO 21 K = 1, N
43 A(J,K) = C(J,K) = T(J) * T(K) / EN
44 M10,J,K) = A(J,K)
45 U(J,K) = B(J,K) / (EN = EKG)
46 DO 21 J = 1, N
47 E(J) = T(J) / EN
48 U(J) = HURT(C(J,J))
49 *HAI(3,22)
50 FUMAT(27, 100FIDIAS PARA TOTAL AMOSTRAL)
51 *HAI(3,16)      ( T(J), J = 1, N)
52 A(J) = E(J) + 1
53 *HAI(3,30)      EKG, T(J), J = 1, N)
54 *HAI(3,23)
55 FUMAT(35, 100FIDIAS SAMPLES STANDARD DEVIATIONS )
56 *HAI(3,16)      ( U(J), J = 1, N)
57 *HAI(3,27)
58 *HAI(3,39)
59 FUMAT(30, MINIZ T)
60 DO 31 J = 1, N
61 *HAI(3,30)      J, (A(J,K), K = J, N)
62 *HAI(3,30)      J, (AL(J,K), K = J, N)
63 *HAI(3,9)
64 DO 35 J = 1, N
65 DO 36 K = 1, N
66 A(J,K) = A(J,K) + B(J,K)
67 A E AGORA A "MATRIZ = A" (ENTRE GRUPOS), B E AGORA A MATRIZ
68 ** (DENTRO DOS GRUPOS), C E AGORA AS ESTATISTICAS DE
69 DISPERSAO POURLES GRUPOS.

C
70 *HAI(3,28)
71 FUMAT(100, MATRIZ "A")
72 DO 73 J = 1, N
73 *HAI(3,30)      J, (A(J,K), K = J, N)
74 *HAI(3,9)

C
75 *HAI(3,31)
76 FUMAT(100, MATRIZ "B")
77 DO 78 J = 1, N
78 *HAI(3,30)      J, (B(J,K), K = J, N)
79 *HAI(3,30)      J, (B(J,K), K = J, N)
80 *HAI(3,9)

C
81 CALL MATINV(C, N, DET)
82 DO 93 J = 1, N

```



```

33  ARI15(3,30)      J3 = C(J,K), K = J3, N)
ARI15(3,14)      DLT
DLT(G = (EM - EK) + ALUG(DLT)
ALN = ALDNG + DL
E1 = S*(EK + 1.) + EM + (EM + 1.)
ALA = (VALS + (1. / (EN - EK))) * ((2. + (EM + EN)) + (3. +
C   E1) * T.)
A1 = ALA * (h. + (EK - 1.) * (EM + 1.))
A2 = (VALS + (1. / (EN - EK)) * 2.) * ((EN - 1.) * (EM + 2.))
C   / (2. + (EK - 1.))
DLR = A2 - A1 + A1
DT(018) 24,24,25
24  F1 = (F1 + 2.) / (A1 + A1 - A2)
S1 = F1 / (1. + A1 + (2. / F2))
F = (F1 + A14) / (F1 + (h. + XMH))
WH(10,45)
25  F2 = (F1 + 2.) / DIP
S1 = F1 / (1. + A1 + (F1 / F2))
F = XMH / S1
45  NDF1 = F1
NDF2 = F2
XH15(3,25)      XMH, F
26  FOKAT(* PARA TESTE DE H1 (IGUALDADE DE DISPERSAO), N = *,F10,4)
H = F = *,F10,3)
WH15(3,27)      NDF1, NDF2
27  FOR AT (1000PARA F, NDF1 = 13, 10H E NDF2 = 19)
XH15(3,3)
S1 = LK0 - 1.
S2 = LK - EKG
XH15(3,3)
XH15(3,30)      H1, N2
FOKAT(34)CTEST F UNIVARIADOSE COM NDF1 = 13, 10H E NDF2 = 19)
XH15(3,3)
XH15(3,31)
51  FOKAT(*O VARIABVEL SOM ENTRE      SOM DENTRO      TESTE F
     *    E TA QUADRADO*)
DO = 2 3 = 1, M
A150 = A(J,J) / (A(J,J) + B(J,J))
AM = A(J,J) / (EKG - 1.)
AM0 = h(J,J) / (EM - EKG)
F = RMS / AM0
52  XH15(3,41) J, RMS, WNS, F, ETASQ
FOKAT(38,13,5L,F9,2,7L,F9,2,6L,F7,2,10L,F5,4)
XH15(3,9)

60  CADN MATINV (R, N, DETT)
DET = O DETERMINANTE DA MATRIZ R
CALN MATINV (R, N, DETT)
DET = O DETERMINANTE DA MATRIZ T

65  AB = DETT / DETT
LB = 1. - AB
XH15(3,45)      XL, XL
FOKAT(17)NOVILS LAMBDA = F7,4,50H RAZAO DE CORRELACAO GENERAL
*IZADA, EIA QUADRADO = F5,4)
17 (M = 2) 47, 47, 49
47  17 (KG = 3) 48, 48, 49
48  LB = XL

```

```

48   F1 = 2,
49   F2 = 1.5 + 3,
50   G0 = 50
51   S0 = DORT (((FH * E1) + ((EKG * 1.5)*2)) * 4,) / ((CEN*EKG) +
52   ((EKG * 1.5)*2) * 2,) +
53   (X1 * 1.5 / S0)
54   F0 = (E1 + 1.5) * ((CEN + EKG) * 2.)
55   G1 = ((F1 + (EKG * 1.5)) * 2.) / 4,
56   H1 = (E1 * (EKG * 1.5)) / 2,
57   F1 = 2 * H1
58   F2 = (F1 + S0) + (2. + G0)
59   K1 = F1
60   K2 = F2
61   Z = ((L1 - YL) / YL) * (F2 / F1)
62   WRITE(3,51) Z
63   WRITE(3,52) K1, K2
64   WRITE(3,53) F1, F2
65   CLOSE(UNIT=3)
66   CLOSE(UNIT=3)
67   CLOSE(UNIT=7)
68   STOP
69

```

8-SEP-82 PAGE 1

UNIVERSITY OF PITTSBURGH, SPSS-10  
STATISTICAL PACKAGE FOR THE SOCIAL SCIENCES  
VERSION 6.02B (1 APRIL 1976)

SPACE ALLOCATION FOR THIS RUN:

TOTAL AMOUNT REQUESTED 10240 WORDS

DEFAULT TRANSPAGE ALLOCATION 1280 WORDS

MAX # OF TRANSFORMATIONS PERMITTED	42
MAX # OF INCLUDE VALUES	168
MAX # OF ARITHM. OR LOG. OPERATIONS	336

RESULTING WORKSPACE ALLOCATION 8960 WORDS

PAGESIZE	60
PUN NAME	ANALISE DISCRIMINANTE-LEITE
SURFILE LIST	A(4),B(4),C(4),D(4),E(4),F(4)
VARIABLE LIST	X1,X2,X3,X4
INPUT MEDIUM	DISCHI.DAT
INPUT FORMAT	FIXED(4(F10.6,1X))

ACCORDING TO YOUR INPUT FORMAT, VARIABLES ARE TO BE READ AS FOLLOWS:

VARIABLE RECORD COLUMNS PRINT FORMAT

X1	1	1	=	10	(5)
X2	1	12	=	21	(5)
X3	1	23	=	32	(5)
X4	1	34	=	43	(5)

THE INPUT FORMAT PROVIDES FOR 4 VARIABLES.  
IT PROVIDES FOR 1 RECORD(S) PER CASE.

VAR LABELS	X1, ASPARTIC/X2, PROLINE/X3, GLYCINE/X4, HAIL/CYSTINE
DISCRIMINANT	GROUPS=SUBFILES/VARIABLES=X1 TO X4/ANALYSIS=X1 TO X4
OPTIONS	5,0,7,9,11,12
STATISTICS	1,4,3,4,5,0,9

\*\*\*\*\* THIS DISCRIMINANT ANALYSIS REQUIRED 4769 WORDS OF WORKSPACE \*\*\*\*\*

\*STAKE USAH TECAL YARA (40024 40021) JUN 1234LE SKY. 7841 DATE DH-SFH-NZ 091822Z 30 MARCH FOR UNICAMP B-BEAVR1 0-STAR

\*STARTS USEK TECAL YARA (4002, 1002) JOB 1234LE SEN. 7841 DATE 08-SEP-82 092332ZC MONITOR UNXCAMP 4-SEASAT SATELLITE

\*START\* USEF TECAL YARA 14002, 40021 JOB 1234LR SEQ. 7841 DATE 08-SEP-82 09133130 MONITOR UNICAMP 6-DIGITS \*START\*

\*START\* USN LOCAL TAHU (1002,4002) JUB 12344LE SEQ. 7841 DATE 08-SEP-82 091331Z MINITAB U-14CAB S-DIAZOL ACTIVATED

\*START\* USR1 TECNU YAMA 14002, 60021 3UB F2418L 600 7544 DATE 08-08-02 00:13Z+30 MONITOR UNTCAMP A-DIAVOL ACTIVTY

\*START\* USER TECAL YARA (4002,4002) JOB 123456 SEQ. 7841 DATE 08-SEP-82 09:33:30 MONITOR UNICAMP B-DIA/DI \*START\*

\*STARTW USAH TECAL YASH [40002,4702] JUB 1984-01-01 00:00:00.000 DATE 09-SEP-82 09:43:30 MONDAY JULY 24, 1982



ANALISE DE VARIANCIA MULTIVARIADA

ESTUDO 1 FST X LEITE DESNATADO

GRUPO 1 = 10 G FST

GRUPO 2 = 100% LD

GRUPO 3 = 10G FST

GRUPO 4 = 12G FST

GRUPO 5 = 1G FST

GRUPO 6 = 3G FST

AS VARIAVEIS SAO: 1=ASPARTIC ACID 2= PROLINE

4=MALICYSTINE 5=METHIONINE

3=GLYCINE

6=ARGININE

VARIANCIAS USADAS: 1 2 3 4

ANALISE PARA VARIANCIAS 6 GRUPOS

GRUPO 1, DG = 3

QUOTIAS PARA GRUPO 1

0 0,11 0,05 0,04 0,01

DESVIOS PADROES

0 0,01 0,00 0,00 0,00

DETERMINANTE DISPERSAO = -0,5811E-21

GRUPO 2, DG = 3

QUOTIAS PARA GRUPO 2

0 0,08 0,09 0,02 0,00

DESVIOS PADROES

0 0,01 0,01 0,00 0,00

DETERMINANTE DISPERSAO = -0,4312E-27

GRUPO 3, DG = 3

QUOTIAS PARA GRUPO 3

0 0,12 0,05 0,03 0,01

DESVIOS PADROES

0 0,01 0,00 0,00 0,00

DETERMINANTE DISPERSAO = -0,2190E+20

GRUPO 4, DG = 3

QUOTIAS PARA GRUPO 4

0 0,11 0,05 0,03 0,01

DESVIOS PADROES

0 0,01 0,00 0,00 0,00

DETERMINANTE DISPERSAO = -0,1028E-28

GRUPO 5, DG = 4

QUOTIAS PARA GRUPO 5

0 0,10 0,07 0,03 0,01

DESVIOS PADROES

0 0,01 0,00 0,00 0,00

DETERMINANTE DISPERSAO = -0,2312E+21

GRUPO 6, DG = 4

QUOTIAS PARA GRUPO 6

0 0,13 0,08 0,02 0,01

DESVIOS PADROES

0 0,01 0,00 0,00 0,00

DETERMINANTE DISPERSAO = -0,2233E+27



OPERAIS PARA TUTAU AUSTRAIS

0,610	0,00	0,73	0,01
OPERAIS-EA-ATLCS STANDARD DEVIATIONS			
0,01	0,00	0,01	0,00

OPERAIS F

LIMA 1	0,196978E+02	-0,1453945E+02	0,2080693E+02	0,3605953E+03
LIMA 2	0,4275353E+02	-0,2311819E+02	-0,4529704E+03	
LIMA 3	0,1170084E+02	0,3579830E+03		
LIMA 4	0,4996160E+01			

OPERAIS "A"

LIMA 1	0,3283799E+02	-0,1307338E+02	0,2133054E+02	0,4556825E+03
LIMA 2	0,3723933E+02	-0,2336897E+02	-0,4860383E+03	
LIMA 3	0,1161923E+02	0,2464223E+03		
LIMA 4	0,3262990E+01			

OPERAIS "B"

LIMA 1	0,1767785E+03	-0,1492962E+03	0,5295884E+04	-0,9508722E+04
LIMA 2	0,7526237E+13	0,2507734E+04	0,3386791E+04	
LIMA 3	0,1370522E+31	0,1110271E+04		
LIMA 4	0,2913470E+03			

OPERAIS ALFA

OPERAIS ALFA = 0,3138E+21  
 PAIR TUTAU NO H1 (IGNORANDO OS DISPUTADOS), N = 230,428 E F = 1,710 \*\*\*  
 OPERAIS F, NDF1 = 50 E NDF2 = 534

OPERAIS

TESTE F UNIVARIADO, COR NDF1 = 5 E NDF2 = 18

OPERAIS

OPERAIS	SUM FATOR	SUM DENTRO	FATICO F	ETA QUADRADO
1	0,00	0,00	10,38 **	,8199
2	0,00	0,00	67,32 **	,9492
3	0,00	0,00	283,30 **	,9875
4	0,00	0,00	2,28 **	,6691

OPERAIS ALFA = 0,2032 BASEADA DE CORRELACAO GENERALIZADA, ETA QUADRADO = ,9968

TESTE F PARA H2, DISCRIMINACAO OVERALL, = 11,79 \*\*\*

NDF1 = 20 E NDF2 = 50



\*STANTS USER TELCALL KARA 11002, 40033 JUB 123416 SEC. 7B42 DATE 08-SEP-84 09331009 MONITOR UNICAMP E-03401 ACTIVATED

\*START\* USEP TECAL YARA (40002,40023) J08 1234LE 88Q 7812 DATE 08-SCP-82 094307109 MONITOR UNICAMP 0-01001 RESTART

\*START# USER TECAL YARA (4002, 40021) JOB: 1234LE SEQ: 7842 DATE: 08-SEP-84 09:37:09 MONITOR UNICAMP 6.0IAVOL \*START#

\*START\* USER TICAL YARA 14002,40021 DUB 1234LE SEQ 7842 DATE 09-SEP-92 09132100 BOMTIRI H-TEARD 6 GRANZ -FRE

\*STARTS USEP TECAL YARA (4002,4002) JOB 1234LE SEQ. 7842 DATE 08-SEP-82 09:37:09 MONITOR UNIT#04 S 01001 -

\*STARTS USER TECAL YARA (40021,40021) JOB 1234LE SEQ. 7842 DATE 09-SEP-82 09:37:00 SUBMITTER UNKNOWN & OWNER UNKNOWN

\*STARTS USER TECAL YARA (4002 4002) JUB 12:48E SEC. 7842 DATE 08-SEP-82 09:37109 MONITOR UNICAMP S-DIASOL -START-

\*START\* USER TECAL YARA (4002 4002) JOB 1214LE SEQ. 7812 DATE 08-SEP-82 091317GS MONITOR UNICAMP B-DIAZOL ESTANTE

UNIVERSITY OF PITTSBURGH, 8P55-10  
 STATISTICAL PACKAGE FOR THE SOCIAL SCIENCES  
 VERSION 6.02B (1 APRIL 1976)

S-SCP-82 PAGE 10

SPACE ALLOCATION FOR THIS RUN:

TOTAL AMOUNT REQUESTED 10240 WORDS

DEFAULT TRANSPACE ALLOCATION 1280 WORDS

MAX # OF TRANSFORMATIONS PERMITTED	43
MAX # OF REDUCE VALUES	168
MAX # OF ARITHM. OR LOG. OPERATIONS	336

RESULTING WORKSPACE ALLOCATION 8960 WORDS

PAGESIZE	60
PROG NAME	ANALISE DISCRIMINANTE-LEITE
SUBFILE LIST	A(4),B(4),C(4),D(4),E(4),F(4)
VARIABLE LIST	X1,X2,X3,X6
INPUT MEDIUM	DISCHL.DAT
INPUT FORMAT	FIXED(4,10,6,1X3)

ACCORDING TO YOUR INPUT FORMAT, VARIABLES ARE TO BE READ AS FOLLOWS:

VARIABLE RECORD COLUMNS PRINT FORMAT

X1	1	1 = 10	(5)
X2	1	12 = 21	(5)
X3	1	23 = 32	(5)
X4	1	34 = 43	(5)

THE INPUT FORMAT PROVIDES FOR 4 VARIABLES,  
 IT PROVIDES FOR 1 RECORD(S) PER CASE.

VAR LABELS	X1, ASPARTIC/X2, PROLINE/X3, GLYCINE/X4, HAIL/CYSTINE
DISCRIMINANT	GROUPS<SUBFILES/VARIABLES=X1 TO X4/ANALYSES=X1 TO X6
OPTIONS	S,6,7,9,11,13
STATISTICS	1,2,3,4,5,6,9

Note: THIS DISCRIMINANT ANALYSIS REQUIRES 4209 WORDS OF WORKSPACE \*\*\*\*\*



## ANALISE DISCRIMINANTE-LOITE

FILE: KONA-E (CREATION DATE = 8-SEP-82)  
 SUBFILE A B C D E F

GROUP=62

PAGE 2

## GROUP COUNTS

	GROUP 1 SUBFILE A	GROUP 2 SUBFILE B	GROUP 3 SUBFILE C	GROUP 4 SUBFILE D	GROUP 5 SUBFILE E	GROUP 6 SUBFILE F	TOTAL
COUNT	4,0000	4,0000	4,0000	4,0000	4,0000	4,0000	24,0000

## MEANS

	GROUP 1 SUBFILE A	GROUP 2 SUBFILE B	GROUP 3 SUBFILE C	GROUP 4 SUBFILE D	GROUP 5 SUBFILE E	GROUP 6 SUBFILE F	TOTAL
X1	0,1197	0,0814	0,1166	0,1074	0,1017	0,0956	0,1041
X2	0,0160	0,0873	0,0521	0,0600	0,0669	0,0764	0,0648
X3	0,0179	0,0170	0,0340	0,0315	0,0280	0,0230	0,0286
X4	0,0070	0,0032	0,0073	0,0077	0,0068	0,0056	0,0063

## STANDARD DEVIATIONS

	GROUP 1 SUBFILE A	GROUP 2 SUBFILE B	GROUP 3 SUBFILE C	GROUP 4 SUBFILE D	GROUP 5 SUBFILE E	GROUP 6 SUBFILE F	TOTAL
X1	0,0079	0,0052	0,0071	0,0063	0,0076	0,0051	0,0145
X2	0,0013	0,0076	0,0031	0,0013	0,0012	0,0016	0,0147
X3	0,0014	0,0008	0,0005	0,0008	0,0012	0,0004	0,0072
X4	0,0010	0,0010	0,0010	0,0009	0,0021	0,0012	0,0020

8

## WILKS' LAMBDA (U-STATISTIC) AND UNIVARIATE F-RATIO WITH 5 AND 18 DEGREES OF FREEDOM

VARIABLE WILKS' LAMBDA F

	WILKS' LAMBDA	F
X1	0,1302	16,3819
X2	0,0508	67,3180
X3	0,0175	283,2952
X4	0,3309	7,2808



## ANALISE DISCRIMINANTE-LEITE

8-SEP-82

PAGE 3

## WITHIN GROUPS COVARIANCE MATRIX

	X1	X2	X3	X4
X1	0,0039			
X2	-0,0039	0,0000		
X3	-0,0000	0,0000	0,0000	
X4	-0,0000	0,0000	0,0000	0,0000

## WITHIN GROUPS CORRELATION MATRIX

	X1	X2	X3	X4
X1	1,0000			
X2	-0,3137	1,0000		
X3	-0,4655	0,4106	1,0000	
X4	-0,5919	0,3904	0,5498	1,0000

## TOTAL COVARIANCE MATRIX

	X1	X2	X3	X4
X1	0,0002			
X2	-0,0002	0,0002		
X3	0,0001	-0,0001	0,0001	
X4	0,0000	-0,0000	0,0000	0,0000

ANALISE DISCRIMINANTE-LOGIT

PROGRAM=3 PAGE = 4

FILE : NONAME (CREATION DATE = 8-SEP-82)  
SUBFILE A B C D E F

DISCRIMINANT ANALYSIS

ANALYSIS NUMBER 1

SOLUTION METHOD = DIRECT.

PRIOR PROBABILITIES

GROUP 1	GROUP 2	GROUP 3	GROUP 4	GROUP 5	GROUP 6
SUBFILE A					
0.16667	0.16667	0.16667	0.16667	0.16667	0.16667

DISCRIMINANT FUNCTION	EIGENVALUE	RELATIVE PERCENTAGE	CANONICAL CORRELATION	FUNCTIONS DERIVED	WILKS' LAMBDA	CHI-SQUARE	DF	SIGNIFICANCE
1	185.27294	99.68	0.997	0	0.0032	183.380	20	0.999
2	0.32569	0.28	0.587	1	0.6064	9.003	52	0.703
3	0.05631	0.04	0.231	2	0.9252	1.399	6	0.966
4	0.02299	0.01	0.150	3	0.9775	0.402	2	0.915

REMAINING COMPUTATIONS WILL BE BASED ON 4 DISCRIMINANT FUNCTION(S)

STANDARDIZED DISCRIMINANT FUNCTION COEFFICIENTS

	FUNC 1	FUNC 2	FUNC 3	FUNC 4
X1	-0.73320	-1.54574	1.44675	-1.32573
X2	0.10232	-0.34835	-1.25693	-3.87468
X3	-0.72928	2.45109	-2.45591	-3.17976
X4	-0.03136	-1.81193	-0.10915	0.76097

UNSTANDARDIZED DISCRIMINANT FUNCTION COEFFICIENTS

	FUNC 1	FUNC 2	FUNC 3	FUNC 4
X1	-5.72510	-100.16419	99.45302	-91.13778
X2	13.75152	-23.48191	-85.44761	-263.41212
X3	-101.95918	342.08319	-443.38459	-444.55768
X4	-0.74209	-931.29109	-55.47984	386.92042
CONSTANT	2.02333	6.64041	5.34942	36.80239



## ANALISE DISCRIMINANTE-LEITE

N=35P=32

PAGE 3

## CENTROIDS OF GROUPS IN REDUCED SPACE

	FUNC 1	FUNC 2	FUNC 3	FUNC 4
GROUP 1	-1.30180	0.77598	-0.12164	-0.13322
SUFILE	A			
GROUP 2	1.62070	0.77558	-0.02646	0.08400
SUFILE	B			
GROUP 3	-0.80157	-0.03219	0.40641	0.14913
SUFILE	C			
GROUP 4	-0.34023	-0.52222	-0.33640	0.19513
SUFILE	D			
GROUP 5	0.09272	-0.43978	-0.03600	-0.16568
SUFILE	E			
GROUP 6	0.77317	-0.55712	0.11213	-0.12935
SUFILE	F			

LTT

## SUBFILE DISCRIMINANTE-LEITE

STEP=0.2

PAGE 6

CASE	SURFILE	SECOND	MISSING	ACTUAL	HIGHEST PROBABILITY	2ND HIGHEST	DISCRIMINANT SCORES			
		GROUP	VALUES	GROUP	GROUP P(X/G)	GROUP P(G/X)	FUNC 1	FUNC 2	FUNC 3	FUNC 4
1	A				0.741	1.000	-1.359	1.131	0.1	-0.001
2	A				0.663	1.000	-1.401	0.497	0.1	0.038
3	A				0.137	1.000	-1.194	-0.639	0.1	-1.555
4	A				0.513	1.000	-1.252	0.016	0.1	0.965
5	A				0.172	1.000	-1.579	0.245	0.1	1.149
6	A				0.875	1.000	1.561	0.767	0.1	3.312
7	A				0.294	1.000	1.711	1.168	0.1	1.417
8	A				0.723	1.000	1.652	-0.079	0.1	2.713
9	A				0.908	1.000	-0.751	0.447	0.1	0.828
10	A				0.649	1.000	-0.754	0.781	0.1	3.246
11	A				0.676	1.000	-0.811	1.154	0.1	0.810
12	A				0.237	1.000	-0.903	1.618	0.1	0.752
13	A				0.819	1.000	-0.356	0.377	0.1	1.178
14	A				0.557	1.000	-0.786	0.390	0.1	0.654
15	A				0.172	0.950	-0.541	0.151	0.1	1.375
16	A				0.703	1.000	-0.538	1.361	0.1	0.425
17	A				0.576	1.000	0.000	-0.344	0.1	1.197
18	A				0.275	1.000	0.077	-0.151	0.1	3.517
19	A				0.484	1.000	0.221	0.132	0.1	0.509
20	A				0.569	1.000	0.582	0.305	0.1	1.314
21	A				0.870	1.000	0.406	1.425	0.1	0.014
22	A				0.846	1.000	0.775	-0.738	0.1	0.815
23	A				0.934	1.000	0.770	0.382	0.1	3.108
24	A				0.746	1.000	0.741	0.317	0.1	0.628

## DIRECTORY OF PLOT SYMBOLS =

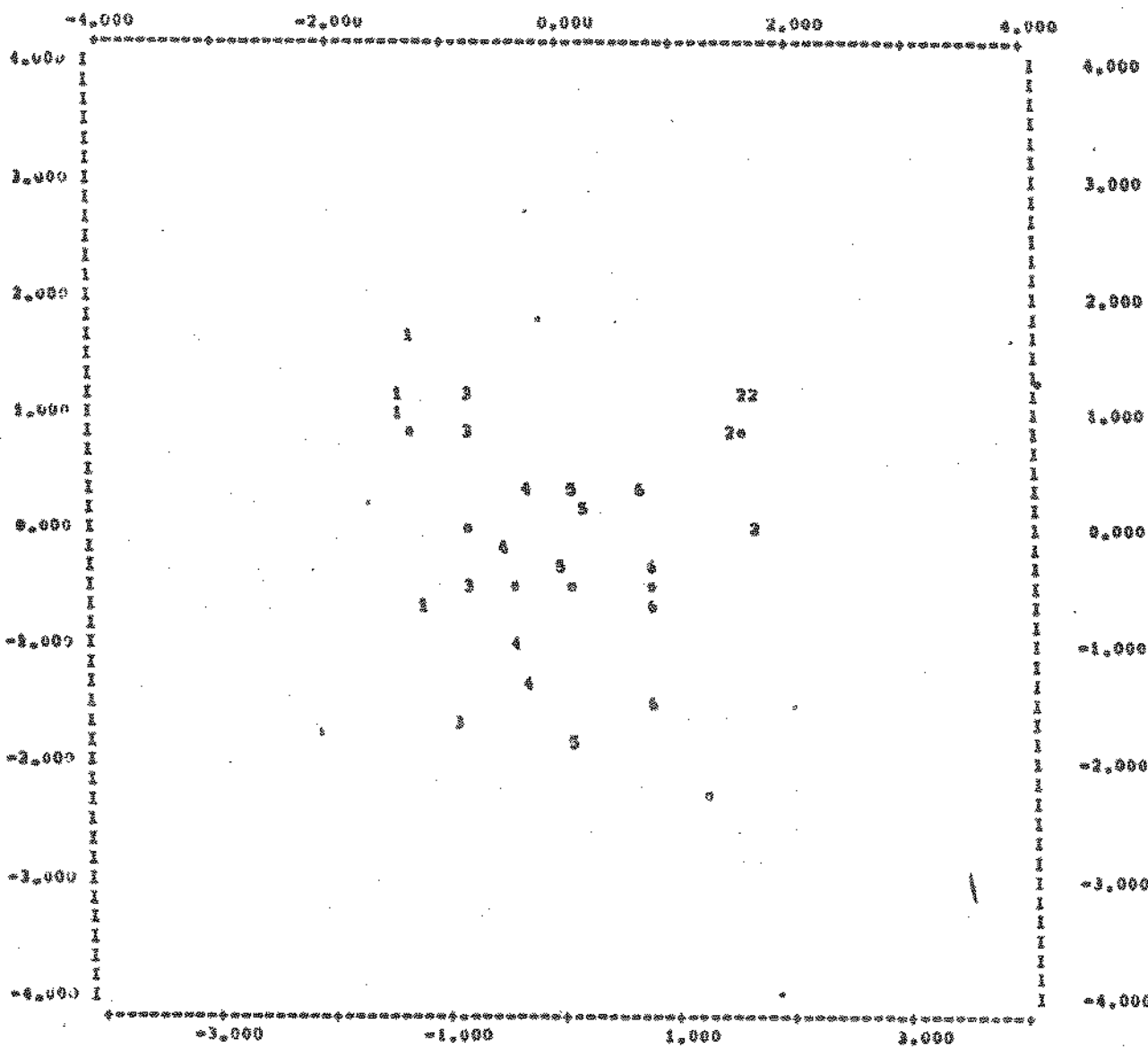
SYMBOL	GROUP	LABEL
*	A	SURFILE
*	B	SURFILE
*	C	SURFILE
*	D	SURFILE
*	E	SURFILE
*	F	SURFILE
*	G	SURFILE
*	H	SURFILE
*	I	ALL UNGROUPED CASES
*	J	CENTROIDS

ANALISE DISCRIMINANTE-LCITE

DISCRIMINANT

PAGE 2

PLOT OF DISCRIMINANT SCORE 1 (HORIZONTAL) VS. DISCRIMINANT SCORE 2 (VERTICAL). \* INDICATES A GROUP CENTROID.



671

ANALYST DISCRIMINANT=LUSTE

5-SEP-82

PAGE 8

FILE NAME (CREATION DATE = 8-6-82=82)  
SUBFILE A B C D

## PREDICTION RESULTS

ACTUAL GROUP	# OF CASES	PREDICTED GROUP MEMBERSHIP					
		GP <sub>1</sub>	GP <sub>2</sub>	GP <sub>3</sub>	GP <sub>4</sub>	GP <sub>5</sub>	GP <sub>6</sub>
GROUP 1 SUBFILE A	4	0%	100.0%	0.0%	0.0%	0.0%	0.0%
GROUP 2 SUBFILE B	4	0%	0.0%	100.0%	0.0%	0.0%	0.0%
GROUP 3 SUBFILE C	4	0%	0.0%	0.0%	100.0%	0.0%	0.0%
GROUP 4 SUBFILE D	4	0%	0.0%	0.0%	0.0%	100.0%	0.0%
GROUP 5 SUBFILE E	4	0%	0.0%	0.0%	0.0%	100.0%	0.0%
GROUP 6 SUBFILE F	4	0%	0.0%	0.0%	0.0%	0.0%	100.0%

PERCENT OF "GROUPED" CASES CORRECTLY CLASSIFIED: 100.00%

ANALISE DE CRIMINALITE-LEITE

4-SEP-82 PAGE 9

DATA TRANSFORMATION DONE TO THIS POINTS

# OF TRANSFORMATIONS	0
# OF RECEIVE VALUES	0
# OF ARITHM. OR LOG. OPERATIONS	0

THE AMOUNT OF TRANSPAGE REQUIRED IS 0 WORDS

FINISH

TET

ESTUDO 4 - LIGA 313

VARIÁVEL 18

LIGAIS	UTS568X18ANTES	UTS568X18DEPOIS
-0,105250	-0,371874	-0,14242050
0,117033	1,020591	0,182269
+0,135038	-0,998137	0,155161
-0,156090	-0,314346	-0,101864
0,140045	0,016115	0,135667
0,120032	0,942462	0,135436
0,120720	0,076543	0,157477
0,130140	0,326136	-0,006315
0,120189	0,119773	0,022657
0,133769	0,078307	0,177144
0,135767	0,115549	0,072181
0,130521	0,014367	0,175533
0,152571	0,015603	0,159993
0,364949	0,051561	0,119313
0,101410	0,019875	0,353192

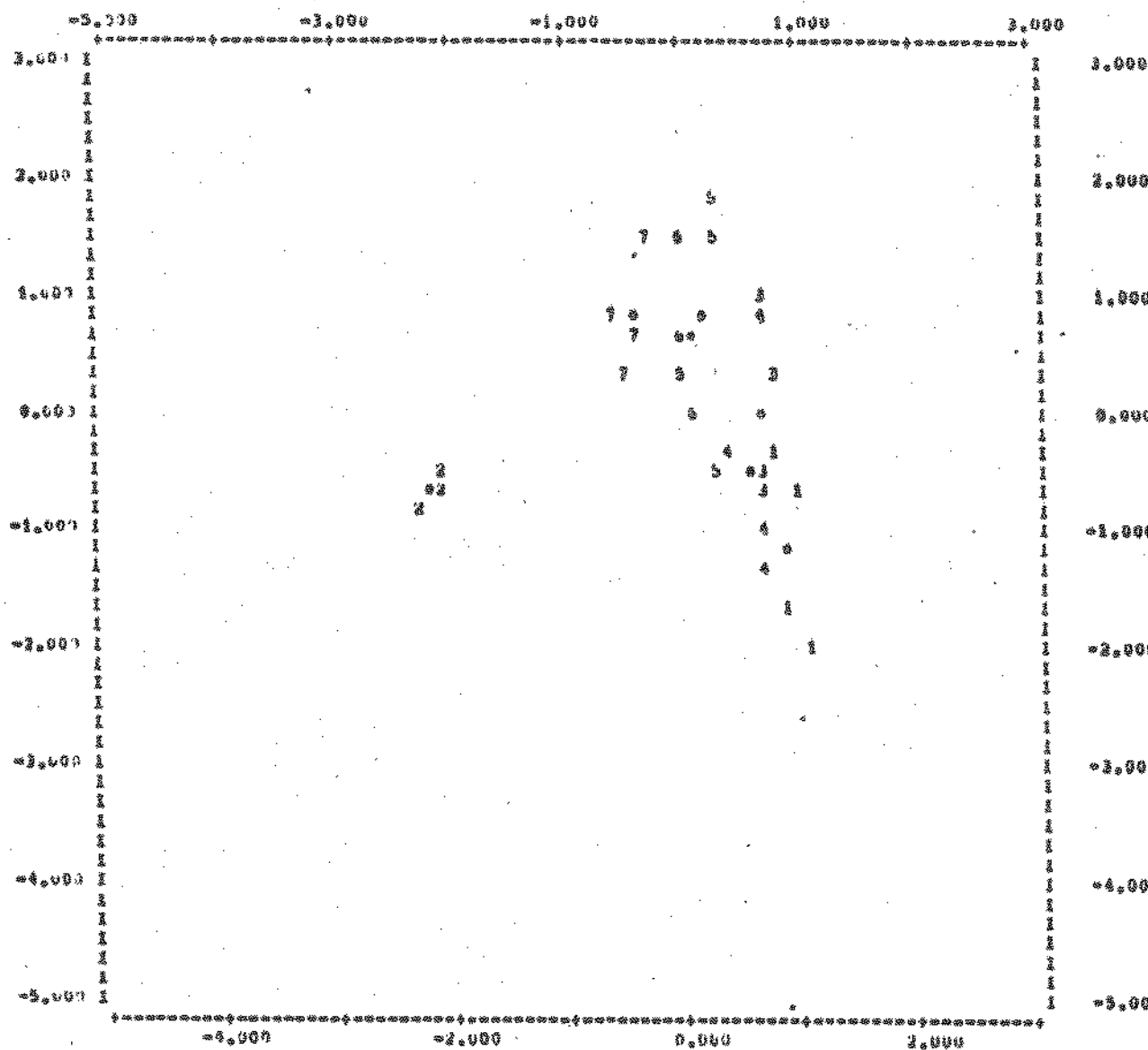
11/03/2018



ANALISE DISCRIMINANTE-CANHE

DISCRIMINANT SCORE 2 PAGE 8

PLOT OF DISCRIMINANT SCORE 1 (HORIZONTAL) VS. DISCRIMINANT SCORE 2 (VERTICAL). \* INDICATES A GROUP CENTROID.



\* Subgrupo 1234 da  
curva-padrão I de  
carne-soja

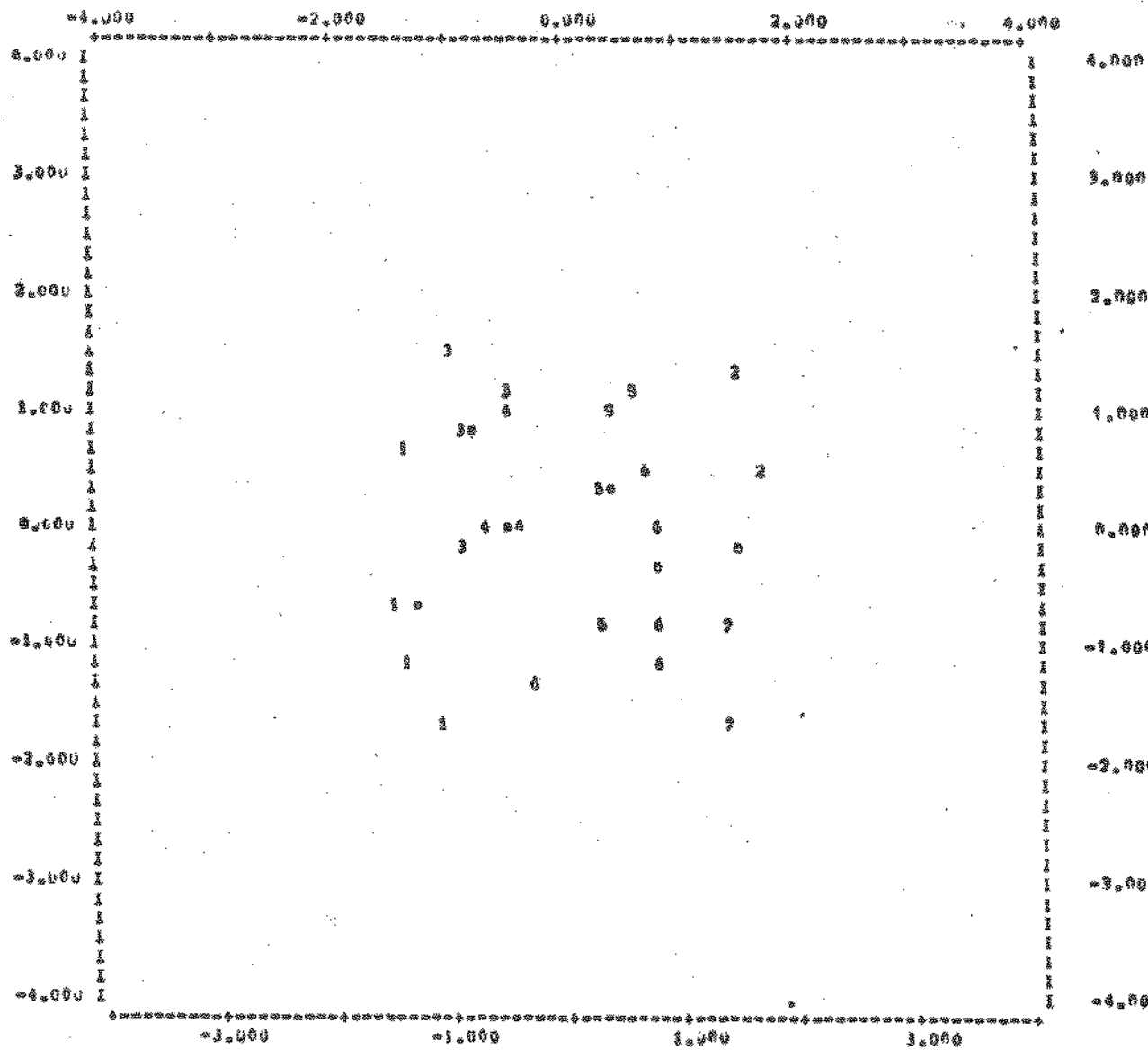
A. OXÍGENO

123

ANÁLISE DISCRIMINANTE-CARTE

Q=874989 PAGE 7

PLOT OF DISCRIMINANT SCORE 1 (HORIZONTAL) VS. DISCRIMINANT SCORE 2 (VERTICAL). + INDICATES A GROUP CENTROID.



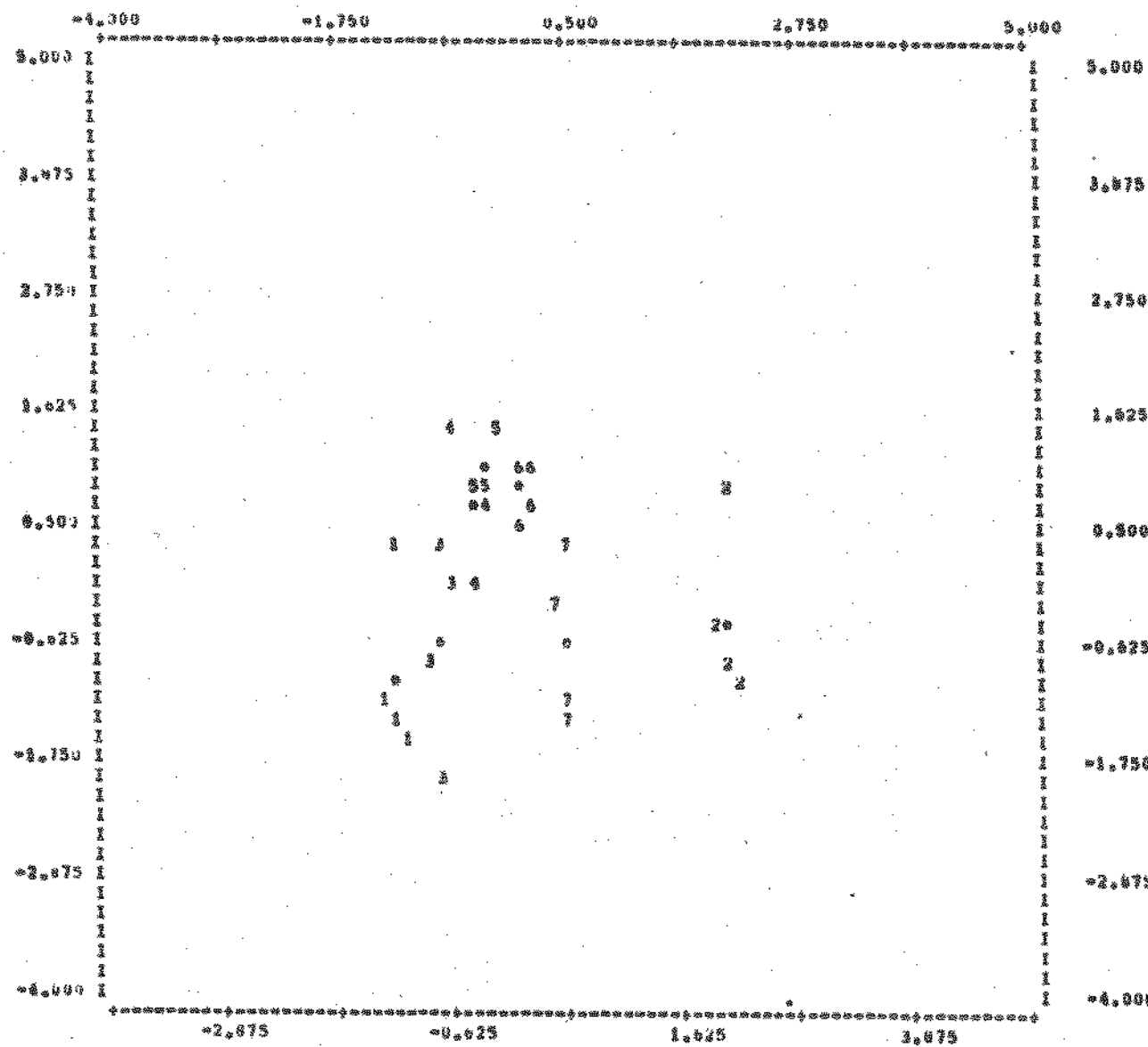
+ do Subgrupo 1345 da  
curva-padrão II  
de carne-soja

ANEXO VI

ANALISE DISCRIMINANTE-SCABIE

PAGE 8

PLUT OF DISCRIMINANT SCORE 1 (HORIZONTAL) VS. DISCRIMINANT SCORE 2 (VERTICAL). \* INDICATES A GROUP CENTEROID.



ANEXO VAI

125

1.625 Subgrupo 1345 da curva-padrão III carne-soja

ANEXO VIII - Porcentagem de proteína de leite nos produtos lácteos obtida pela equação de regressão (quadruplicata)

Produto	Subgrupo <sup>(a)</sup>														
	1234	1345	1245	1235	2345	1236	1346	1246	1256	1356	1456	2346	2356	2456	3456
A ( $\text{G}\text{I}_3$ )	44,92	44,07	46,29	40,02	45,66	40,47	44,52	46,74	41,83	39,62	45,89	4,611	41,20	47,48	45,26
B ( $\text{N}\text{D}_2$ )	36,21	34,70	36,42	26,92	34,31	27,92	35,70	37,42	28,13	26,41	35,92	35,31	26,02	35,52	33,80
C	18,50	20,56	20,40	2,21	20,56	0,16	18,50	18,34	2,05	2,21	20,40	18,50	2,21	20,40	20,56
D	63,14	64,79	65,90	67,32	63,84	63,28	60,74	61,86	66,04	64,92	63,50	59,80	63,98	62,56	61,44
E	52,77	53,42	51,22	43,82	54,90	43,16	52,76	50,56	41,61	43,80	51,21	54,24	45,28	52,69	54,88
F	61,22	61,58	60,32	48,82	58,32	48,01	60,78	59,52	47,11	48,37	59,88	57,51	45,11	56,61	57,87
G	64,21	63,22	66,73	58,01	59,70	56,48	61,69	65,20	59,00	55,49	64,20	58,16	51,96	60,68	57,17

(a) Subgrupos iguais aos da TABELA 15 (p. 73).

ANEXO IX - Composição em gramas de proteína de leite por 100 gramas de proteína total dos produtos lácteos obtida  
pela equação de regressão (duplicata)

Produto	Subgrupo <sup>(a)</sup>														
	1234	1345	1245	1235	2345	1236	1346	1246	1256	1356	1456	2346	2356	2456	3456
A ( $\text{CH}_3$ )	42,57	42,35	42,58	40,20	41,95	40,02	42,16	42,40	40,03	39,80	42,18	41,77	39,40	41,79	41,55
B ( $\text{NO}_2$ )	39,30	35,36	30,57	26,13	36,57	27,70	36,93	40,43	27,25	23,75	36,48	38,15	24,97	37,70	34,20
C	14,88	14,88	14,39	0,49	14,88	0,49	14,88	14,39	0,00	0,49	14,39	14,88	0,49	14,39	14,88
D	66,34	66,00	66,50	66,98	63,75	62,85	61,86	62,46	63,11	62,51	62,13	59,61	60,26	59,87	59,28
E	53,68	54,19	53,54	47,90	55,04	44,44	50,74	50,08	44,30	44,95	50,59	51,58	45,80	51,44	52,09
F	67,54	65,42	67,06	57,72	62,31	55,63	63,33	64,97	55,15	53,51	62,85	60,22	50,40	59,74	58,10
G	66,93	63,85	66,76	60,61	61,42	57,57	60,81	63,72	57,40	54,49	60,63	58,38	52,07	58,21	55,30

(a) Subgrupos: iguais aos da TABELA 15 (p. 73).

ANEXO X - Composição em gramas de proteína de leite por 100 gramas de proteína total nos produtos lácteos obtida pela análise discriminante.

Produto	Subgrupo (c)				
	1245	1345	1245	1235	2345
A ( $\text{GH}_3$ )	46,11	27,54-46,11 <sup>(a)</sup>	46,11	27,54-46,11 <sup>(a)</sup>	27,54-46,11 <sup>(a)</sup>
B ( $\text{MO}_2$ )	12,48-27,54 <sup>(a)</sup>	12,48-27,54 <sup>(a)</sup>	27,54	12,48-27,54 <sup>(a)</sup>	12,48-27,54 <sup>(a)</sup>
C	0,00	0,00-(12,48) <sup>(b)</sup>	12,48	0,00	(0,00)-12,48 <sup>(b)</sup>
D	(46,11)-69,52 <sup>(b)</sup>	69,52	69,52	69,52	(46,11)-69,52 <sup>(b)</sup>
E	46,11	46,11	46,11-(69,52) <sup>(b)</sup>	46,11	46,11
F	46,11-(59,52) <sup>(b)</sup>	46,11-(69,52) <sup>(b)</sup>	46,11-(69,52) <sup>(b)</sup>	46,11-(69,52) <sup>(b)</sup>	46,11-(69,52) <sup>(b)</sup>
G	46,11-(69,52) <sup>(b)</sup>	46,11-(69,52) <sup>(b)</sup>	46,11-69,52 <sup>(a)</sup>	46,11-(69,52) <sup>(b)</sup>	46,11-(69,52) <sup>(b)</sup>

(a) Os "scores" situaram-se entre os "scores" de dois grupos da curva-padrão, sem existir tendência para um ou outro grupo.

(b) Os "scores" situaram-se entre os "scores" de dois grupos da curva-padrão, com tendência ao valor sem parênteses.

(c) Subgrupos: iguais aos da TABELA 15 (p. 73).

## Continuação ANEXO X

Produto	Subgrupo (c)					-
	1236	1346	1246	1256	1365	
A( $\text{CH}_3$ )	69,52-(100,00) <sup>(b)</sup>	27,54-46,11 <sup>(a)</sup>	(27,54)-46,11 <sup>(b)</sup>	27,54-46,11 <sup>(a)</sup>	46,11-(69,52) <sup>(b)</sup>	
B( $\text{MO}_2$ )	46,11-69,55 <sup>(a)</sup>	12,48-27,54 <sup>(a)</sup>	27,54	27,54	12,48-27,54 <sup>(a)</sup>	
C	27,54-(46,11) <sup>(b)</sup>	0,00	0,00	0,00	0,00	
D	100,00	(46,11)-69,52 <sup>(b)</sup>	46,11-69,52 <sup>(a)</sup>	(46,11)-69,52 <sup>(b)</sup>	(46,11)-69,52 <sup>(b)</sup>	
E	69,52-(100,00) <sup>(b)</sup>	46,11	27,54-46,11 <sup>(a)</sup>	(27,54)-46,11 <sup>(b)</sup>	(27,54)-46,11 <sup>(b)</sup>	
F	(69,52-100,00 <sup>(b)</sup> )	46,11-(69,52) <sup>(b)</sup>	46,11-69,52 <sup>(a)</sup>	46,11-(69,52) <sup>(b)</sup>	46,11-(69,52) <sup>(b)</sup>	
G	(69,52)-100,00 <sup>(b)</sup>	46,11-(69,52) <sup>(b)</sup>	46,11-69,52 <sup>(a)</sup>	46,11-69,52 <sup>(a)</sup>	46,11-69,52 <sup>(a)</sup>	

(a) Os "scores" situaram-se entre os "scores" de dois grupos da curva-padrão, sem existir tendência para um ou outro grupo.

(b) Os "scores" situaram-se entre os "scores" de dois grupos da curva-padrão, com tendência ao valor sem parênteses.

(c) Subgrupos: iguais aos da TABELA 15 (p. 73).

## Continuação ANEXO X

Produto	Subgrupo (c)				
	1456	2346	2356	2456	3456
A( $\text{GH}_3$ ) $(27,54)-46,11^{(b)}$ $27,54-46,11^{(a)}$ $27,54-46,11^{(a)}$				46,11	$27,54-46,11^{(a)}$
B( $\text{MO}_2$ ) $27,54$ $12,48-(27,54)^{(b)}$ $12,48-27,54^{(a)}$				27,54	$12,48$
C $0,00$	$0,00$		$0,00$	$12,48$	$0,00$
D $(46,11)-69,52^{(b)}$ $(46,11)-69,52^{(b)}$ $(46,11)-69,52^{(b)}$ $(46,11)-69,52^{(b)}$ $(46,11)-69,52^{(b)}$					
E $(27,54)-46,11^{(b)}$	$46,11$		$46,11$	$46,11$	$46,11$
F $46,11-(69,52)^{(b)}$	$46,11$		$46,11$	$46,11-(69,52)^{(b)}$	$46,11$
G $46,11-69,52^{(a)}$	$46,11$		$46,11$	$46,11-(69,52)^{(b)}$	$46,11$

(a) Os "scores" situaram-se entre os "scores" de dois grupos da curva-padrão, sem existir tendência para um ou outro grupo.

(b) Os "scores" situaram-se entre os "scores" de dois grupos da curva-padrão, com tendência ao valor sem parênteses.

(c) Subgrupos: iguais aos da TABELA 15 (p. 73).

ANEXO XI - Composição em gramas de proteína de carne por 100 gramas de proteína total dos produtos cárneos obtida pela equação de regressão (quadruplicata).

Produto	Curva-padrão I					Curva-padrão II					Curva-padrão III				
	Subgrupo (a)					Subgrupo (a)					Subgrupo (a)				
	1234	1345	1245	1235	2345	1234	1345	1245	1235	2345	1234	1345	1245	1235	2345
Salsicha A	67,79	62,30	65,59	64,87	65,93	70,47	57,89	57,32	66,41	67,45	72,55	56,41	59,96	67,54	69,19
Salsicha B	85,79	94,32	91,47	85,79	85,79	96,92	91,86	91,86	93,48	93,33	99,48	95,82	95,82	95,82	96,34
Salsicha C	56,88	67,07	65,00	61,24	63,07	65,89	53,66	61,46	65,94	67,68	68,44	57,00	64,45	67,88	70,25
Salsicha D	86,09	96,08	90,00	86,09	86,09	93,68	83,82	83,82	88,81	85,14	96,34	87,47	87,47	90,75	87,85
Salsicha E	89,90	81,28	81,28	86,98	85,68	80,92	65,79	65,79	76,41	74,26	83,24	68,68	68,68	77,82	76,30
Salsicha F	75,26	80,63	79,36	79,62	78,37	79,78	68,46	68,46	79,53	77,61	82,08	71,64	71,64	81,26	79,95
Mortadela G	65,41	82,07	73,49	72,38	68,28	71,60	77,97	72,03	81,60	76,91	75,18	81,59	77,45	85,31	81,19
Mortadela H	68,71	82,14	78,24	73,12	72,63	78,04	69,08	73,42	78,73	77,05	80,41	72,52	76,68	80,66	79,63
Hamburguer I	67,44	80,52	76,52	71,74	73,54	76,59	67,22	70,83	76,78	77,45	78,85	70,52	74,22	78,56	79,92
Almôndegas J	76,82	84,94	80,93	77,84	76,55	84,72	73,06	73,07	82,08	79,32	86,92	76,12	76,34	83,60	81,50

(a) Subgrupos iguais aos da TABELA 17 (p. 76)

ANEXO XII - Composição em gramas de proteína de carne por 100 gramas de proteína total dos produtos cárneos obtida  
pela equação de regressão (duplicata)

Produto	Curva-padrão					Curva-padrão					Curva-padrão						
	I					II					III						
	Subgrupo (a)	1234	1345	1245	1235	2345	Subgrupo (a)	1234	1345	1245	1236	2345	Subgrupo (a)	1234	1345	1245	1235
Salsicha A	77,31	79,19	81,52	81,77	73,26		81,75	69,23	71,52	81,95	72,48		83,82	72,09	74,61	83,42	74,42
Salsicha B	85,30	93,63	91,51	85,30	85,45		91,67	83,75	83,75	88,02	87,81		94,32	87,56	87,56	90,10	90,71
Salsicha C	61,70	75,02	72,46	68,55	71,50		70,85	60,52	67,18	72,15	71,40		73,34	63,98	70,40	74,16	74,03
Salsicha D	82,60	92,59	87,89	82,60	84,73		88,42	80,61	80,61	86,09	86,71		90,99	84,35	84,35	88,14	89,57
Salsicha E	85,99	81,19	81,19	89,38	87,00		77,58	64,64	64,64	77,12	74,57		79,82	67,62	67,62	78,70	76,72
Salsicha F	81,99	90,41	85,05	84,53	85,96		83,72	73,63	73,63	81,88	81,66		86,15	77,04	77,04	83,72	84,21
Mortadela G	62,60	80,60	72,76	66,31	68,14		63,85	73,78	66,09	69,87	70,40		67,34	76,81	71,05	73,38	74,61
Mortadela H	70,01	83,73	82,03	72,63	71,63		77,77	74,02	82,36	82,33	79,60		80,65	78,40	86,33	85,14	83,09
Hamburguer I	64,54	80,21	73,47	68,95	70,99		71,49	66,31	64,79	71,06	72,01		75,63	69,52	70,03	74,66	76,31
Almôndegas J	77,06	88,23	83,97	78,56	77,77		85,53	74,95	76,14	82,91	80,26		87,65	78,02	79,56	84,40	82,44

(a) Subgrupos: iguais aos da TABELA 17 (P. 76).

ANEXO XIII - Composição em gramas de proteína de carne por 100 gramas de proteína total dos produtos cárneos obtida pela análise discriminante.

Produto	Curva-padrão I				
	1234	1345	Subgrupo (d) 1245	1235	2345
Salsicha A	66,37	66,37	73,38	73,38-81,19 <sup>(b)</sup>	66,37
Salsicha B	100	100 <sup>(a)</sup>	100 <sup>(a)</sup>	81,19	81,19
Salsicha C	66,37	66,37	66,37	66,37	66,37
Salsicha D	100	100	100	90,01	100
Salsicha E	73,38-81,19 <sup>(b)</sup>	73,38-81,19 <sup>(b)</sup>	73,38-81,19 <sup>(b)</sup>	100	73,38-81,19 <sup>(b)</sup>
Salsicha F	90,01	100	100	81,19-90,01 <sup>(b)</sup> (90,01)-100 <sup>(c)</sup>	
Mortadela G	73,38-81,19 <sup>(b)</sup>	90,01	81,19	73,38	90,01
Mortadela H	73,38	73,38-81,19 <sup>(b)</sup>	81,19	66,37	(73,38-81,19 <sup>(c)</sup> )
Hambúrguer I	73,38	73,38	66,37	66,37	73,38
Almôndegas J	73,38	73,38	73,38-(81,19) <sup>(c)</sup>	73,38	73,38

(a) Os "scores" indicaram valores  $\geq 100\%$  de proteína de carne.

(b) Os "scores" situaram-se entre os "scores" de dois grupos da curva-padrão, sem existir tendência para um ou outro grupo.

(c) Os "scores" situaram-se entre os "scores" de dois grupos da curva-padrão, com tendência ao valor sem parênteses.

(d) Subgrupos: iguais aos da TABELA 17 (p. 76).

## Continuação ANEXO XIII

Produto	Curva-padrão II (d)				
	1234	1345	Subgrupo 1245	1235	2345
Salsicha A	61,16	61,16	61,16	61,16	61,16
Salsicha B	100	80,76	80,76	80,76	80,76
Salsicha C	61,16	41,13-(61,16) (c)	61,16	61,16	61,16
Salsicha D	100	80,76	80,76	80,76-100 (b)	80,76
Salsicha E	61,16	41,13-61,16 (b)	61,16-80,76 (b)	61,16	61,16-80,76 (b)
Salsicha F	100	61,16	80,76	61,16	80,76
Mortadela G	61,16	80,76	61,16-80,76 (b)	100	80,76
Mortadela H	61,16	61,16	61,16	80,76	61,16
Hambúrguer I	61,16	61,16	61,16	(4,13)-61,16 (c)	61,16
Almôndegas J	61,16	61,16	61,16	61,16	61,16

(a) Os "scores" indicaram valores  $\geq 100\%$  de proteína de carne.

(b) Os "scores" situaram-se entre os "scores" de dois grupos da curva-padrão, sem existir tendência para um ou outro grupo.

(c) Os "scores" situaram-se entre os "scores" de dois grupos da curva-padrão, com tendência ao valor sem parênteses.

(d) Subgrupos: iguais aos da TABELA 17 (p. 76).

## Continuação ANEXO XIII

Produto	Curva-padrão III				
	1234	1345	Subgrupo 1245 (d)	1235	2345
Salsicha A	66,79	75,90	66,79	66,79-75,90 <sup>(b)</sup>	66,79
Salsicha B	100	100 <sup>(a)</sup>	100	100	(86,79)-100 <sup>(c)</sup>
Salsicha C	59,01	59,01	66,79	59,01	(0)-46,49 <sup>(c)</sup>
Salsicha D	100	100	86,79-(100) <sup>(c)</sup>	100	(86,79)-100 <sup>(c)</sup>
Salsicha E	100	100 <sup>(a)</sup>	66,79	100 <sup>(a)</sup>	86,79
Salsicha F	100	100	86,79	100	86,79-100 <sup>(b)</sup>
Mortadela G	86,79	(75,90)-86,79 <sup>(c)</sup>	86,79	86,79	86,79
Mortadela H	66,79	66,79	75,90	(59,01)-66,79 <sup>(c)</sup>	66,79-75,90 <sup>(b)</sup>
Hambúrguer I	66,79	66,79	66,79	66,79-75,90 <sup>(b)</sup>	75,90
Almôndegas J	75,90	(75,90)-86,79 <sup>(c)</sup>	66,79	86,79	66,79-75,90 <sup>(b)</sup>

(a) Os "scores" indicaram valores  $\geq 100\%$  de proteína de carne.

(b) Os "scores" situaram-se entre os "scores" de dois grupos da curva-padrão, sem existir tendência para um ou outro grupo.

(c) Os "scores" situaram-se entre os "scores" de dois grupos da curva-padrão, com tendência ao valor sem parênteses.

(d) Subgrupos: iguais aos da TABELA 17 (p. 76).

## ANEXO XIV - Média aritmética dos coeficientes de variação

## Aminoácidos

Ácido aspártico	5,538
Treonina	4,842
Serina	4,255
Ácido glutâmico	3,560
Prolina	5,903
Glicina	5,636
Alanina	3,834
Cistina	15,379
Valina	4,910
Metionina	5,420
Isoleucina	5,452
Leucina	3,713
Tirosina	4,148
Fenilalanina	3,415
Histidina	7,740
Lisina	5,646
Amônia	6,691
Arginina	6,001

ANEXO XV - Caracterização das quatro funções discriminantes (F-1, F-2, F-3 e F-4) da curva padrão de leite-soja.  
Observe-se que, de todas a F-1 é a mais significativa.

Subgru po	(a) Função Discr iminante	"eigenvalue"	Porcen ta- gem rela tiva	correlação canônica	Lambda de Wilks	$\chi^2$
1234	F-1	188,27294	99,68	0,997	0,0032	103,380
	F-2	0,52569	0,28	0,587	0,6064	9,003
	F-3	0,05651	0,03	0,231	0,9252	1,399
	F-4	0,02299	0,01	0,150	0,9775	0,409
1345	F-1	144,05524	99,05	0,997	0,0025	107,903
	F-2	1,03136	0,71	0,713	0,3615	18,315
	F-3	0,31151	0,21	0,487	0,7343	5,559
	F-4	0,03835	0,03	0,192	0,9631	0,677
1245	F-1	141,43481	99,66	0,996	0,0046	96,778
	F-2	0,39795	0,28	0,534	0,6586	7,518
	F-3	0,04815	0,03	0,214	0,9207	1,488
	F-4	0,03627	0,03	0,187	0,9650	0,641
1235	F-1	202,59062	99,75	0,998	0,0032	103,668
	F-2	0,42374	0,21	0,546	0,6420	7,978
	F-3	0,07769	0,04	0,268	0,9140	1,619
	F-4	0,01524	0,01	0,123	0,9850	0,272
2345	F-1	184,79263	99,36	0,997	0,0022	109,903
	F-2	0,97442	0,52	0,703	0,4143	15,860
	F-3	0,22112	0,12	0,426	0,8180	3,615
	F-4	0,00107	0,00	0,033	0,9989	0,019
1236	F-1	291,52561	99,75	0,998	0,0019	113,000
	F-2	0,61342	0,21	0,617	0,5493	10,786
	F-3	0,07447	0,03	0,263	0,8862	2,175
	F-4	0,05024	0,02	0,219	0,9522	0,882
1346	F-1	280,82293	99,65	0,998	0,0016	116,054
	F-2	0,63919	0,23	0,624	0,4466	14,511
	F-3	0,29846	0,11	0,479	0,7320	5,615
	F-4	0,05207	0,02	0,222	0,9505	0,914
1246	F-1	143,29225	99,64	0,997	0,0044	97,575
	F-2	0,38896	0,27	0,529	0,6383	8,082
	F-3	0,09290	0,06	0,292	0,8865	2,168
	F-4	0,03212	0,02	0,176	0,9689	0,569
1256	F-1	199,45972	99,82	0,998	0,0036	101,304
	F-2	0,25655	0,13	0,452	0,7208	5,893
	F-3	0,06605	0,03	0,249	0,9057	1,782
	F-4	0,03569	0,02	0,186	0,9655	0,631

(a) Subgrupos: iguais aos da TABELA 15 (p. 73).

## Continuação ANEXO XV

Subgru po	(a)	Função Discri- minante	"eigenvalue"	Porcenta- gem rela- tiva	correlação canônica	Lambda de Wilks	$\chi^2$
1356	F-1	272,93755	99,69	0,998	0,0018	113,513	
	F-2	0,65824	0,24	0,630	0,4999	12,481	
	F-3	0,14968	0,05	0,361	0,8289	3,378	
	F-4	0,04933	0,02	0,217	0,9530	0,867	
1456	F-1	197,26561	99,75	0,997	0,0033	102,973	
	F-2	0,37714	0,19	0,523	0,6498	7,760	
	F-3	0,10557	0,05	0,309	0,8948	2,000	
	F-4	0,01081	0,01	0,103	0,9893	0,194	
2346	F-1	167,19707	99,65	0,997	0,0035	101,684	
	F-2	0,31334	0,19	0,488	0,5822	9,432	
	F-3	0,26139	0,16	0,455	0,7777	4,526	
	F-4	0,01939	0,01	0,138	0,9810	0,346	
2356	F-1	188,78420	99,59	0,997	0,0028	105,690	
	F-2	0,64998	0,34	0,628	0,5348	11,264	
	F-3	0,11865	0,06	0,326	0,8825	2,250	
	F-4	0,01297	0,01	0,113	0,9872	0,232	
2456	F-1	132,64783	99,64	0,996	0,0049	95,875	
	F-2	0,32801	0,25	0,497	0,6497	7,762	
	F-3	0,11053	0,08	0,315	0,8629	2,655	
	F-4	0,04359	0,03	0,204	0,9582	0,768	
3456	F-1	119,27499	98,86	0,996	0,0029	105,085	
	F-2	0,97987	0,81	0,704	0,3505	18,869	
	F-3	0,30694	0,25	0,485	0,6940	6,574	
	F-4	0,10247	0,08	0,305	0,9071	1,756	

(a) Subgrupos: iguais aos da TABELA 15 (p. 73).

ANEXO XVI - Caracterização das quatro funções discriminantes (F-1, F-2, F-3 e F-4) da curva padrão I de carne-soja.  
 Observe-se que, de todas, a F-1 é a mais significativa.

Subgru po	(a) Função Discrí- minante	"eigenvalue"	Porcen- ta- gem rela- tiva	correlação canônica	Lambda de Wilks	$\chi^2$
1234	F-1	91,05822	98,03	0,995	0,0031	124,177
	F-2	1,36025	1,46	0,759	0,2856	26,945
	F-3	0,42975	0,46	0,548	0,6740	8,481
	F-4	0,03766	0,04	0,191	0,9637	0,795
1345	F-1	104,05095	98,59	0,995	0,0032	123,180
	F-2	1,10980	1,05	0,725	0,3414	23,109
	F-3	0,36070	0,34	0,515	0,7202	7,057
	F-4	0,02046	0,02	0,142	0,9799	0,435
1245	F-1	57,77354	96,78	0,991	0,0046	115,712
	F-2	1,40838	2,36	0,765	0,2703	28,128
	F-3	0,46812	0,78	0,565	0,6510	9,230
	F-4	0,04638	0,08	0,211	0,9557	0,975
1235	F-1	24,26264	95,71	0,980	0,0165	88,228
	F-2	0,72253	2,85	0,648	0,4171	18,798
	F-3	0,27022	1,07	0,461	0,7185	7,106
	F-4	0,09564	0,38	0,295	0,9127	1,964
2345	F-1	102,49319	98,20	0,995	0,0024	129,329
	F-2	1,17139	1,12	0,734	0,2526	29,579
	F-3	0,48188	0,46	0,570	0,5486	12,909
	F-4	0,23011	0,22	0,433	0,8129	4,453

(a) Subgrupos: iguais aos da TABELA 17 (p.76).

ANEXO XVII - Caracterização das quatro funções discriminantes (F-1, F-2, F-3 e F-4) da curva padrão II de carne-sója.

Observe-se que, de todas a F-1 é a mais significativa.

Subgru po	(a) Função Discrí- minante	"eigenvalue"	porcentagem relativa	correlação canônica	Lambda de Wilks	$\chi^2$
1234	F-1	47,09514	99,15	0,990	0,0146	76,082
	F-2	0,35177	0,74	0,510	0,7021	6,365
	F-3	0,03921	0,08	0,194	0,9491	0,940
	F-4	0,01384	0,03	0,117	0,9864	0,247
1345	F-1	46,00520	98,92	0,989	0,0137	77,268
	F-2	0,36790	0,79	0,519	0,6425	7,964
	F-3	0,10199	0,22	0,304	0,8788	2,325
	F-4	0,03255	0,07	0,178	0,9685	0,577
1245	F-1	51,69577	98,04	0,990	0,0089	84,943
	F-2	0,93965	1,78	0,696	0,4702	13,583
	F-3	0,09453	0,18	0,294	0,9121	1,656
	F-4	0,00170	0,00	0,041	0,9983	0,031
1235	F-1	15,26791	95,53	0,969	0,0342	60,783
	F-2	0,57472	3,60	0,604	0,5556	10,578
	F-3	0,09988	0,63	0,301	0,8750	2,404
	F-4	0,03912	0,24	0,194	0,9624	0,691
2345	F-1	52,90628	97,99	0,991	0,0085	85,720
	F-2	0,99995	1,85	0,707	0,4607	13,949
	F-3	0,07561	0,14	0,265	0,9214	1,473
	F-4	0,00898	0,02	0,094	0,9911	0,161

(a) Subgrupos: iguais aos da TABELA 17 (p. 76).

ANEXO XVIII - Caracterização das quatro funções discriminantes (F-1, F-2, F-3 e F-4) da curva padrão III de carne-soja.

Observe-se que, de todas, a F-1 é a mais significativa.

Subgru po	(a) Função Discr iminante	"eigenvalue"	porcentagem relativa	correlação canônica	Lambda de Wilks	$\chi^2$
1234	F-1	120,35391	99,12	0,990	0,0146	120,573
	F-2	0,87034	0,72	0,682	0,4451	17,401
	F-3	0,16248	0,13	0,374	0,8326	3,940
	F-4	0,03322	0,03	0,179	0,9678	0,703
1345	F-1	110,79070	98,27	0,996	0,0024	130,013
	F-2	1,45894	1,29	0,770	0,2644	28,605
	F-3	0,33352	0,30	0,500	0,6500	9,261
	F-4	0,15364	0,14	0,365	0,8668	3,073
1245	F-1	44,90071	97,16	0,989	0,0083	102,996
	F-2	1,03887	2,25	0,714	0,3814	20,727
	F-3	0,21488	0,46	0,421	0,7775	5,410
	F-4	0,05865	0,13	0,235	0,9446	1,225
1235	F-1	79,35569	98,14	0,994	0,0045	116,131
	F-2	1,31369	1,62	0,754	0,3624	21,823
	F-3	0,16519	0,20	0,377	0,8385	3,787
	F-4	0,02355	0,03	0,152	0,9770	0,500
2345	F-1	77,90102	98,20	0,994	0,0043	116,964
	F-2	0,90113	1,14	0,688	0,3423	23,047
	F-3	0,50037	0,63	0,577	0,6508	9,235
	F-4	0,02410	0,03	0,153	0,9765	0,512

(a) Subgrupos: iguais aos da TABELA 17 (p.76).